Московский Государственный Университет имени М.В. Ломоносова



РОССИЙСКАЯ АКАДЕМИЯ НАУК

Институт проблем безопасного развития атомной энергетики

RUSSIAN ACADEMY OF SCIENCES

Nuclear Safety Institute



Идеальные вихреразрешающие алгоритмы и расчеты турбулентных течений по схеме КАБАРЕ



СОДЕРЖАНИЕ



Турбулентность морских течений



Статистическое описание турбулентности



Спектры турбулентных течений



Идеальный вихреразрешающий алгоритм (Perfect LES)



Схема КАБАРЕ



Расчеты с полным разрешением спектра



Расчеты с неполным разрешением спектра



Многокомпонентные течения и мелкая вода

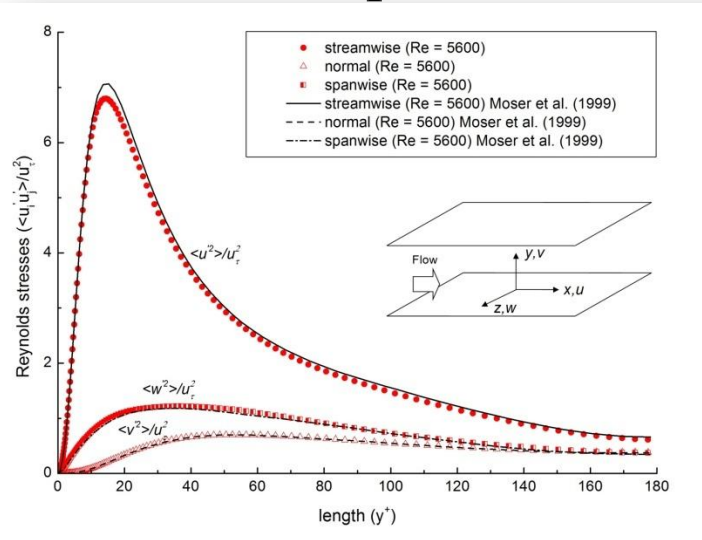


Parviz Moin
Center for Turbulence
Research Department of
Mechanical Engineering
Stanford University

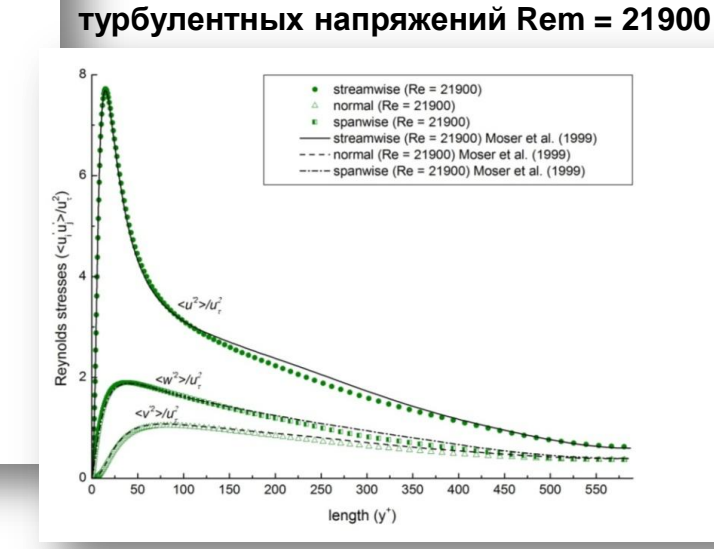


Robert Moser

Прямое численное моделирование турбулентных течений. Спектральные и псевдоспектральные методы.



Компоненты тензора турбулентных напряжений Rem = 5600



Компоненты тензора

<u>Turbulence statistics in fully developed channel flow at low Reynolds number</u>J Kim, P Moin, R Moser Journal of fluid mechanics 177, 133-166, 1987

<u>Direct numerical simulation of turbulent channel flow up</u> to Re= 590RD Moser, J Kim, NN Mansour Phys. Fluids 11 (4), 943-945, 1999

Полное разрешение спектра турбулентных пульсаций, DNS - алгоритмы



Прямое численное моделирование турбулентных течений. Метод спектральных элементов.

Nec 5000

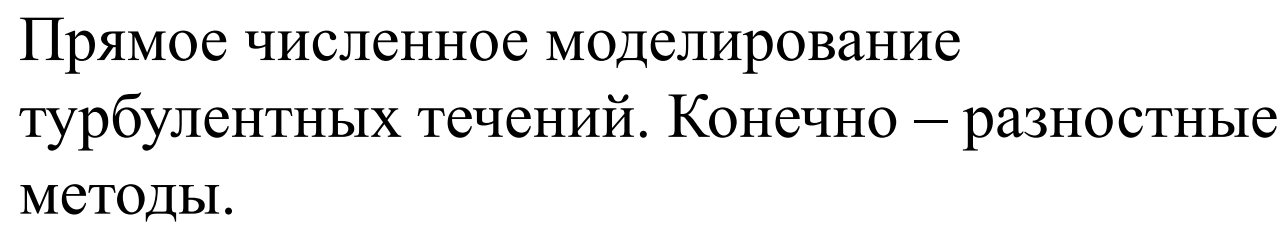


Paul FisherUniversity of Illinois











Hiroyuki Abe

Department of Mechanical Engineering,
Science University of Tokyo

Rai, M. M., and Moin, P., 1991, "Direct simulation of turbulent flow using finite-difference schemes," J. Comput. Phys., **96**, pp. 15–53.

Gavrilakis, S., 1992, "Numerical simulation of low-Reynolds-number turbulent flow through a straight square duct," J. Fluid Mech., 244, pp. 101–129.

Kawamura, H., 1994, "Direct numerical simulation of turbulence by finite difference scheme," The Recent Developments in Turbulence Research, Z. S. Zhang and Y. Miyake, eds. International Academic Publishers, pp. 54–60.

Hiroyuki Abe, Hiroshi Kawamura, Yuichi Matsuo. Direct Numerical Simulation of a Fully Developed Turbulent Channel Flow With Respect to the Reynolds Number Dependence. 2001.

Полное разрешение спектра турбулентных пульсаций, DNS - алгоритмы



Свойства идеального DNS - алгоритма

Полное разрешение всего спектра турбулентных пульсаций

Отсутствие настроечных параметров

Применимость в областях сложной формы

Робастность

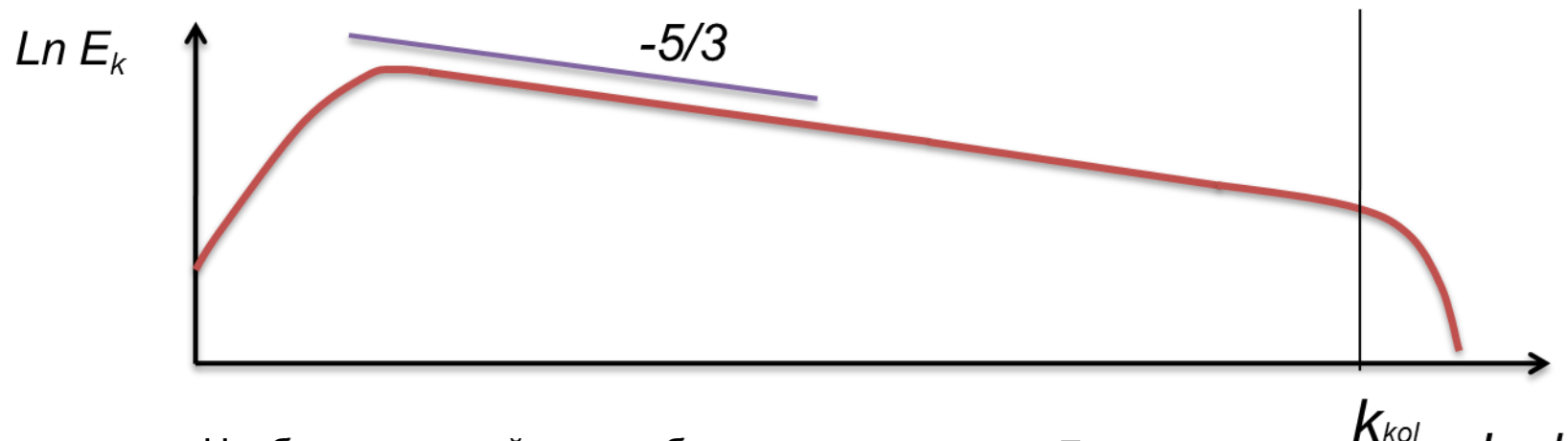
Консервативность

Масштабируемость

Мультифизичность



Основная верификационная задача — моделирование однородной изотропной турбулентности



Наиболее простой вид турбулентного движения. Предложен Тейлором в 1935 году

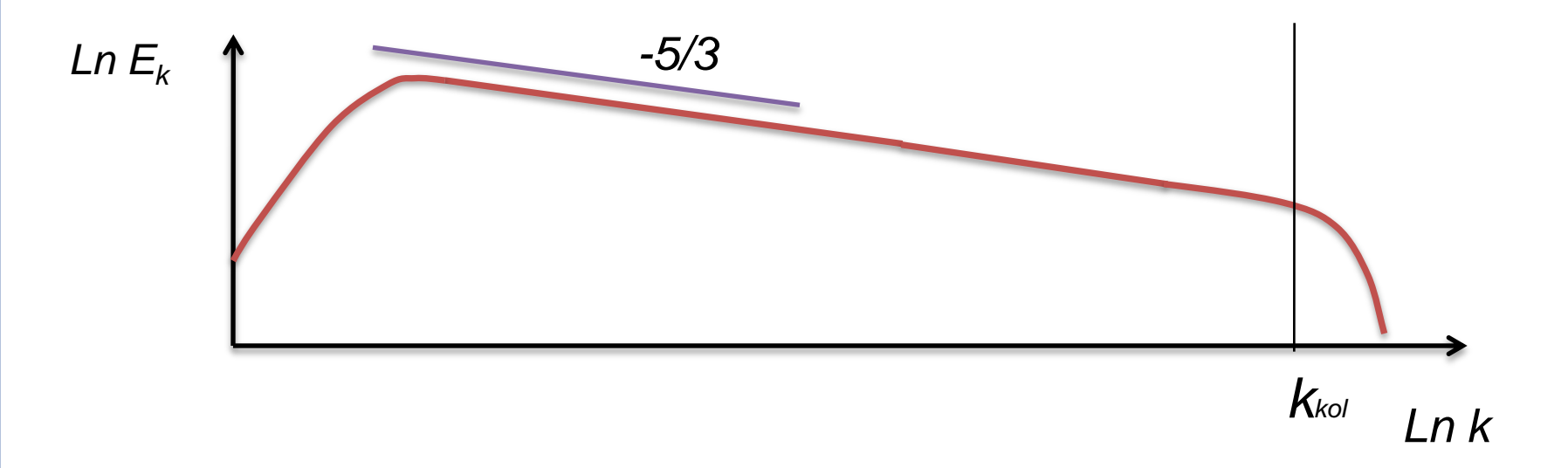
Позволяет изучить ряд свойств, присущих всем турбулентным течениям

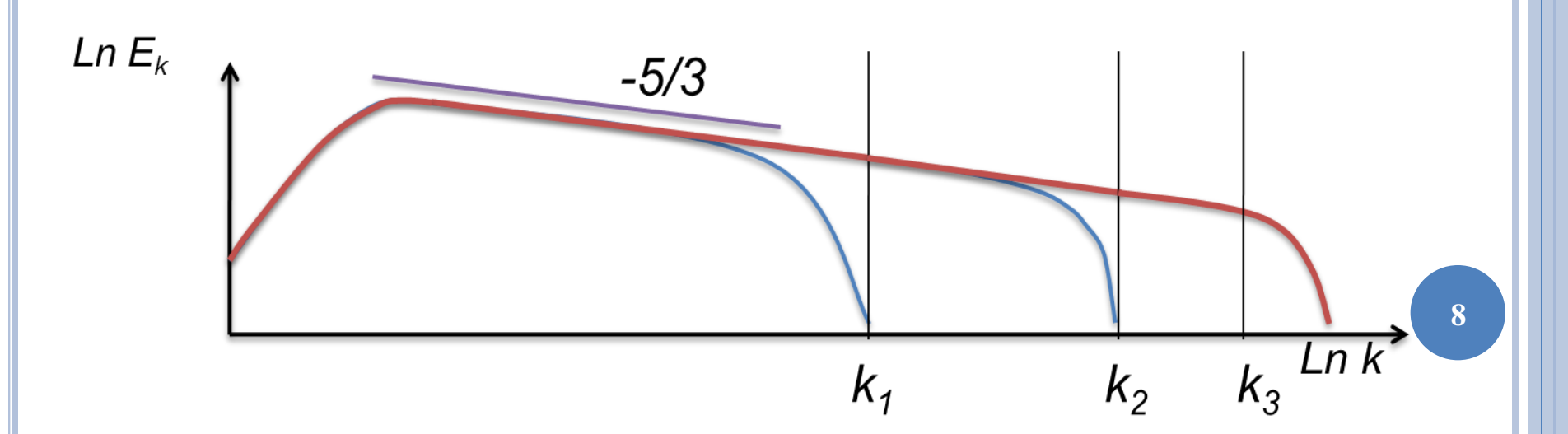
Мелкомасштабная турбулентность в значительной степени однородна и изотропна. Причина - каскадный перенос энергии

$$\eta = \left(\frac{v^3}{\varepsilon}\right)^{1/4} \sim \frac{1}{k|_{\varepsilon}}$$



«Идеальный» LES – идеальный DNS при неполном разрешении спектра пульсаций







Свойства идеального LES - алгоритма

Отсутствие настроечных параметров при неполном разрешении спектра турбулентных пульсаций

Применимость в областях сложной формы

Робастность

Консервативность

Масштабируемость

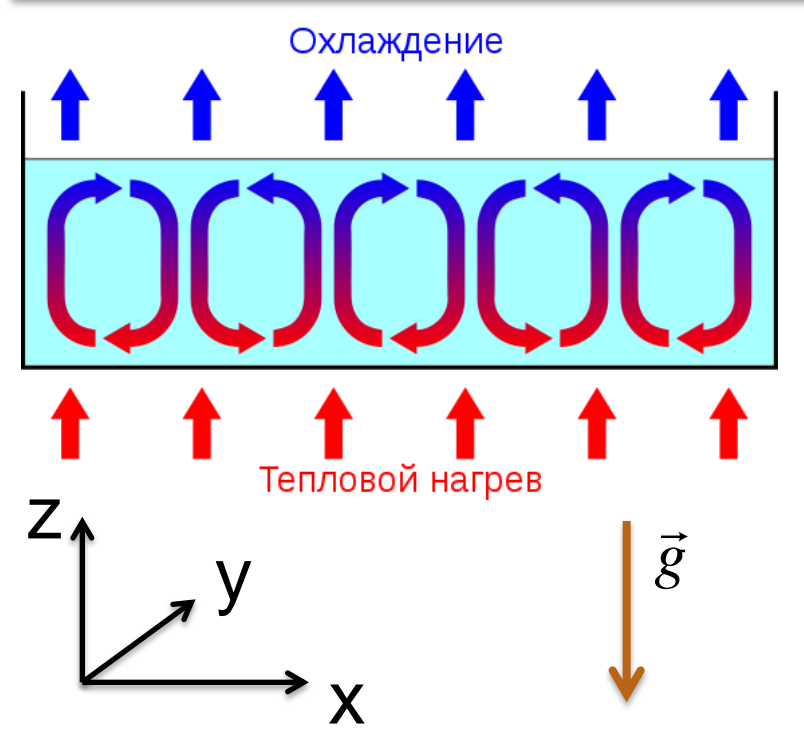
Мультифизичность

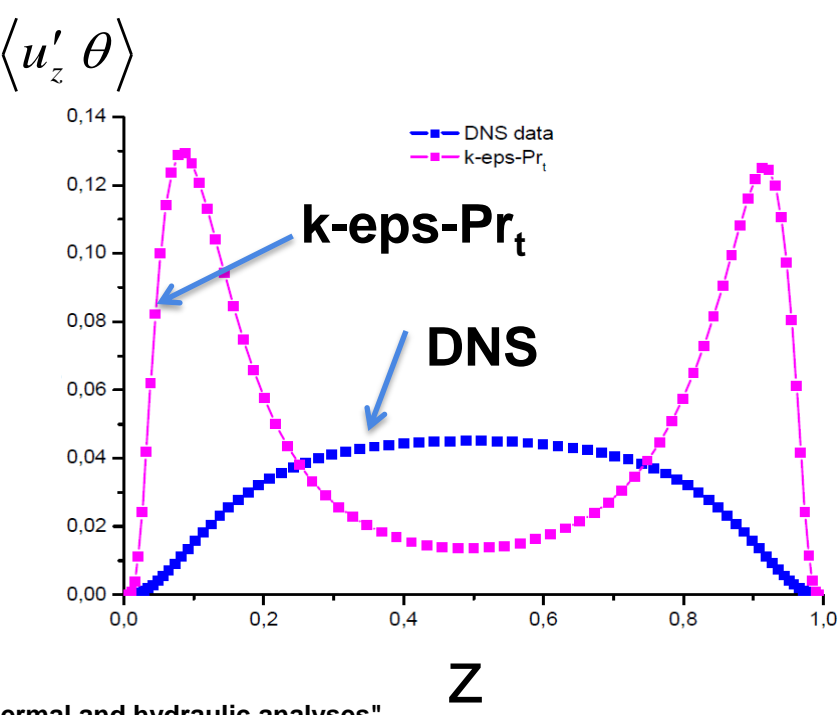
О предсказательной силе RANS кодов

Конвекция Рэлея-Бенара. Профили турбулентного теплового потока (turbulent heat flux)

Жидкий металл с Pr = 0.025 при $Ra = 10^5$

Зависимость турбулентного теплового потока от координаты Z





* G. Groetzbach, "Turbulence modeling issues in ads thermal and hydraulic analyses".

Theoretical and Experimental Studies of Heavy Liquid Metal Thermal Hydraulics. Proceedings of a technical meeting held in Karlsruhe, Germany, 28–31 October 2003. International Atomic Energy Agency, 2006. Pp. 9-33.



ОПЫТ РАСЧЕТА ТУРБУЛЕНТНЫХ ТЕЧЕНИЙ ПО СХЕМЕ «КАБАРЕ»



СОДЕРЖАНИЕ



Турбулентность морских течений



Статистическое описание турбулентности



Спектры турбулентных течений



Идеальный вихреразрешающий алгоритм (Perfect LES)



Схема КАБАРЕ



Расчеты с полным разрешением спектра



Расчеты с неполным разрешением спектра



Многокомпонентные течения и мелкая вода



СХЕМА «КАБАРЕ» ДЛЯ ПРОСТЕЙШЕГО УРАВНЕНИЯ ПЕРЕНОСА

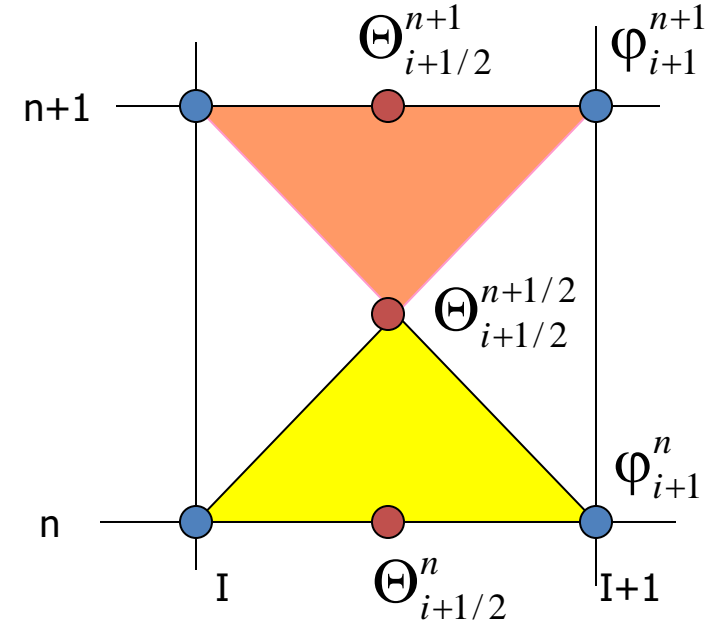
$$\frac{\partial \varphi}{\partial t} + c \cdot \frac{\partial \varphi}{\partial x} = Q$$

Вычисление промежуточных «консервативных» переменных $\Theta_{i+1/2}^{n+1/2}$

$$\frac{\Theta_{i+1/2}^{n+1/2} - \Theta_{i+1/2}^{n}}{\tau/2} + c \cdot \frac{\varphi_{i+1}^{n} - \varphi_{i}^{n}}{h} = Q;$$

Вычисление новых «потоковых» переменных ϕ_{i+1}^{n+1}

$$\varphi_{i+1}^{n+1} = 2 \cdot \Theta_{i+1/2}^{n+1/2} - \varphi_i^n$$
 $C > 0$



Вычисление «консервативных» переменных на новом временном слое:

$$\frac{\Theta_{i+1/2}^{n+1} - \Theta_{i+1/2}^{n+1/2}}{\tau/2} + c \cdot \frac{\varphi_{i+1}^{n+1} - \varphi_{i}^{n+1}}{h} = Q;$$



Принципиальный момент:

прямое использование принципа максимума

Поскольку КАБАРЕ – схема второго порядка, необходим монотонизатор

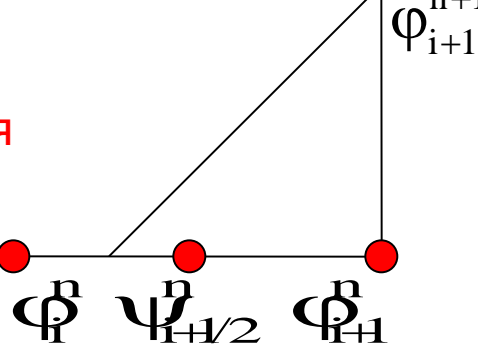




Принцип максимума

тринцин шаксинуша

Непрерывное решение в ячейке представлено тремя сеточными значениями.



Значение потоковой переменной должно оставаться в заданных пределах

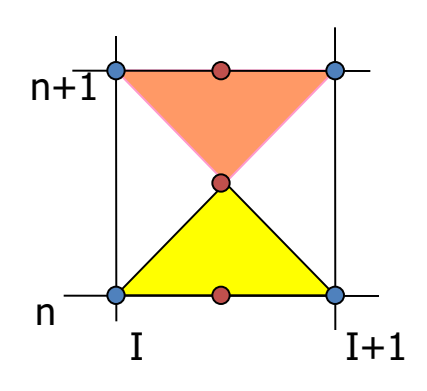
$$\phi_{_{i+1}}^{^{n+1}} \leq \max_{_{x \in \left[x_{_{i}}, x_{_{i+1}}\right], t = t_{_{n}}}} \left(\phi\right) = \left[\max\left(\phi\right)\right]_{_{i+1/2}}^{^{n}} = \max\left(\phi_{_{i+1}}^{^{n}}, \psi_{_{i+1/2}}^{^{n}}, \phi_{_{i}}^{^{n}}\right) + \tau Q$$

$$\phi_{_{i+1}}^{^{n+1}} \geq \min_{_{x \in [x_{-1}, x_{-1}], t=t}} \left(\phi\right) = \left[\min\left(\phi\right)\right]_{_{i+1/2}}^{^{n}} = \min\left(\phi_{_{i+1}}^{^{n}}, \psi_{_{i+1/2}}^{^{n}}, \phi_{_{i}}^{^{n}}\right) + \tau Q$$



Основные свойства схемы «КАБАРЕ»

- Явная;
- Устойчива при 0 < CFL < 1;</p>
- Дает точное решение при CFL = 0.5, CFL = 1;
- Второй порядок аппроксимации на неравномерных пространственно – временных сетках;
- Консервативная;
- Обладает однопараметрическим семейством квадратичных законов сохранения;
- Бездиссипативна;
- > Имеет максимально компактный вычислительный шаблон;
- > Минимальные дисперсионные ошибки;
- Прямое использование принципа максимума для нелинейной коррекции потоков;
- Отсутствие настроечных параметров;





<u>Интерполяционно —</u> <u>характеристический подход</u>

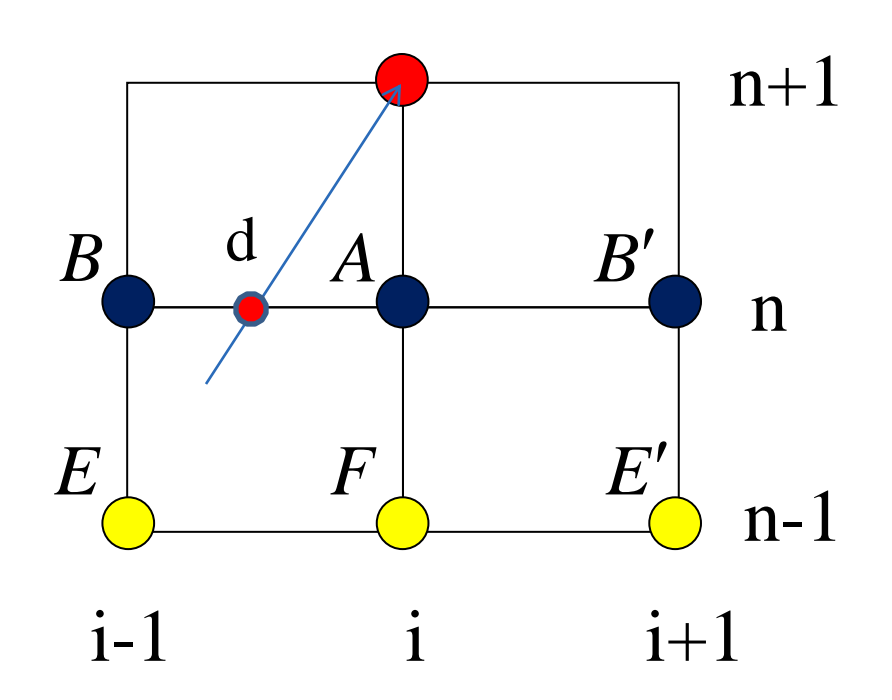
$$\frac{\partial \varphi}{\partial t} + c \cdot \frac{\partial \varphi}{\partial x} = 0$$

Схема Лакса - Вендроффа

$$P_B(x) = \frac{(x_A - x) \cdot (x_{B'} - x)}{(x_A - x_B) \cdot (x_{B'} - x_B)}$$

$$P_{A}(x) = \frac{(x_{B} - x) \cdot (x_{B'} - x)}{(x_{B} - x_{A}) \cdot (x_{B'} - x_{A})}$$

$$P_{B'}(x) = \frac{(x_A - x) \cdot (x_B - x)}{(x_A - x_{B'}) \cdot (x_B - x_{B'})}$$



$$\varphi_i^{n+1} = P_B\left(-r\right) \cdot \varphi_B + P_A\left(-r\right) \cdot \varphi_A + P_{B'}\left(-r\right) \cdot \varphi_{B'}; \quad r = c \cdot \tau/h$$

Интерполяционно характеристическии алгоритм

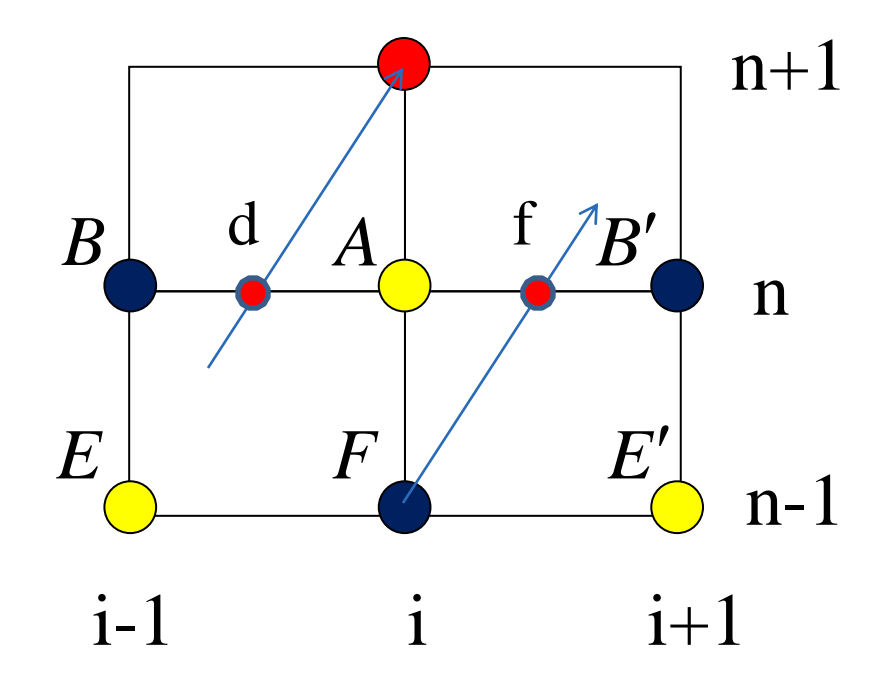
$$\frac{\partial \varphi}{\partial t} + c \cdot \frac{\partial \varphi}{\partial x} = 0$$

Схема Крест

$$P_B(x) = \frac{(x_A - x) \cdot (x_{B'} - x)}{(x_A - x_B) \cdot (x_{B'} - x_B)}$$

$$P_f(x) = \frac{(x_B - x) \cdot (x_{B'} - x)}{(x_B - x_f) \cdot (x_{B'} - x_f)}$$

$$P_{B'}(x) = \frac{(x_A - x) \cdot (x_B - x)}{(x_A - x_{B'}) \cdot (x_B - x_{B'})}$$



$$\varphi_i^{n+1} = P_B(-r) \cdot \varphi_B + P_A(-r) \cdot \varphi_A + P_f(-r) \cdot \varphi_F; \qquad r = c \cdot \tau/h$$

<u>Интерполяционно —</u> <u>характеристический алгоритм</u>

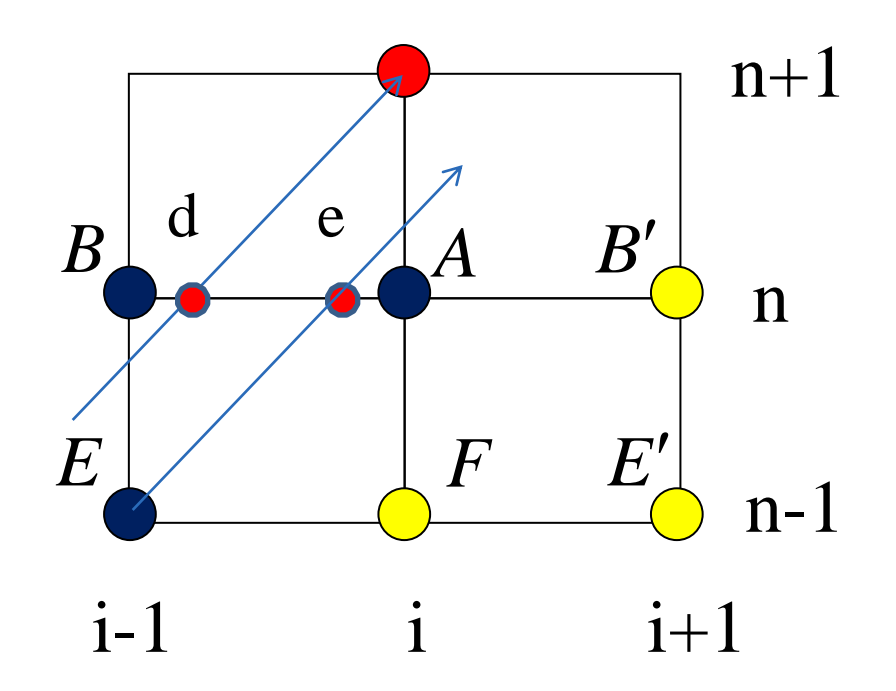
$$\frac{\partial \varphi}{\partial t} + c \cdot \frac{\partial \varphi}{\partial x} = 0$$

Схема Айзерлиса (КАБАРЕ)

$$P_B(x) = \frac{(x_A - x) \cdot (x_e - x)}{(x_A - x_B) \cdot (x_e - x_B)}$$

$$P_{e}(x) = \frac{(x_{B} - x) \cdot (x_{A} - x)}{(x_{B} - x_{e}) \cdot (x_{A} - x_{e})}$$

$$P_{A}(x) = \frac{(x_{e} - x) \cdot (x_{B} - x)}{(x_{e} - x_{A}) \cdot (x_{B} - x_{A})}$$

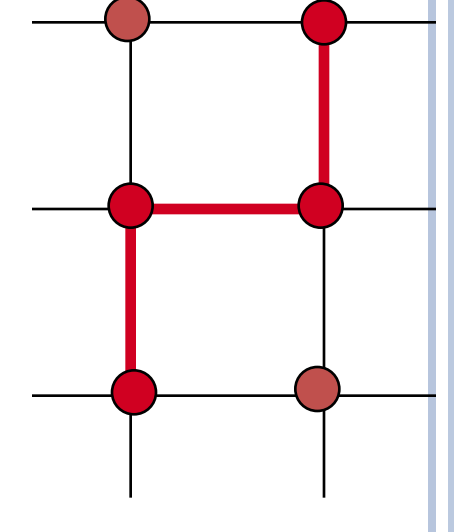


$$\varphi_i^{n+1} = P_B(-r) \cdot \varphi_B + P_A(-r) \cdot \varphi_A + P_e(-r) \cdot \varphi_E; \qquad r = c \cdot \tau/h$$



Схема Айзерлиса (КАБАРЕ)

$$\frac{1}{2} \left\{ \frac{\varphi_{i+1}^{n+1} - \varphi_{i+1}^{n}}{\tau} + \frac{\varphi_{i}^{n} - \varphi_{i}^{n-1}}{\tau} \right\} + c \cdot \frac{\varphi_{i+1}^{n} - \varphi_{i}^{n}}{h} = 0$$

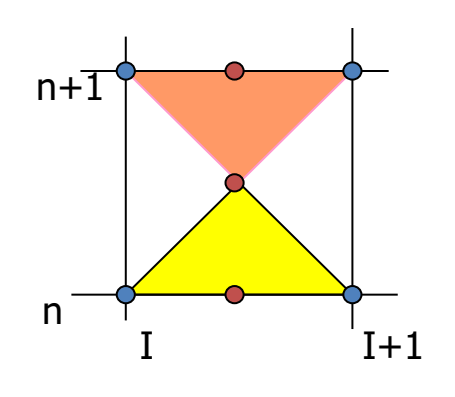


$$\frac{1}{2} \left\{ \frac{\psi_{i}^{n+1} - \psi_{i}^{n}}{\tau} + \frac{\psi_{i+1}^{n} - \psi_{i+1}^{n-1}}{\tau} \right\} - c \cdot \frac{\psi_{i+1}^{n} - \psi_{i}^{n}}{h} = 0$$

Головизнин В.М., Самарский А.А. 1998г.



Основные отличия схемы «КАБАРЕ» от схемы «Upwind Leapfrog»

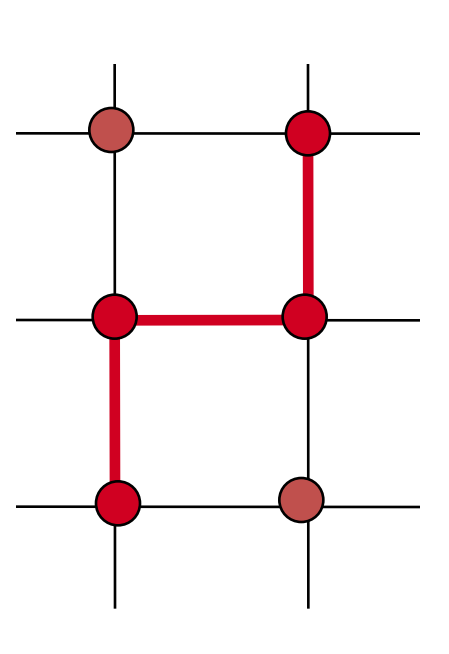


- КАБАРЕ представлена в виде закона сохранения;
- В КАБАРЕ используются два типа переменных – консервативные и потоковые;
- КАБАРЕ двухслойная схема с максимально компактным вычислительным шаблоном;
- В КАБАРЕ органично встроен монотонизатор нового типа на основе наиболее общего принципа – принципа максимума.

"Compact Accurately Boundary Adjusting high-REsolution Technique for Fluid Dynamics

Computational stencil of the forerunner of CABARET scheme





Another reason to call it CABARET....

Частные решения, характеристическое уравнение

Будем искать частные решения в виде:

$$\phi_j^{(n)} = \expig(i\cdotig[\omega au\ n\ - khjig]ig)$$
 ; $kh\in [0,2\pi]$; Полагая $q_{kh} = \expig(i\omega auig)$

для схемы Айзерлиса получаем характеристическое уравнение:

$$q_{kh}^2 - q_{kh} (1 - e^{-ikh}) (1 - 2r) - e^{-ikh} = 0$$
;

Корни характеристического уравнения:

$$q_{kh,1} = -b / 2 + \sqrt{D}$$
; $q_{kh,2} = -b / 2 - \sqrt{D}$;
$$b = -\left(1 - e^{-ikh}\right)\left(1 - 2r\right); D = b^2 / 4 - d; d = -e^{-ikh};$$



Диссипация и дисперсионные поверхности

Модуль перехода (диссипативная поверхность) как функция двух аргументов $(0 \le r \le 1)$; $(0 \le kh \le 2\pi)$;

$$\begin{aligned} & \left| q_1 \right| = abs \left[\left. q_1 \left(kh, r \right) \right] \right] \; ; \; \left| q_2 \right| = abs \left[\left. q_2 \left(kh, r \right) \right] 1 \; ; \\ & r \; \in \left[0,1 \; \right] \; ; \; kh \; \in \left[0,2\pi \; \right] ; \end{aligned}$$

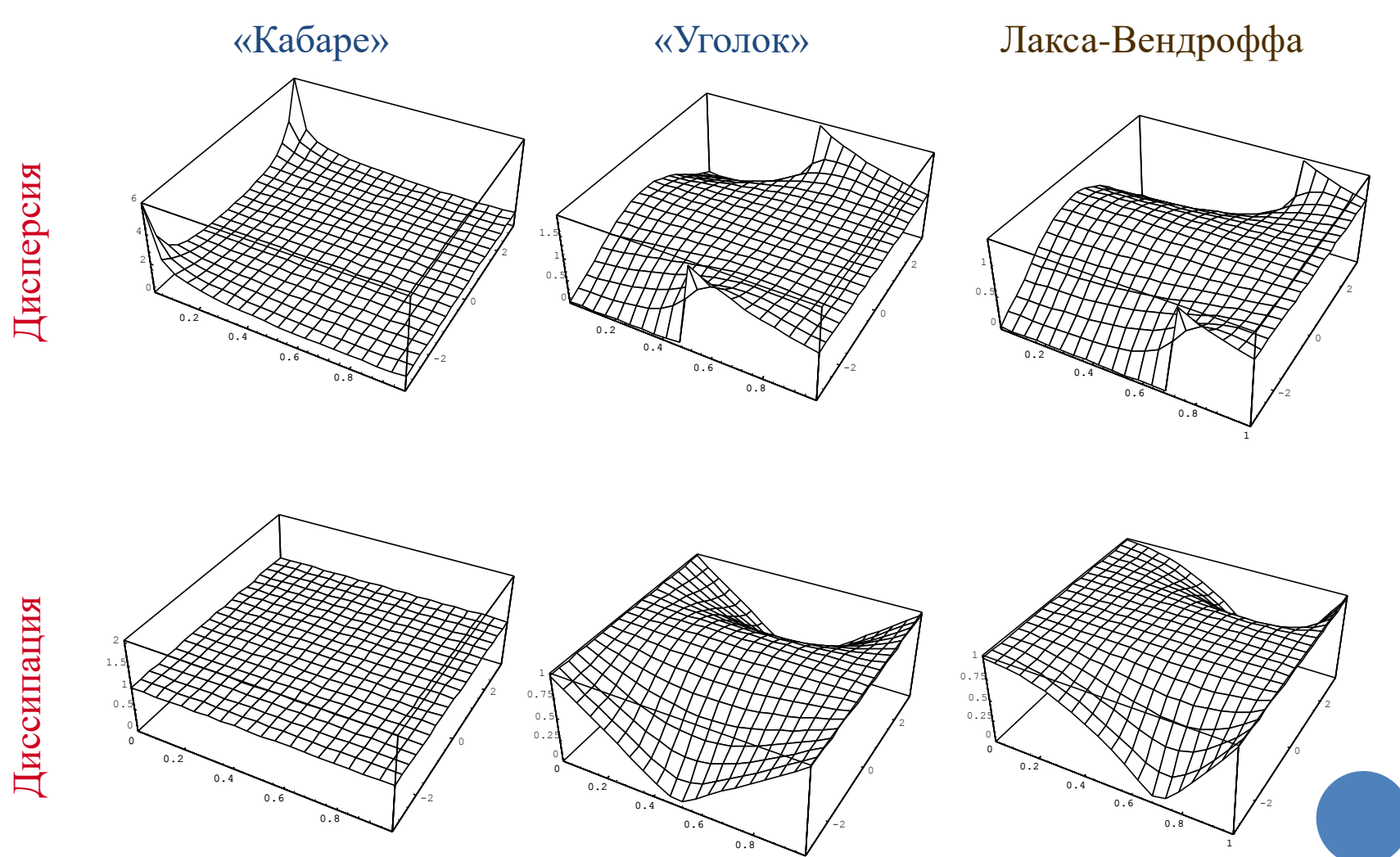
Относительный набег фазы (дисперсионная поверхность) как функция двух аргументов $(0 \le r \le 1)$; $(0 \le kh \le 2\pi)$;

$$\gamma_1(kh,r) = \frac{1}{r \cdot kh} arctg \left\{ \operatorname{Im}(q_1) / \operatorname{Re}(q_1) \right\};$$

$$\gamma_2(kh,r) = \frac{1}{r \cdot kh} arctg \left\{ \operatorname{Im}(q_2) / \operatorname{Re}(q_2) \right\};$$

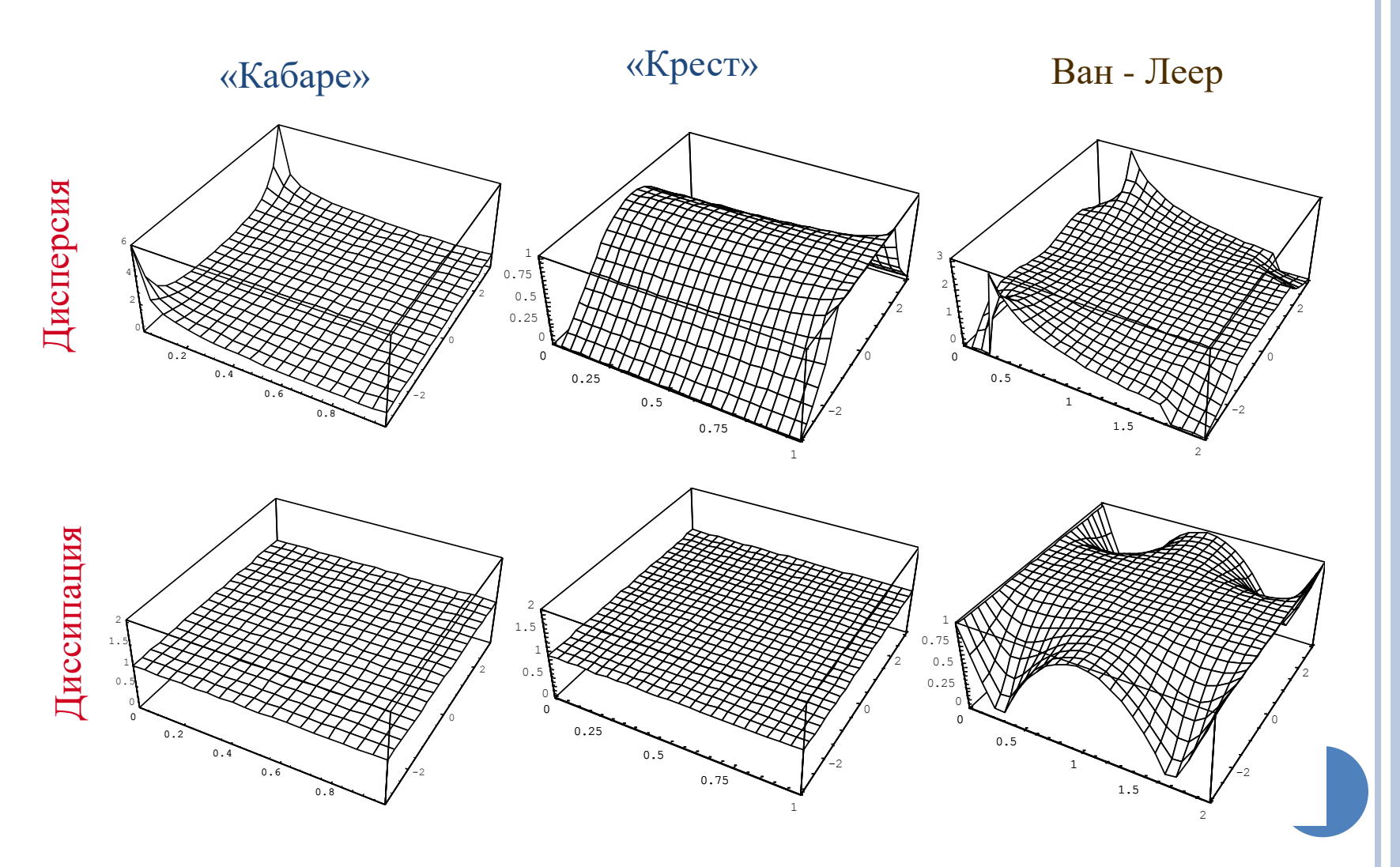


Дисперсионные и диссипативные поверхности



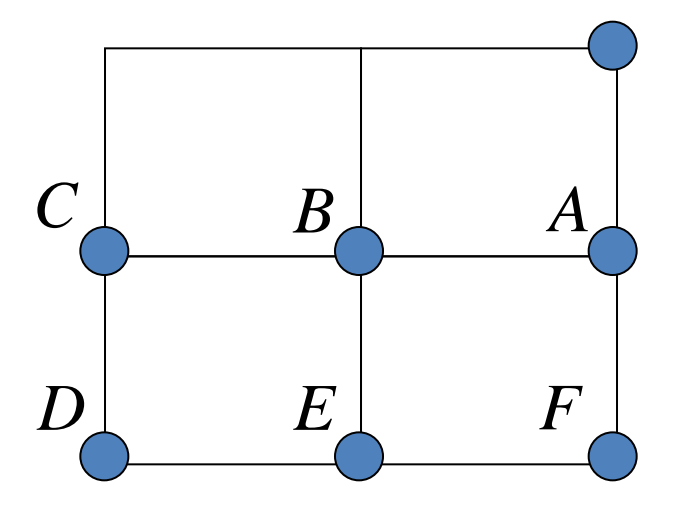


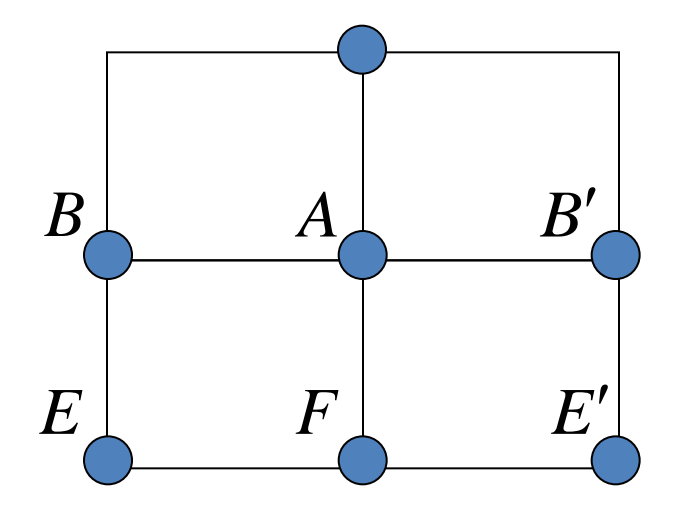
Дисперсионные и диссипативные свойства





Классификация и общее число явных схем на компактных шаблонах





ABC,ABD,ABE,ABF,BCD, BCE,BDE,BEF,BDF,AED, AFE,AED,AEC

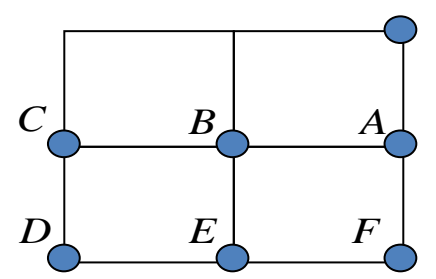
BAB',BAE',BFE', BFB', EAE', EAB'

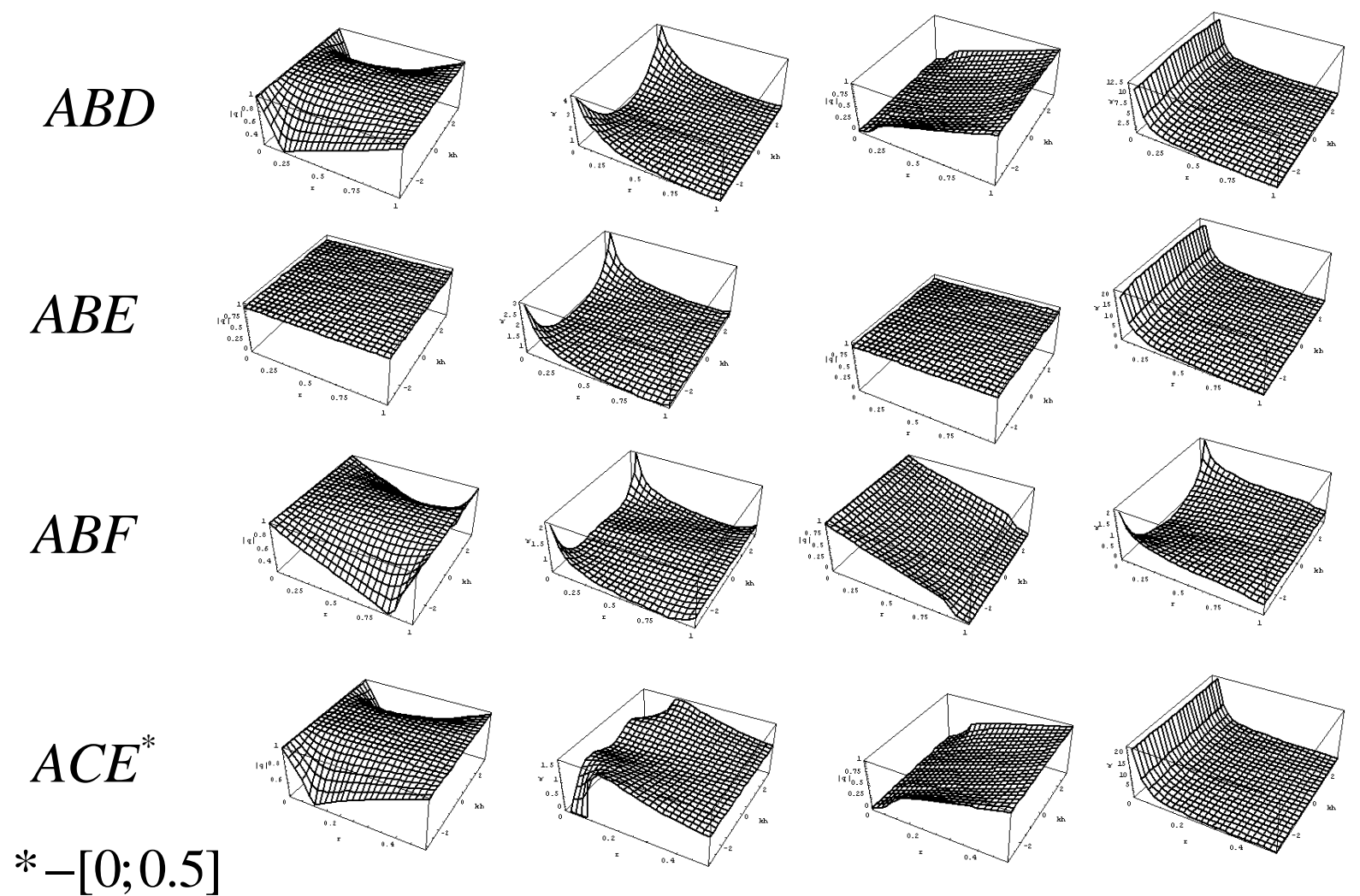
13 схем

6 схем



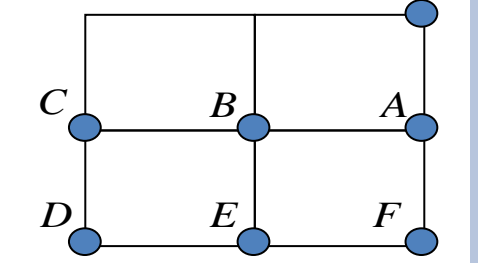
Диссипативные и дисперсионные свойства



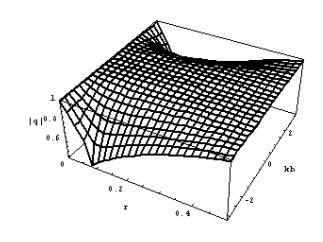


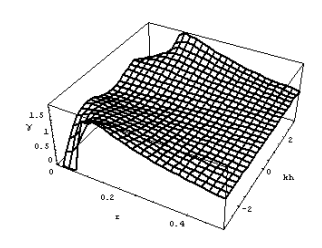


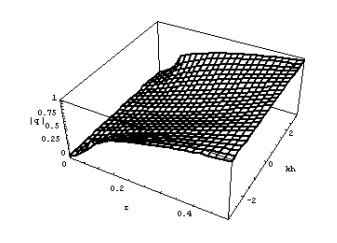
Диссипативные и дисперсионные свойства

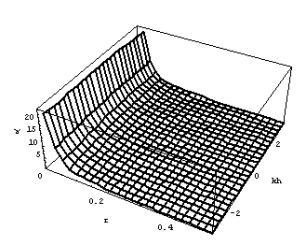


 ADE^*

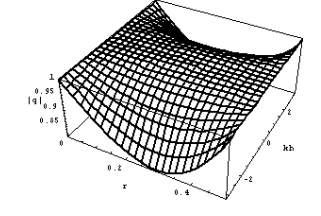


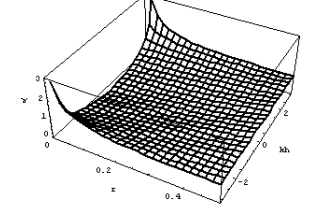


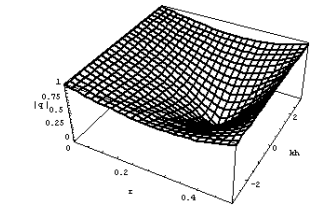


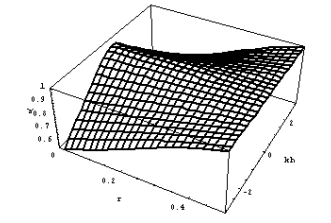


 AEF^*

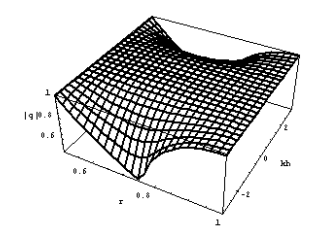


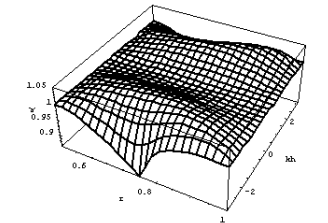


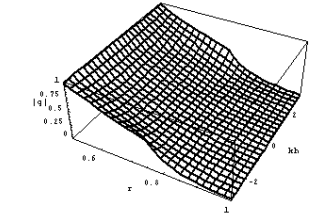


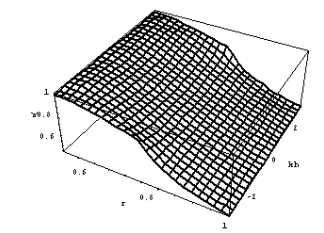


 BCE^*

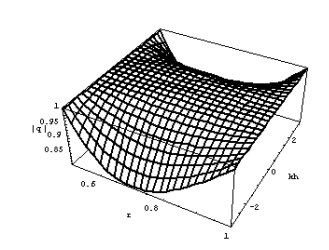


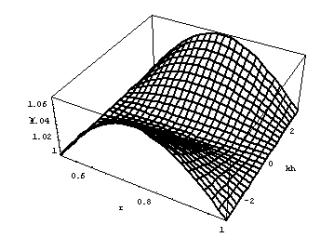


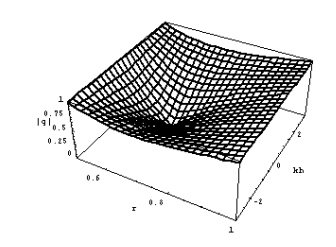


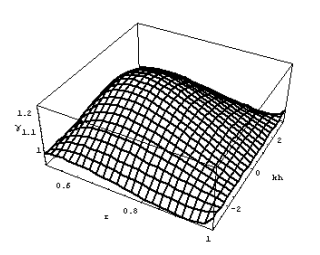


 BDE^*





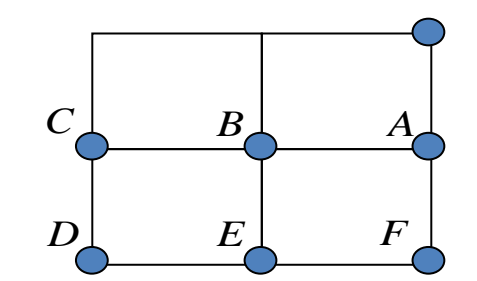


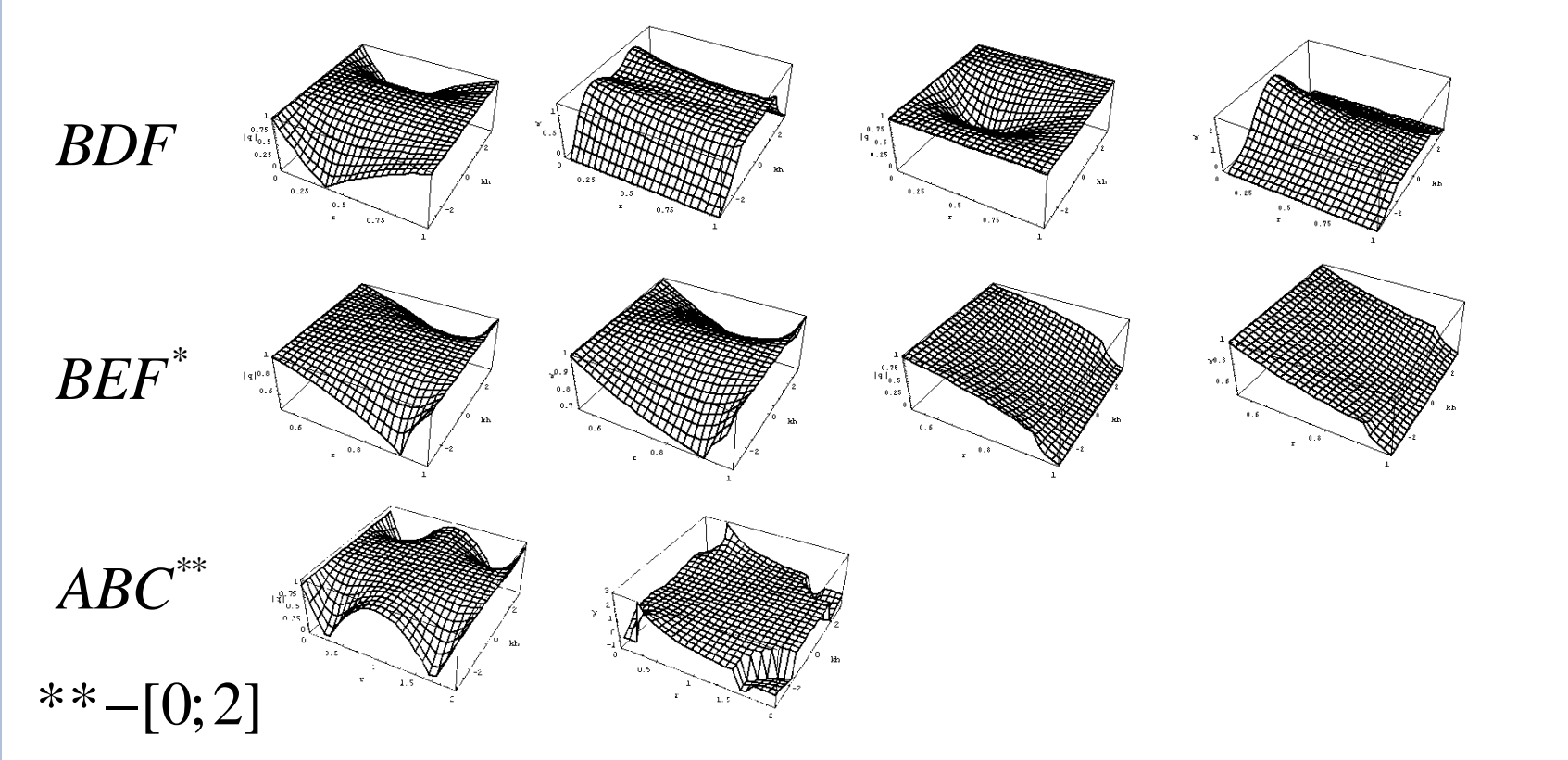




*-[0.5;1]

Диссипативные и дисперсионные свойства

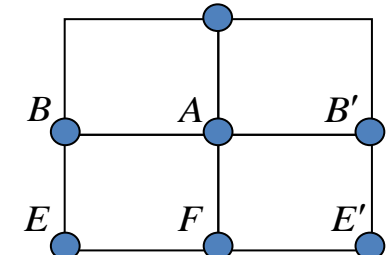


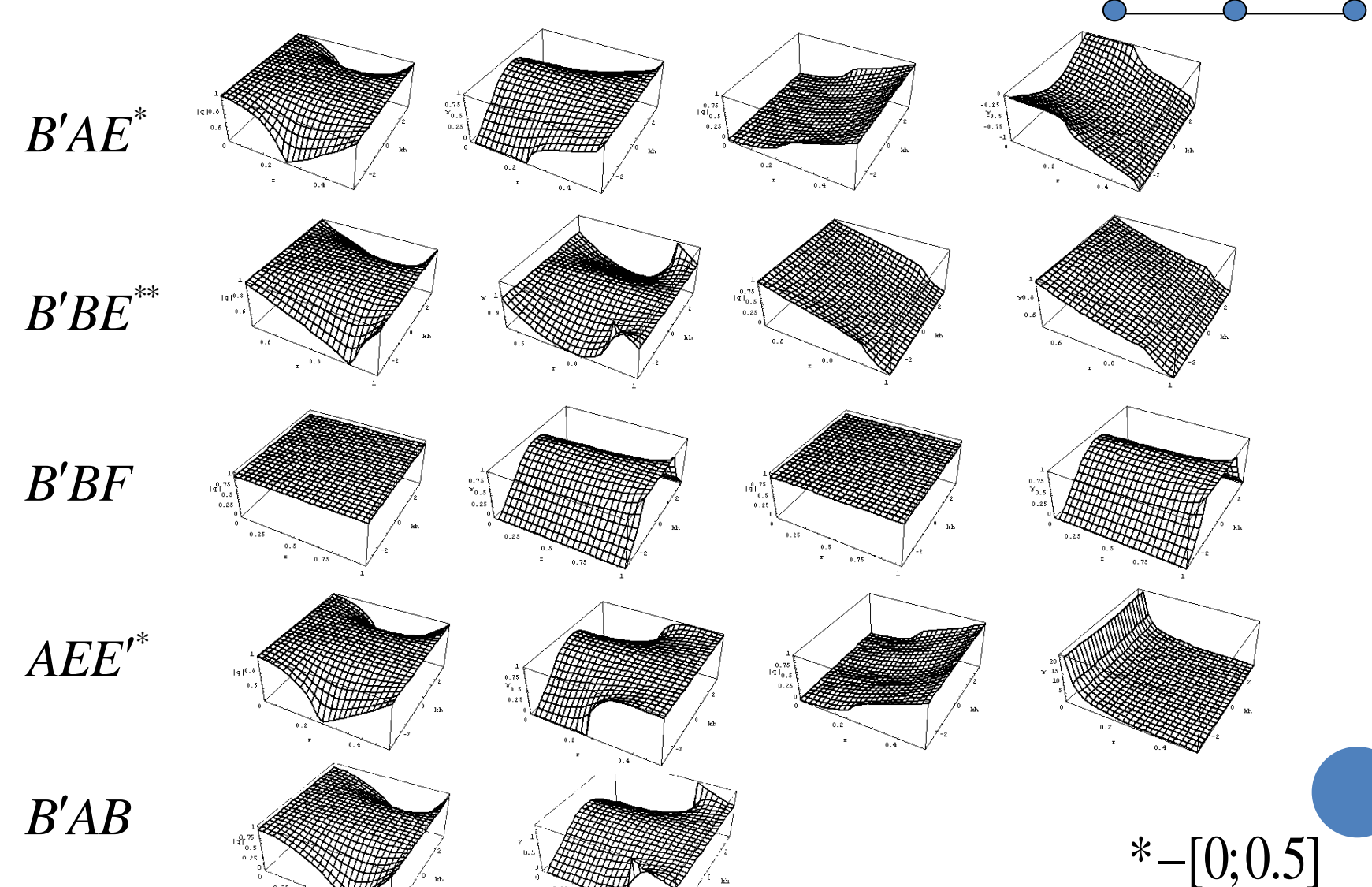


Схемы BCD,BCF,EFB' - неустойчивы



Диссипативные и дисперсионные свойства





ИБРАЭ

Временная обратимость

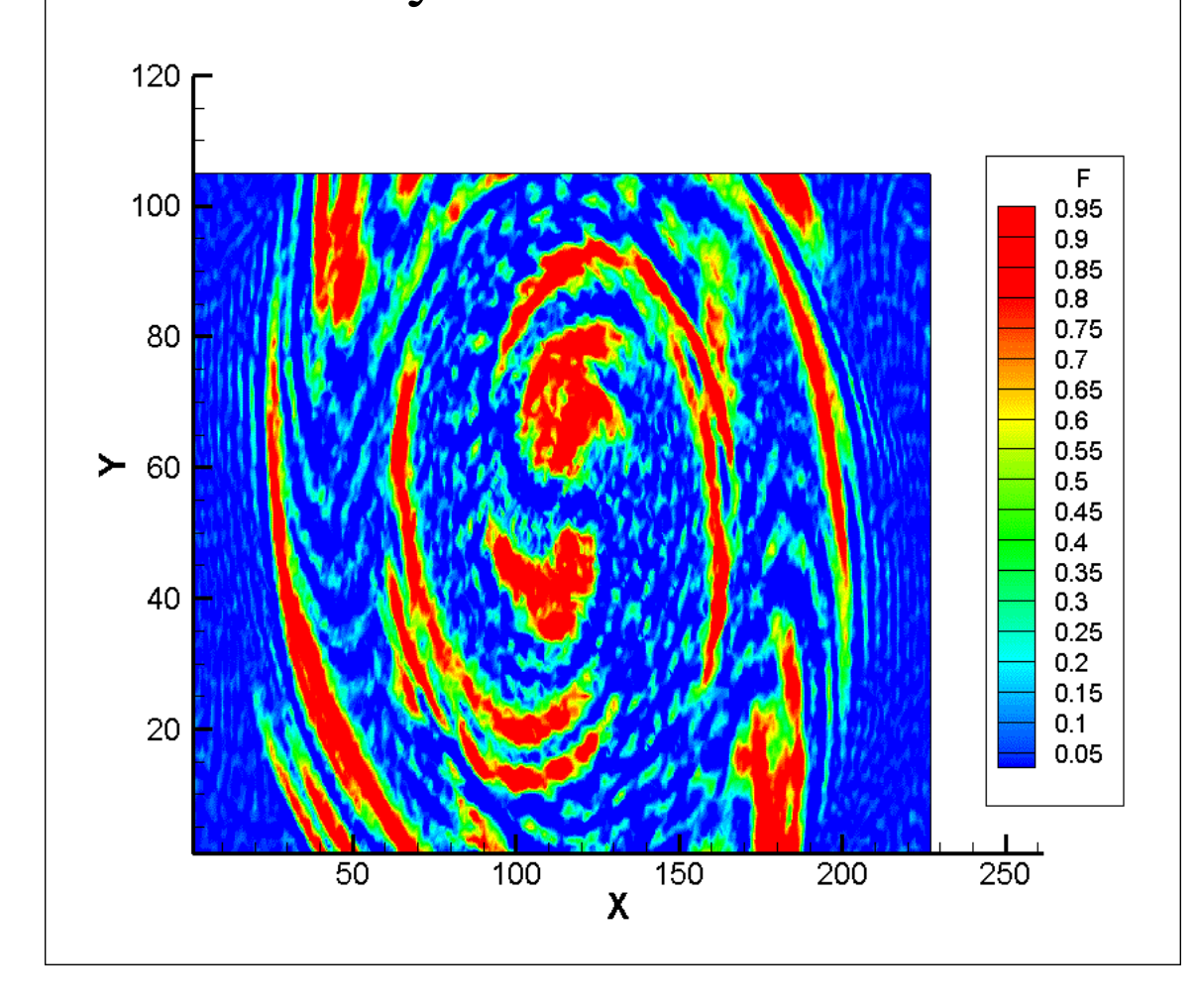
Схема CABARET для уравнения переноса

ИБРАЭ

Временная обратимость

Схема CABARET для уравнения переноса

$$\frac{\partial \psi}{\partial t} + \frac{\partial u \cdot \psi}{\partial x} + \frac{\partial v \cdot \psi}{\partial y} = 0; \quad u = w \cdot sin(\phi); v = w \cdot cos(\phi)$$



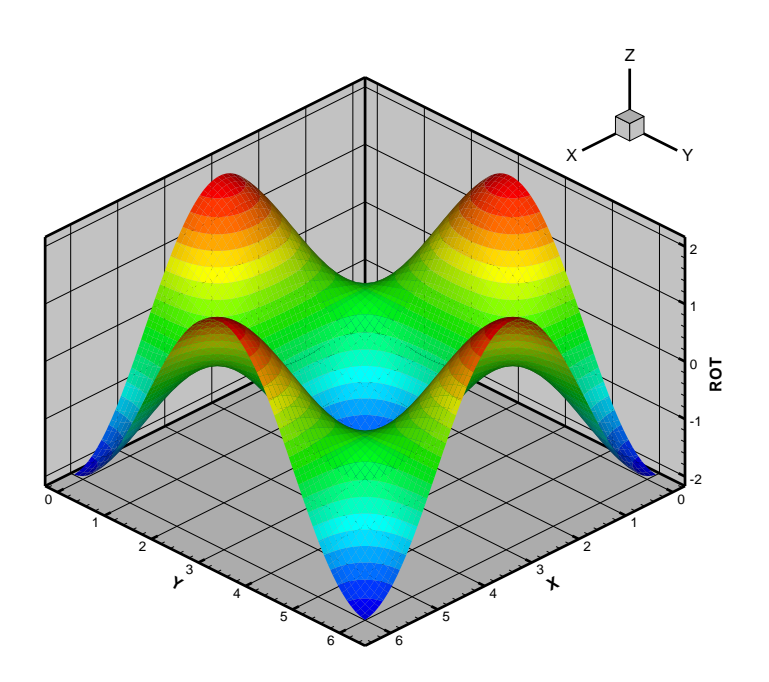


ТЕСТОВЫЕ ЗАДАЧИ В 2D СЛУЧАЕ



Вихрь Тейлора-Грина

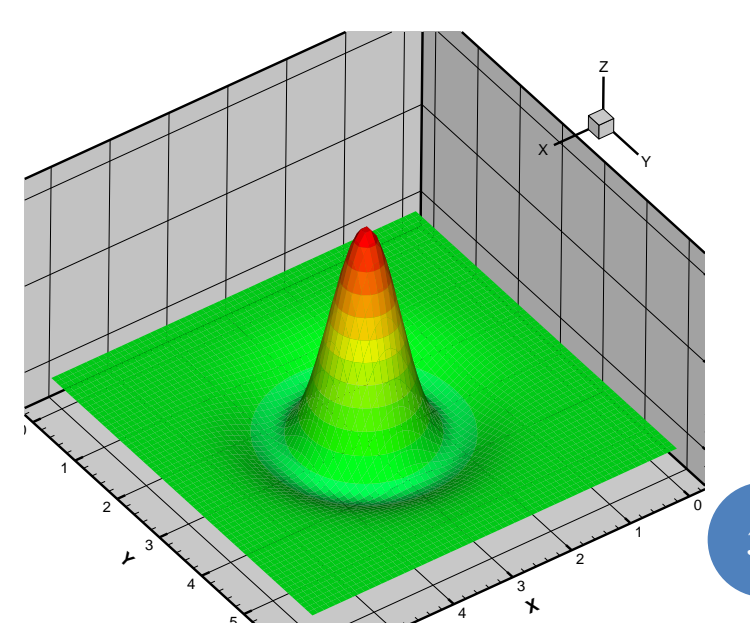
$$u(x, y) = -\cos(x) \cdot \sin(y) + u_0$$
$$v(x, y) = \cos(y) \cdot \sin(x) + v_0$$



Одиночный вихрь

$$u(r) = \alpha \cdot f(r_{\sigma}) \cdot \exp\left[\beta \left(1 - r_{\sigma}^{2}\right)\right],$$

$$r_{\sigma} = \sqrt{\left(x - x_{0}\right)^{2} + \left(y - y_{0}\right)^{2}} / \sigma$$



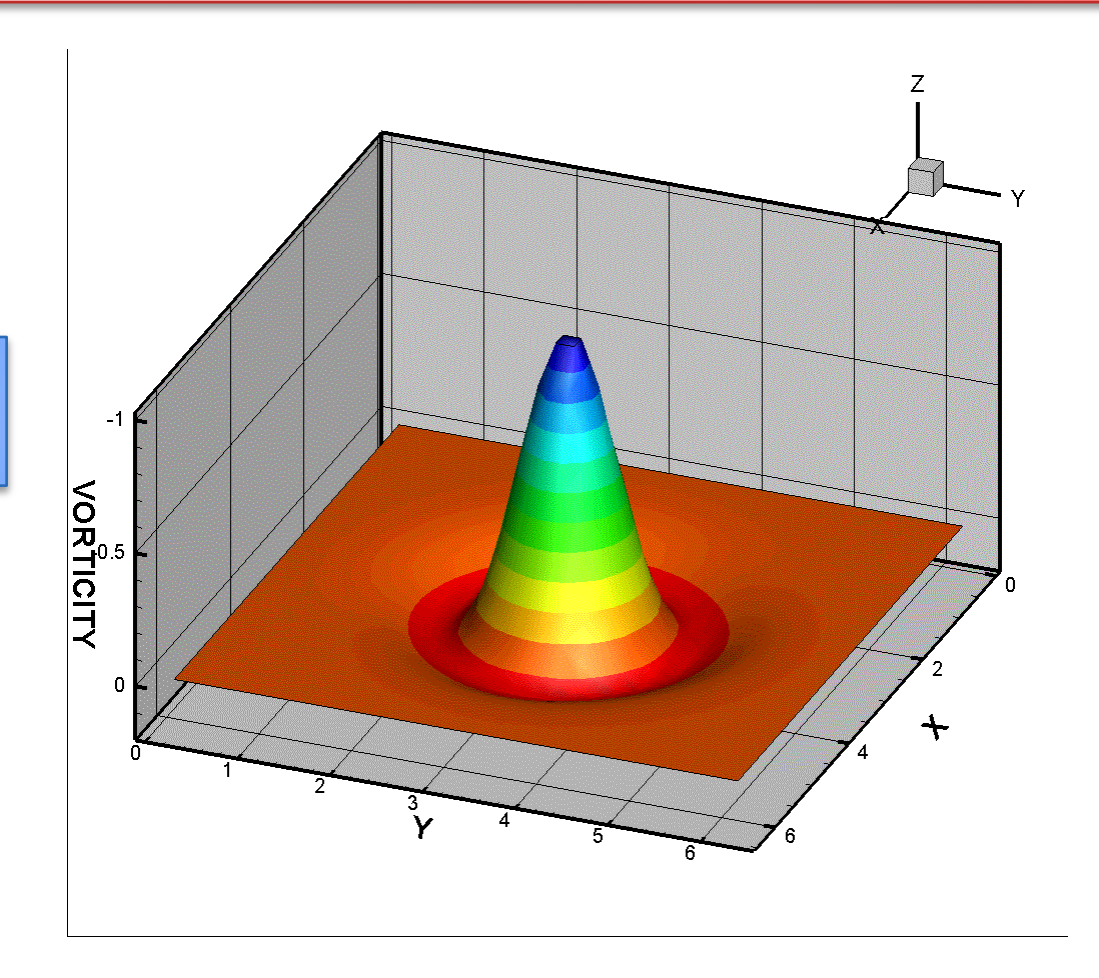


ОДИНОЧНЫЙ ВИХРЬ

Вихрь «держится», как минимум, в течение времени $T = 20\,000$ (~2 800 оборотов)

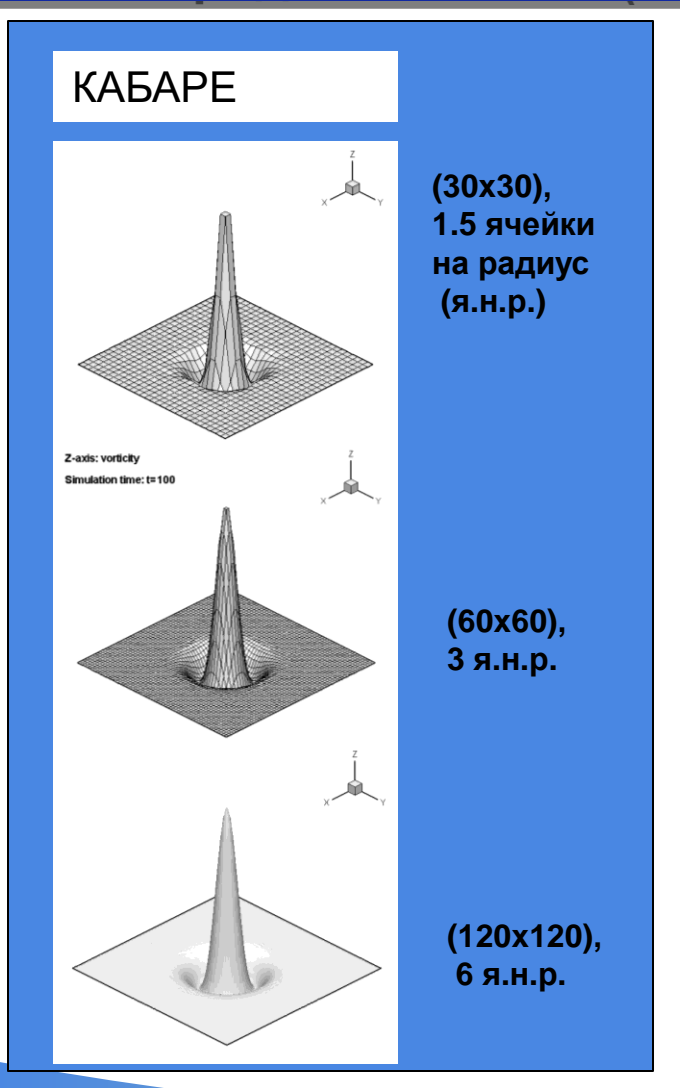
Сетка 32x32

Переменные «p-w»

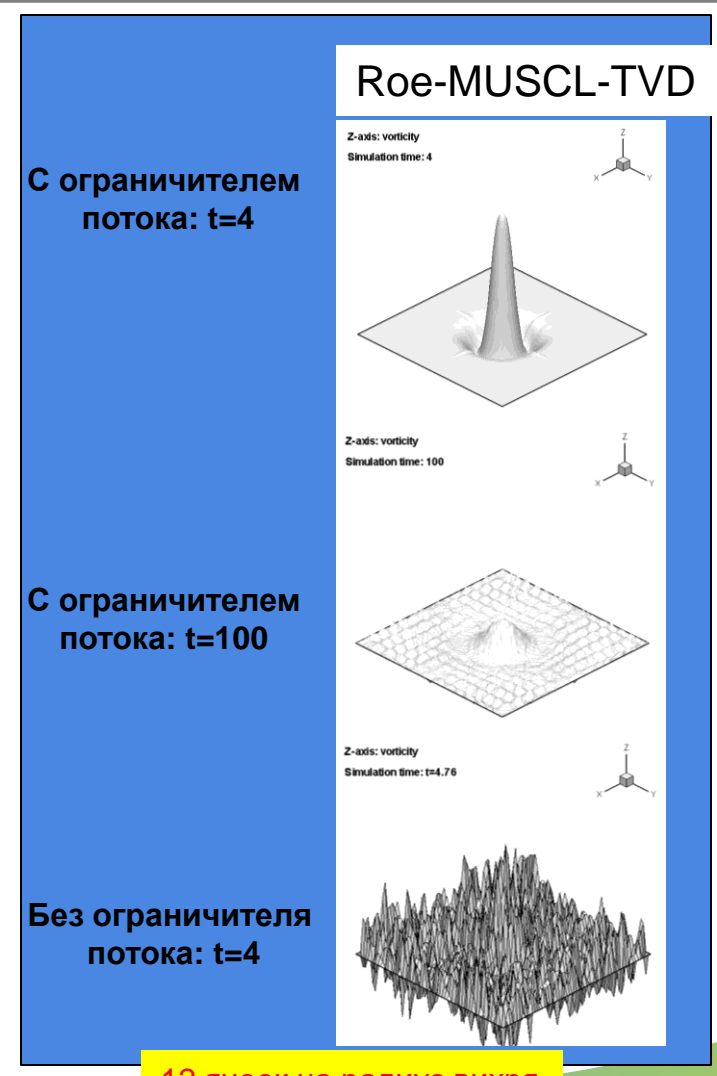


Разрешимость вихревой структуры для КАБАРЕ

Сравнение с общеизвестными схемами высокой разрешимости 2-3 порядка точности (схема Roe-MUSCL-TVD, сетка (240х240))

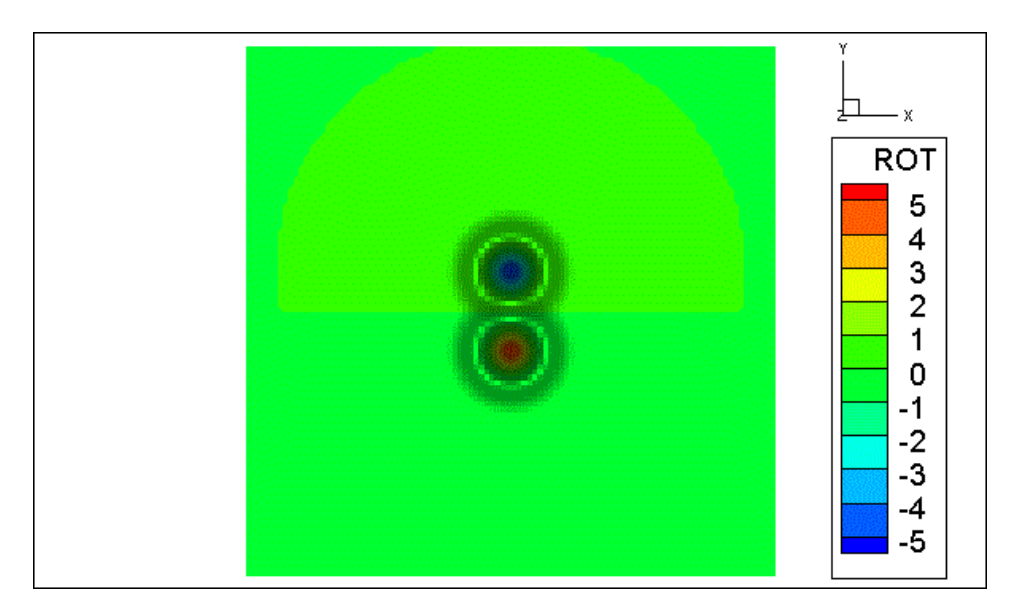


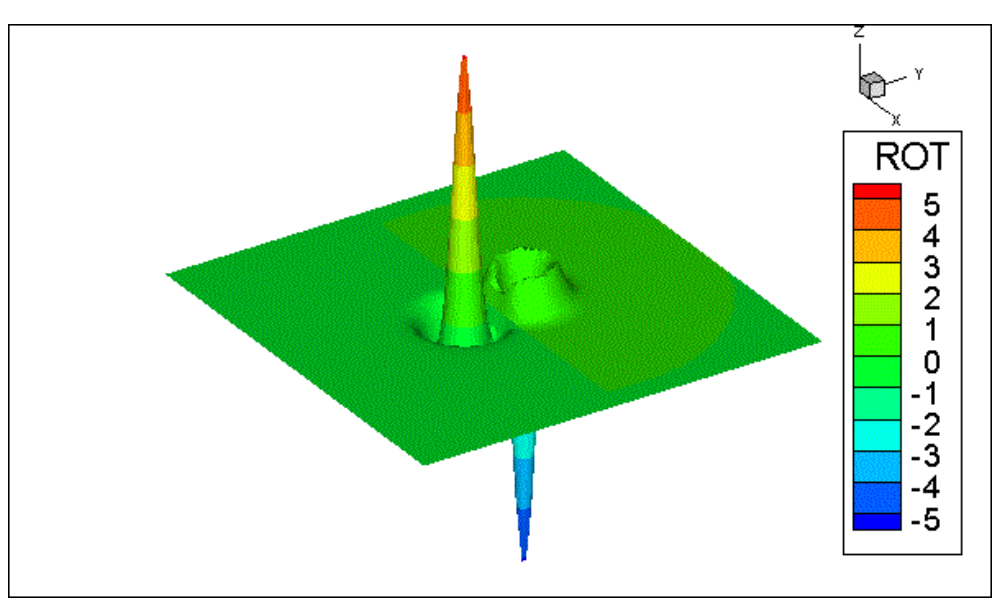
Завихренность (ротор) (t=100)





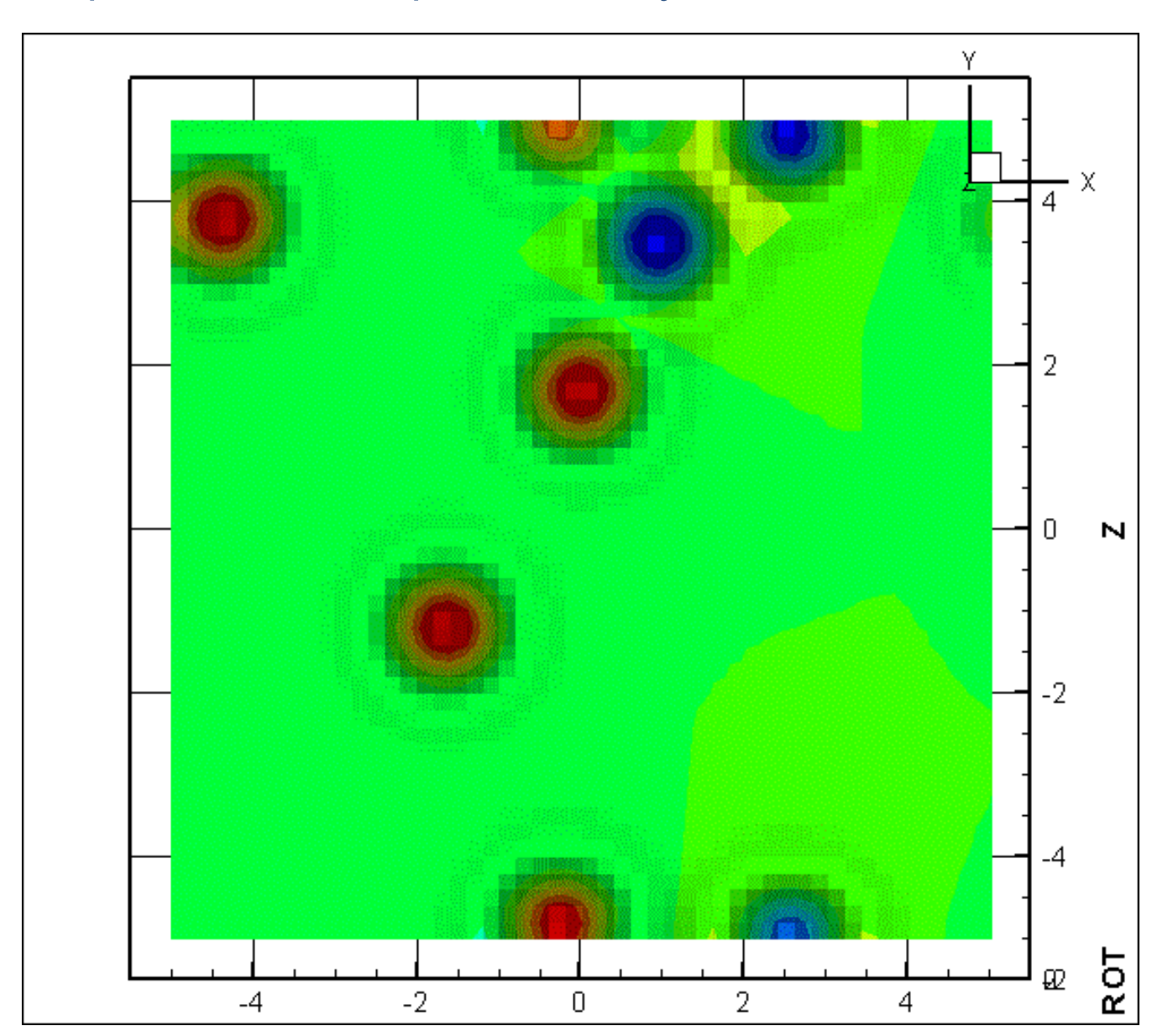
Вихревой диполь в коробке с гладкими стенками







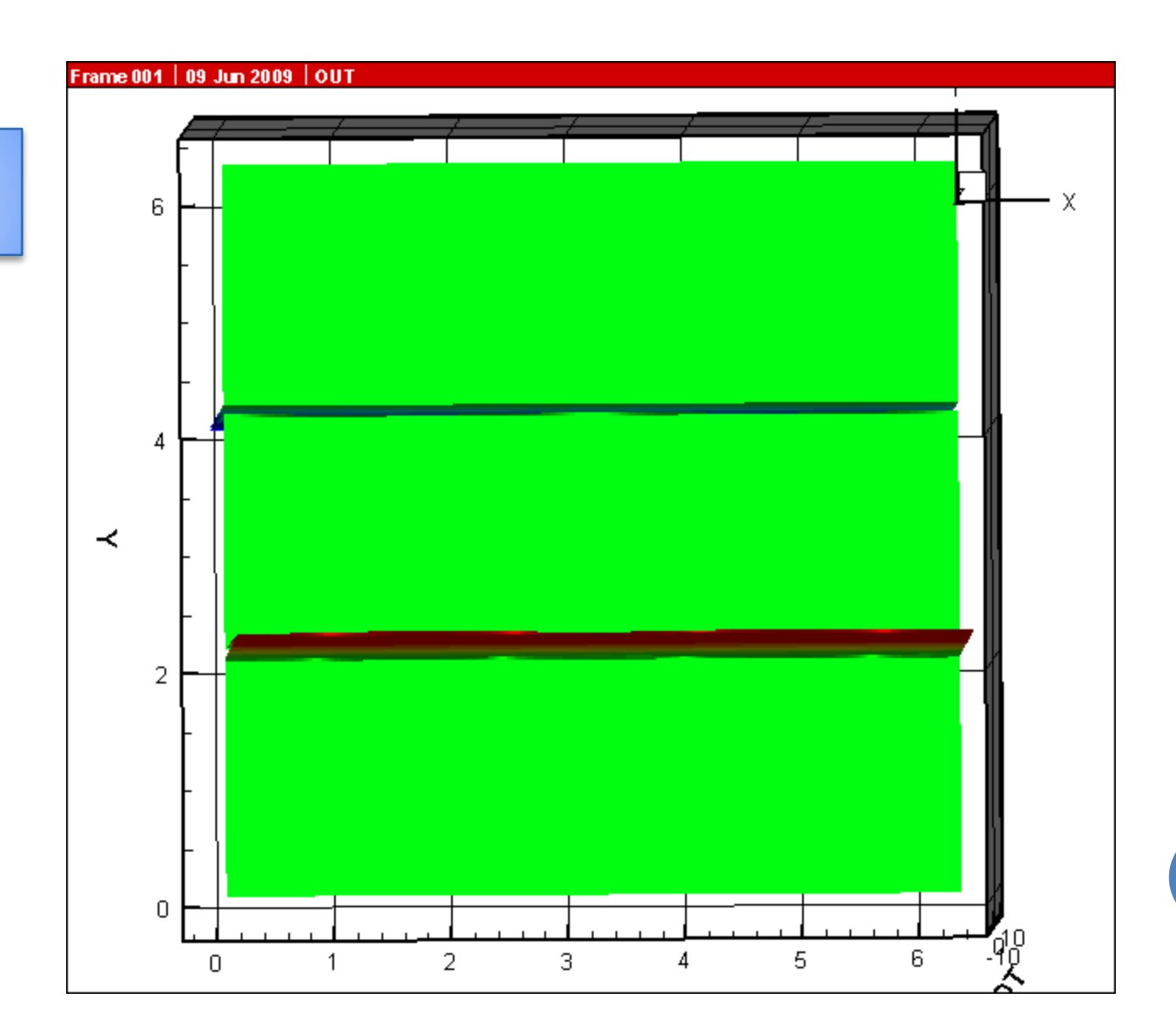
Случайное распределение вихрей в области с периодическими граничными условиями





НЕУСТОЙЧИВОСТЬ СТРУИ

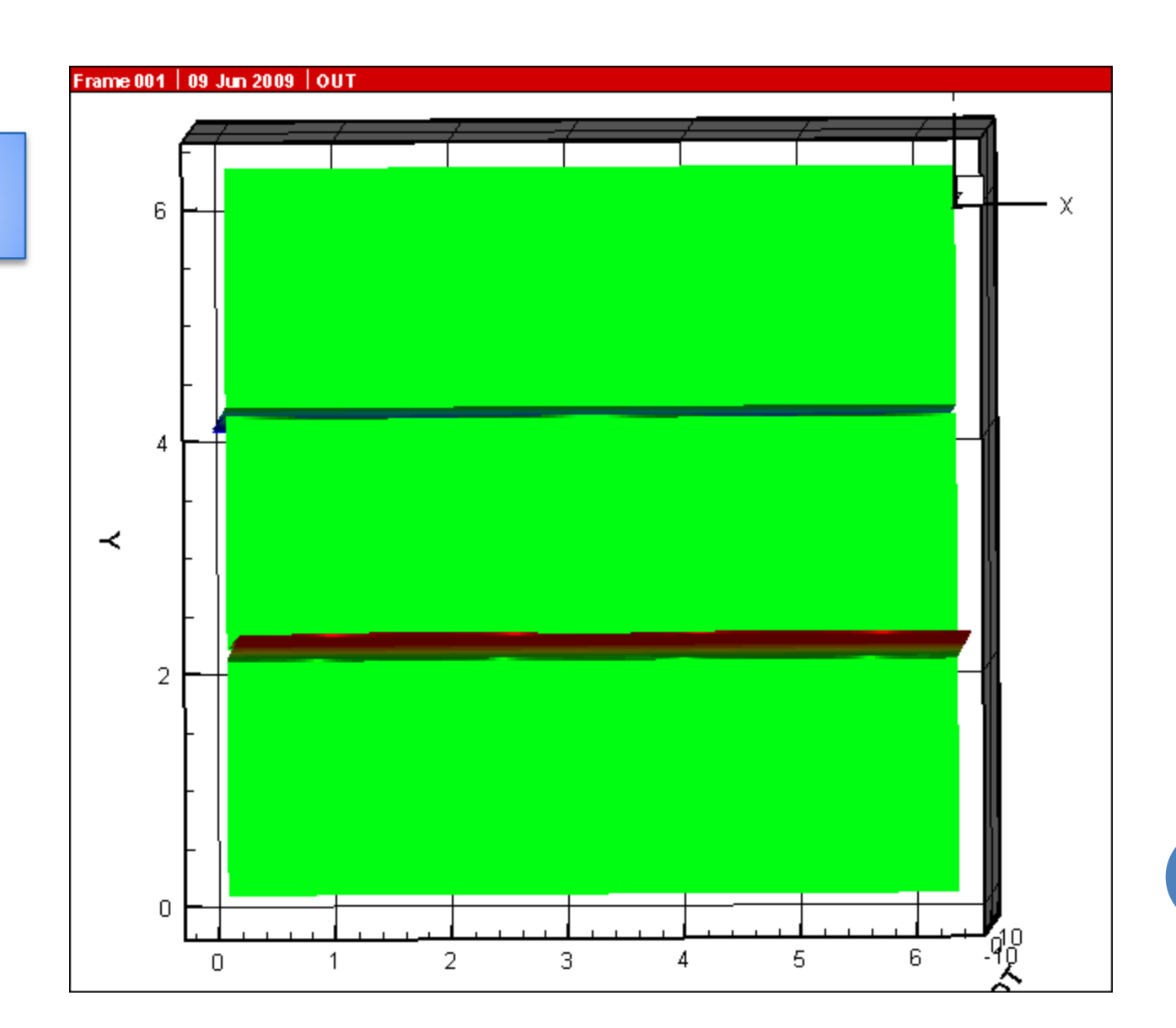
Сетка 256х256





НЕУСТОЙЧИВОСТЬ ПЛОСКОЙ СТРУИ

Сетка 256х256



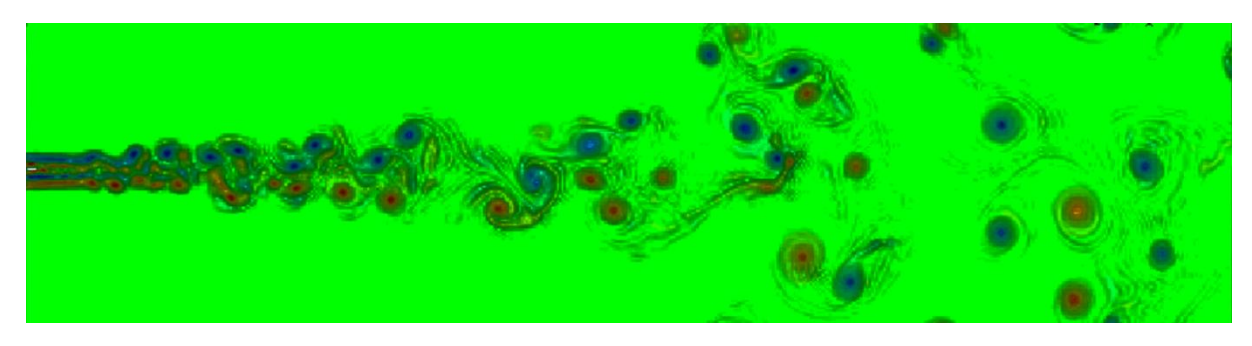


ЗАТОПЛЕННАЯ СТРУЯ

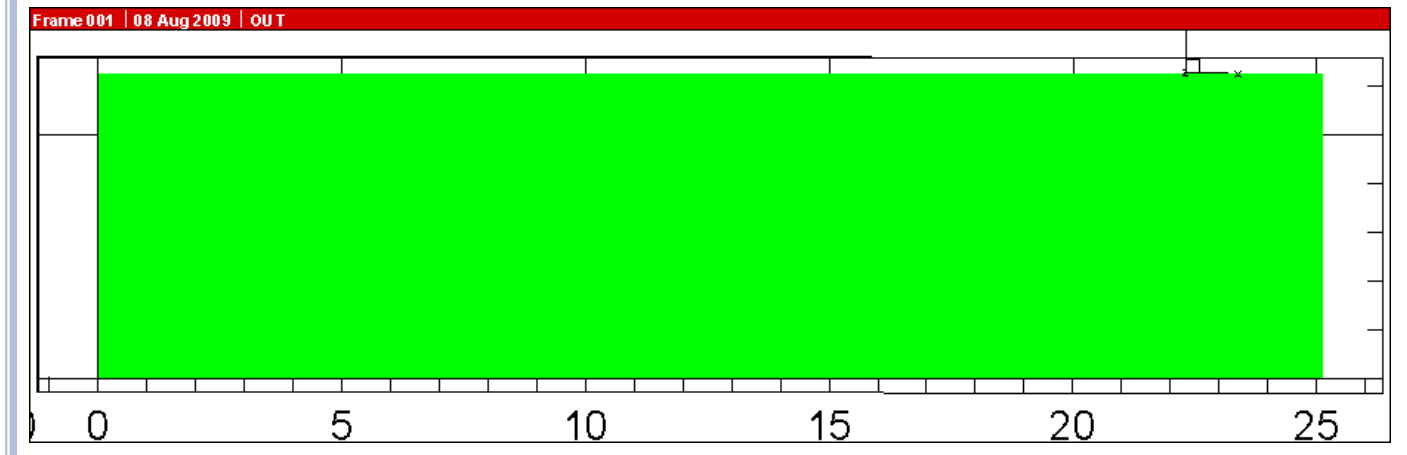




Фотография



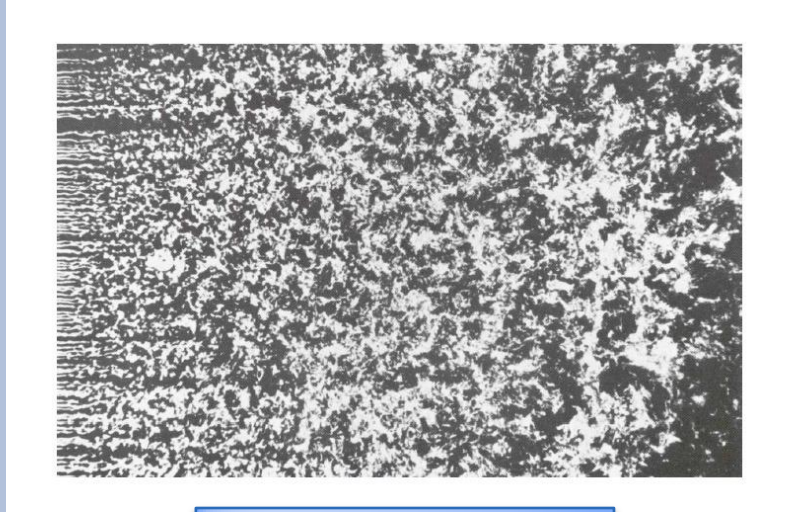
Расчет по схеме КАБАРЕ на сетке 128х256. Поле Завихренности



Анимация расчета



ПОТОК ЗА ТУРБУЛИЗУЮЩЕЙ РЕШЕТКОЙ



Реальный поток

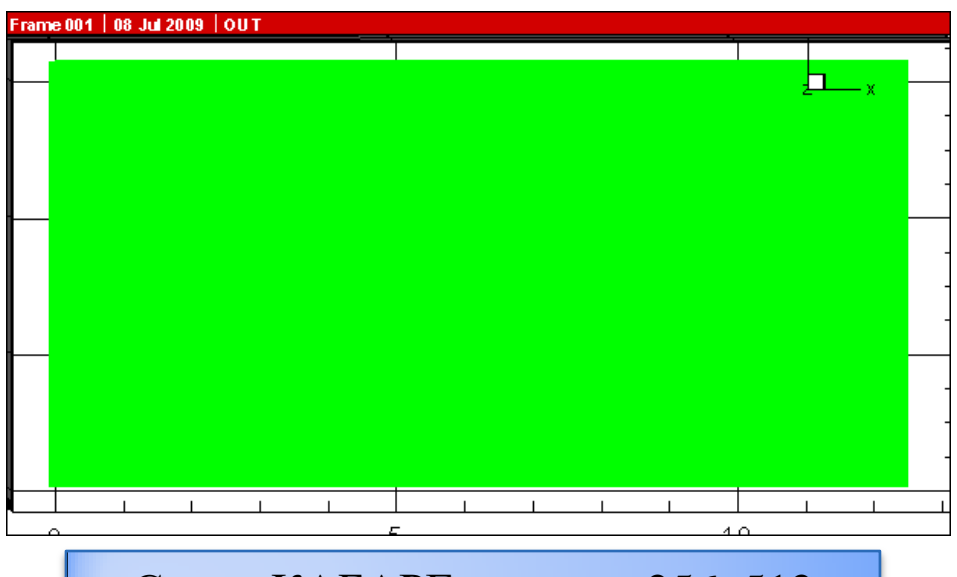


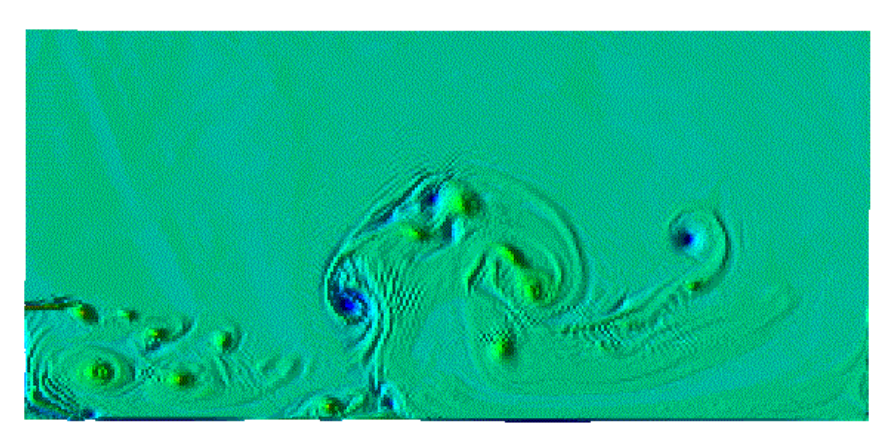
Схема КАБАРЕ на сетке 256х512

FLUENT



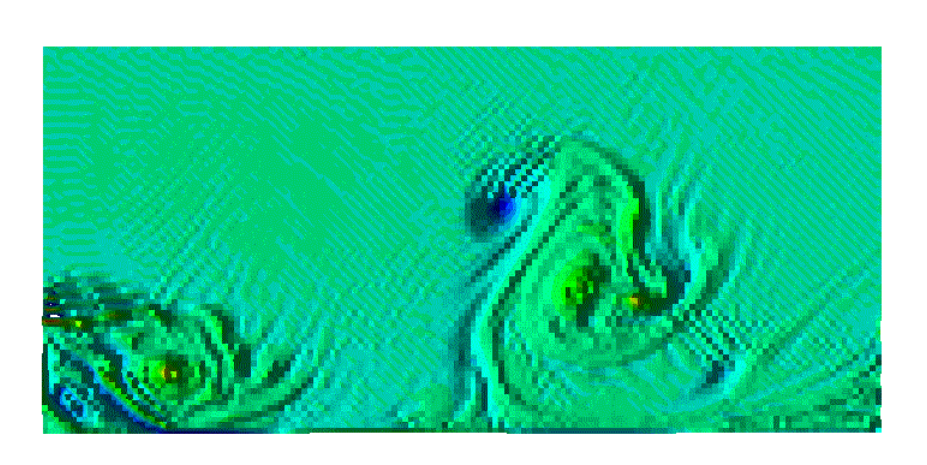
Вихревое течение за обратной ступенькой

40 расчетных ячеек на высоту уступа



Re=5000

20 расчетных ячеек на высоту уступа





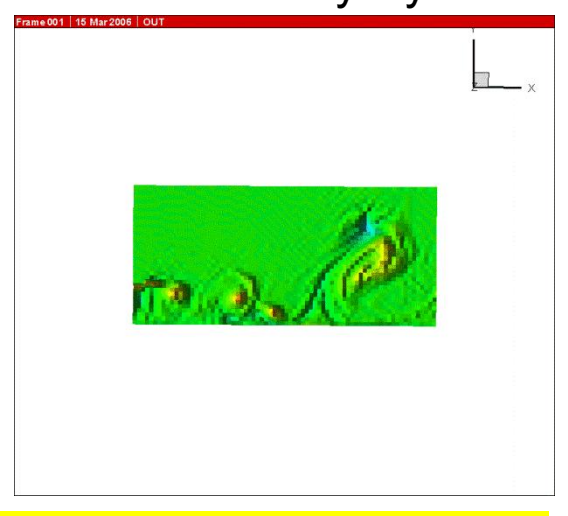


Схема КАБАРЕ воспроизводит вихревые течения на грубых сетках



Стохастические свойства однородной изотропной турбулентности

Спектральная плотность кинетической энергии

$$dE_{kin} = E_k(|k|) \cdot d|k|$$

Структурные функции

$$\delta v_l = |v_l(\mathbf{r} + \mathbf{l}) - v_l(\mathbf{r})|; \quad S_q(l) = \langle \delta v_l^q \rangle$$

В одномерном случае:

$$\mathbf{E}_{k}(k) \square k^{-2}$$

$$\mathrm{E}_{k}\left(k
ight)\Box\ k^{-2}\qquad S_{q}(l)\Box\ (arepsilon_{u}\cdot l)^{q/2}$$

В двумерном случае:

$$\mathbf{E}_{k}(k)\Box k^{-3};$$

$$S_q(l) \square \left(\mathcal{E}_{\scriptscriptstyle ens}^{q/3} \!\cdot\! l^q
ight)$$

В трехмерном случае:

Закон Колмогорова:

Закон Колмогорова-Обухова:

$$\mathbf{E}_{k}(k) \square k^{-5/3}$$

$$\delta v_l \sim (\varepsilon_e \cdot l)^{1/3} \longrightarrow S_q(l) \square (\varepsilon_e \cdot l)^{q/3}$$

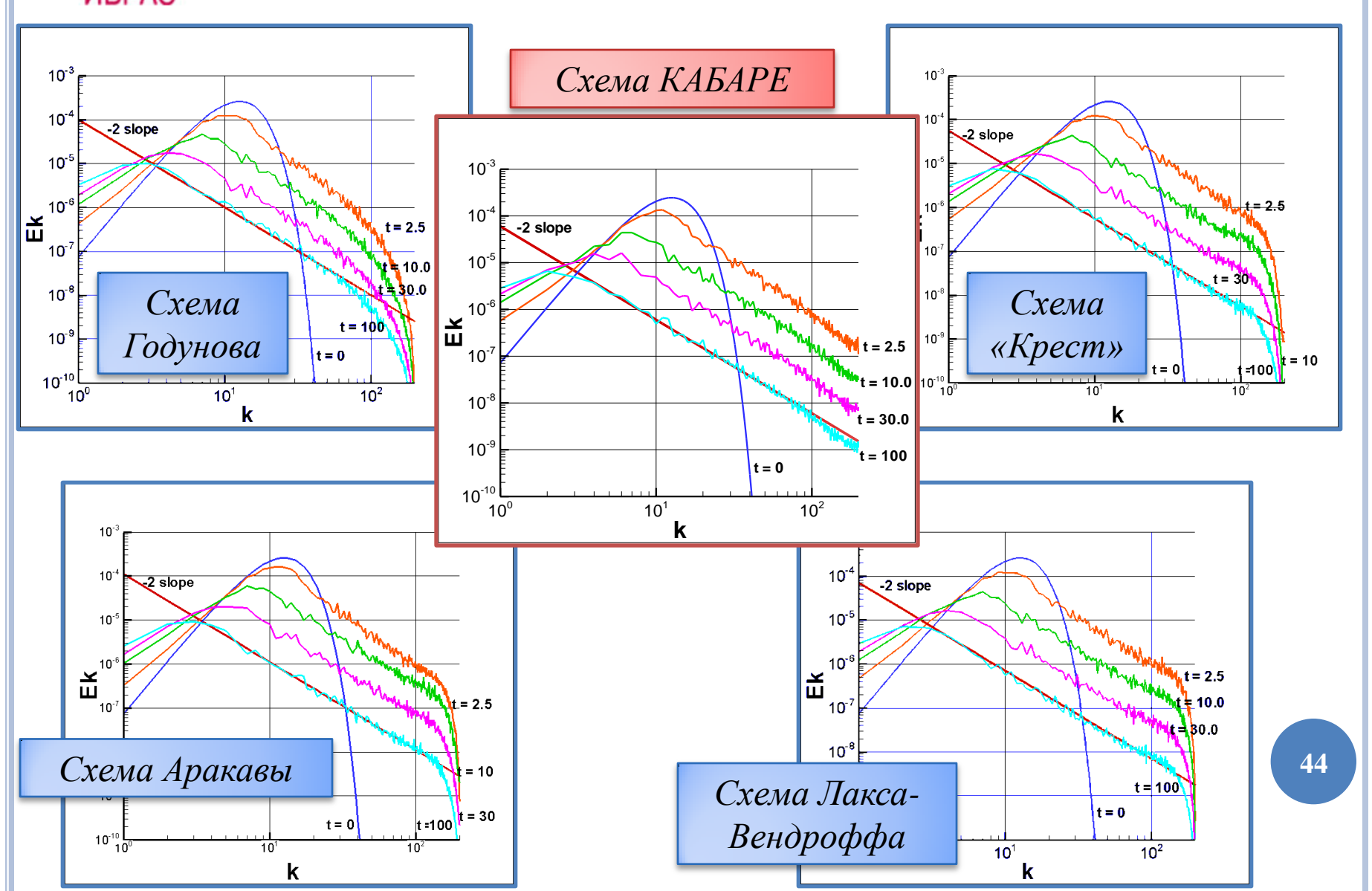
В области доминирования каскада спиральности:

$$\mathbf{E}_{k}(k) \square k^{-7/3}$$

$$\delta v_l \square (\varepsilon_H \cdot l^2) \longrightarrow S_q(l) \square (\varepsilon_H \cdot l^2)^{q/3}$$



СПЕКТРЫ ЭНЕРГИИ ДЛЯ РАЗЛИЧНЫХ РАЗНОСТНЫХ СХЕМ





СТРУКТУРНЫЕ ФУНКЦИИ ДЛЯ РАЗЛИЧНЫХ РАЗНОСТНЫХ СХЕМ С (Д) П

 $S_q(l) \square \left(\mathcal{E}_{\scriptscriptstyle u} \cdot l
ight)^{q/2}$

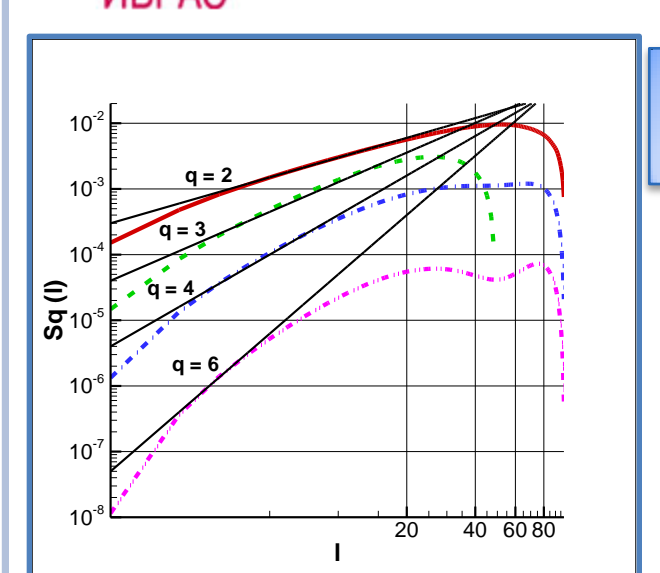


Схема Годунова

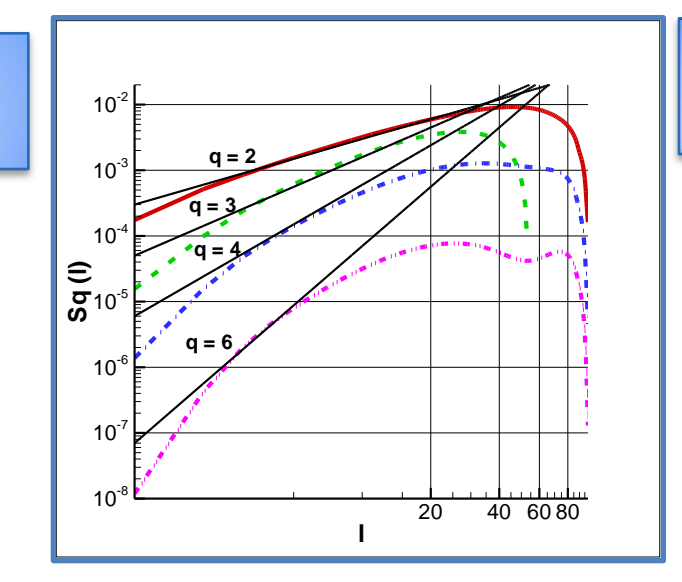


Схема «Крест»

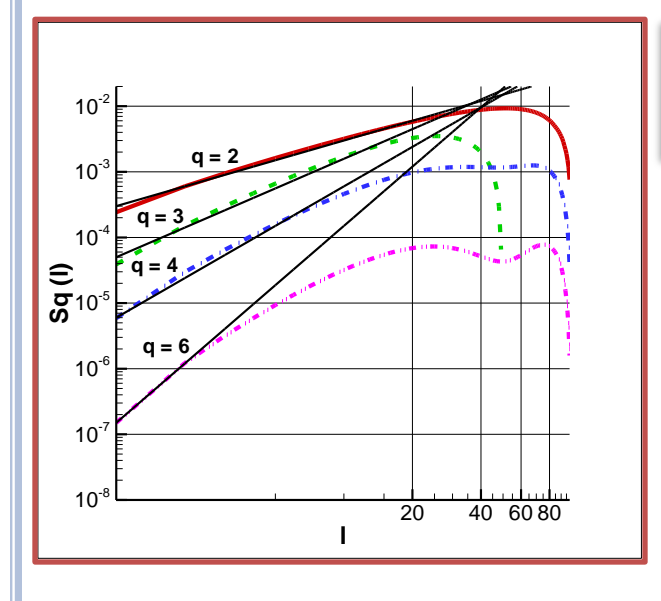
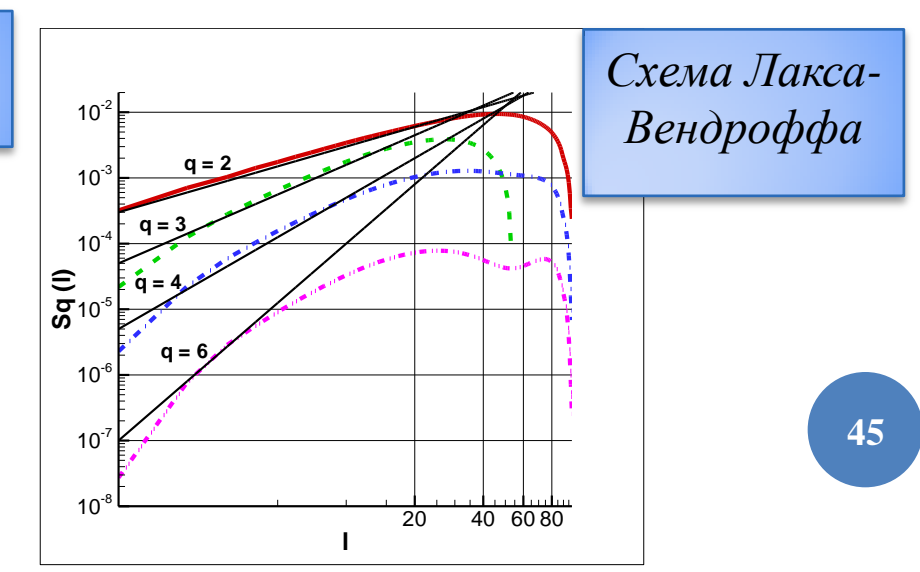


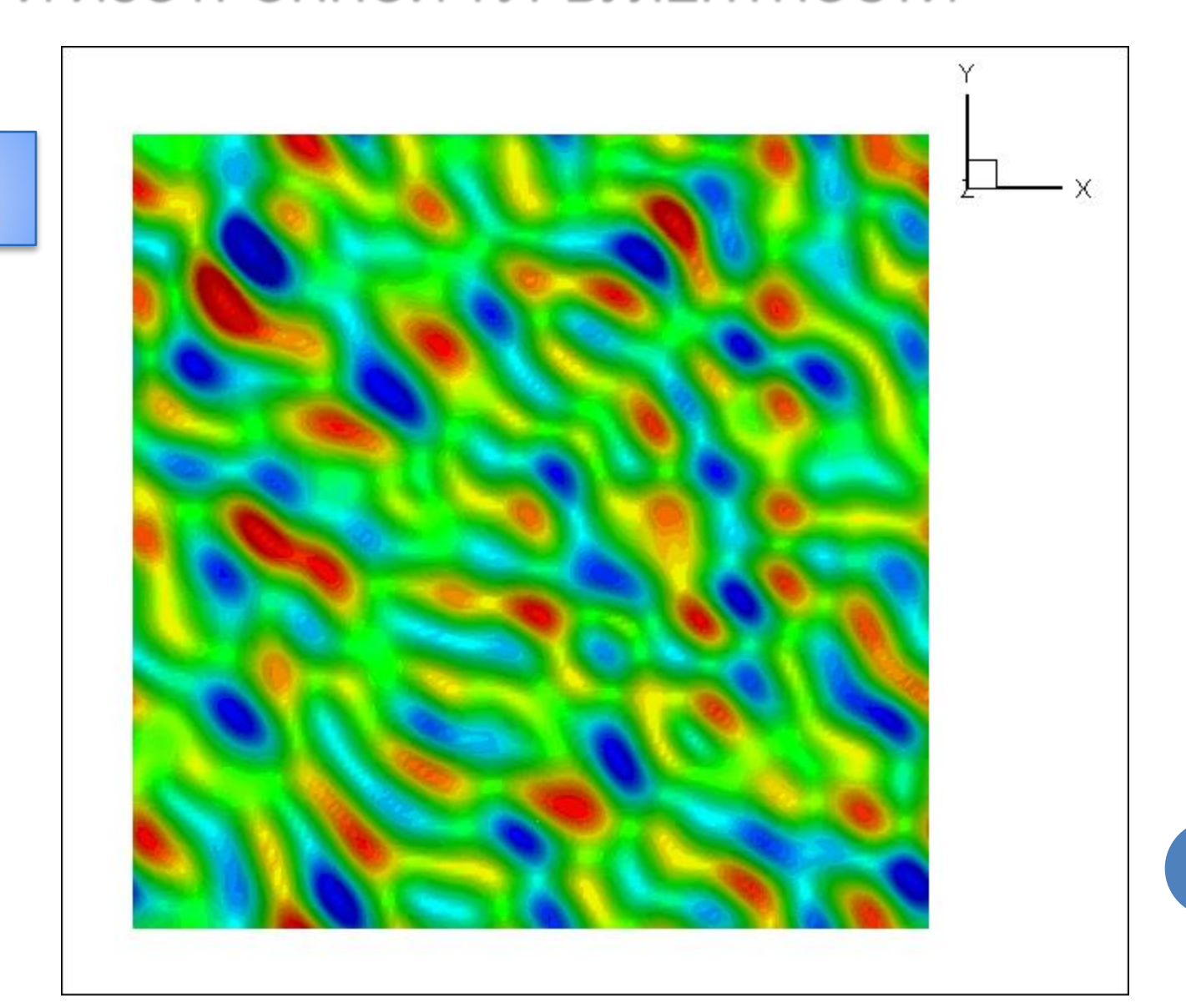
Схема КАБАРЕ





МОДЕЛИРОВАНИЕ ЗАТУХАНИЯ ОДНОРОДНОЙ И ИЗОТРОПНОЙ ТУРБУЛЕНТНОСТИ

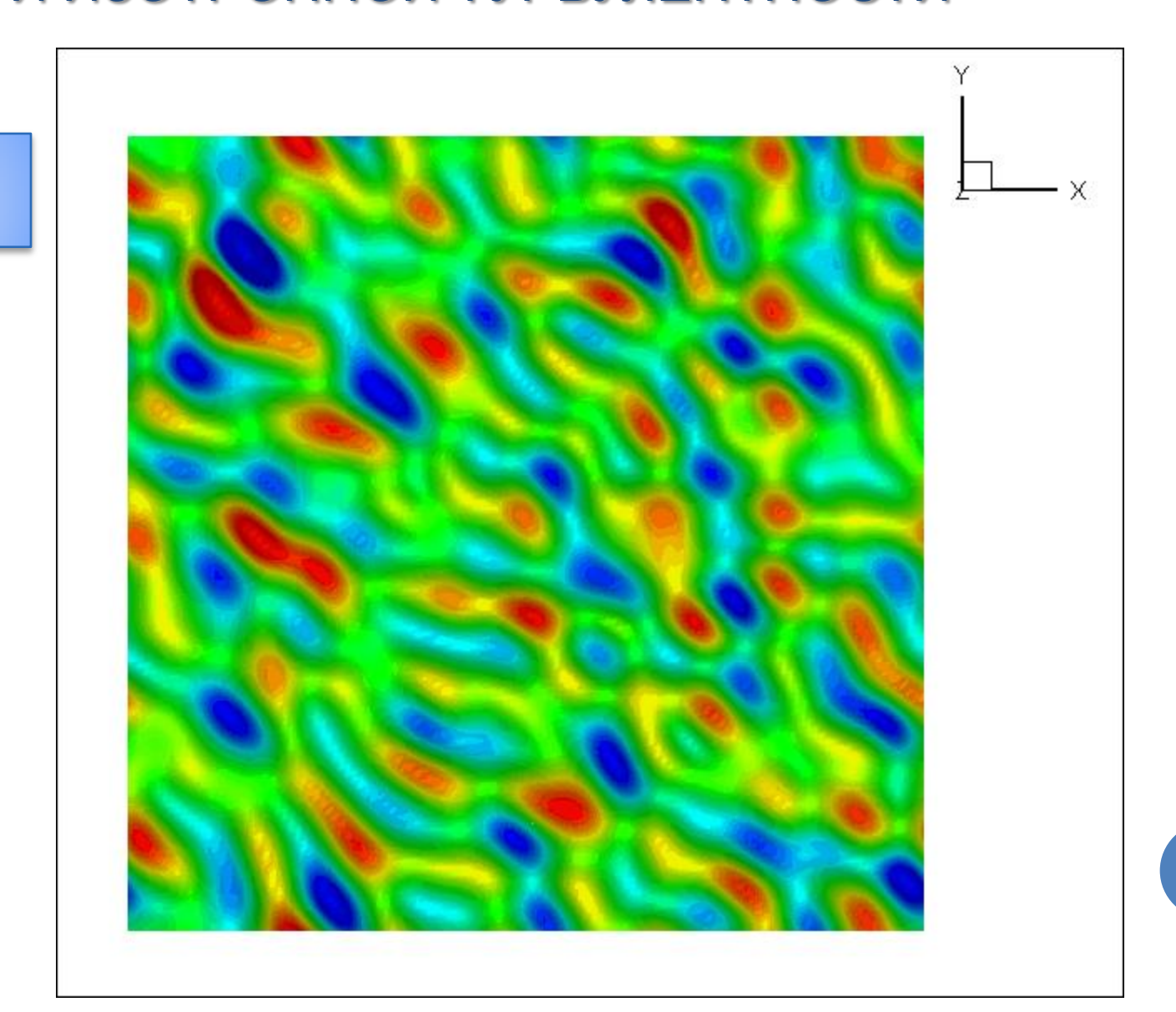
Сетка 128х128





МОДЕЛИРОВАНИЕ ЗАТУХАНИЯ ОДНОРОДНОЙ И ИЗОТРОПНОЙ ТУРБУЛЕНТНОСТИ

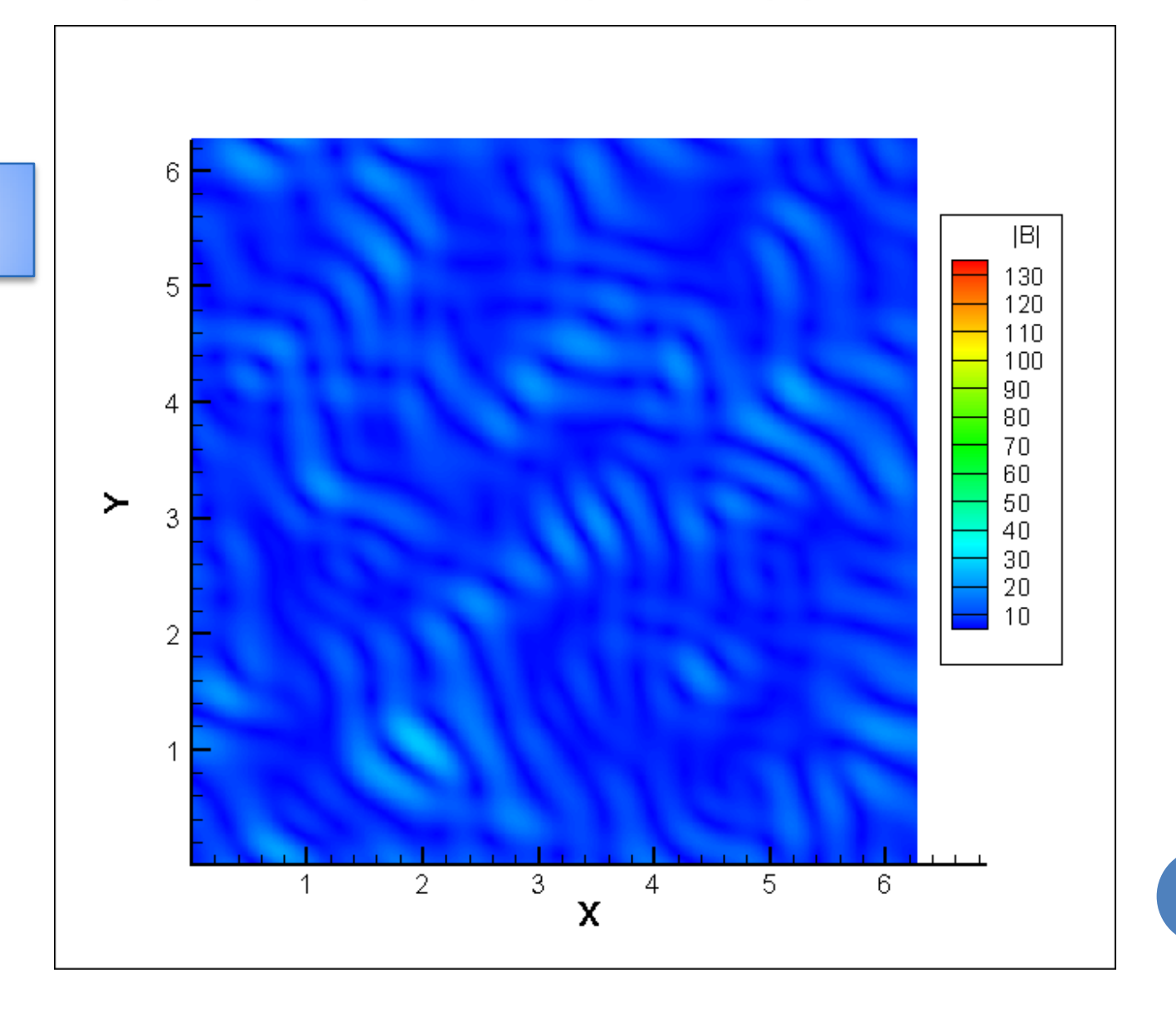
Сетка 128x128





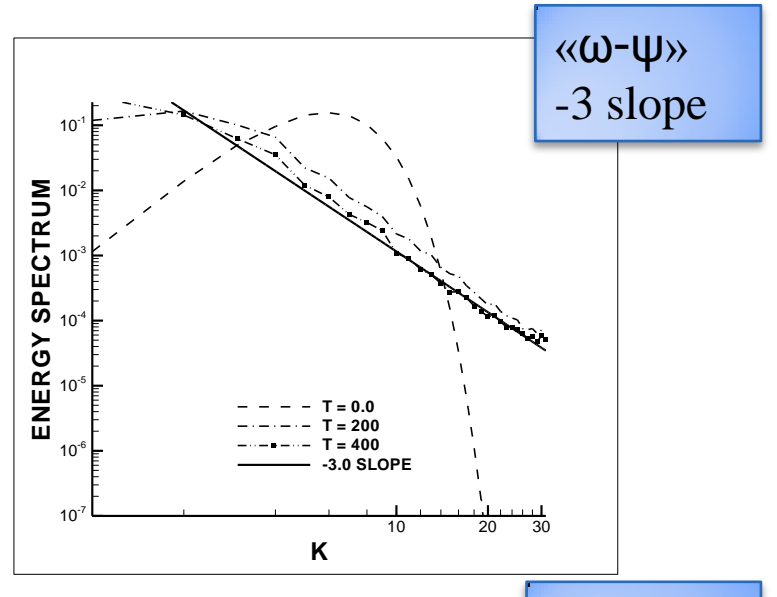
МОДЕЛИРОВАНИЕ ЗАТУХАНИЯ ОДНОРОДНОЙ И ИЗОТРОПНОЙ ТУРБУЛЕНТНОСТИ

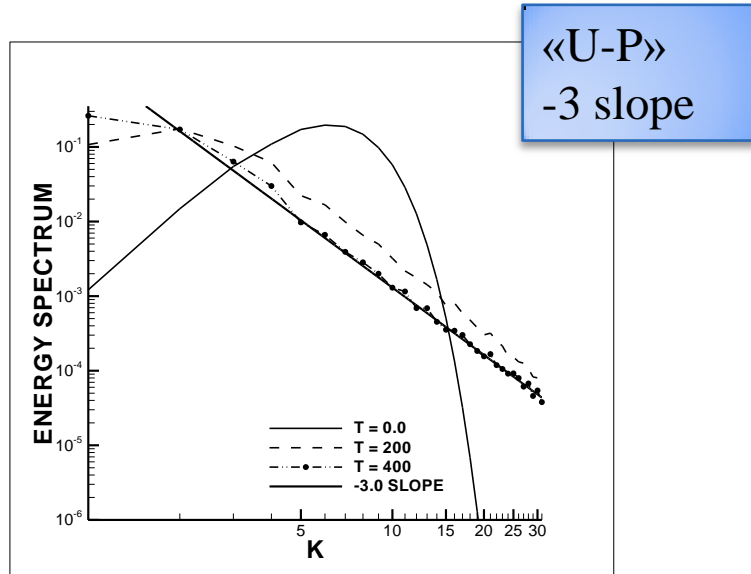
Сетка 512х512

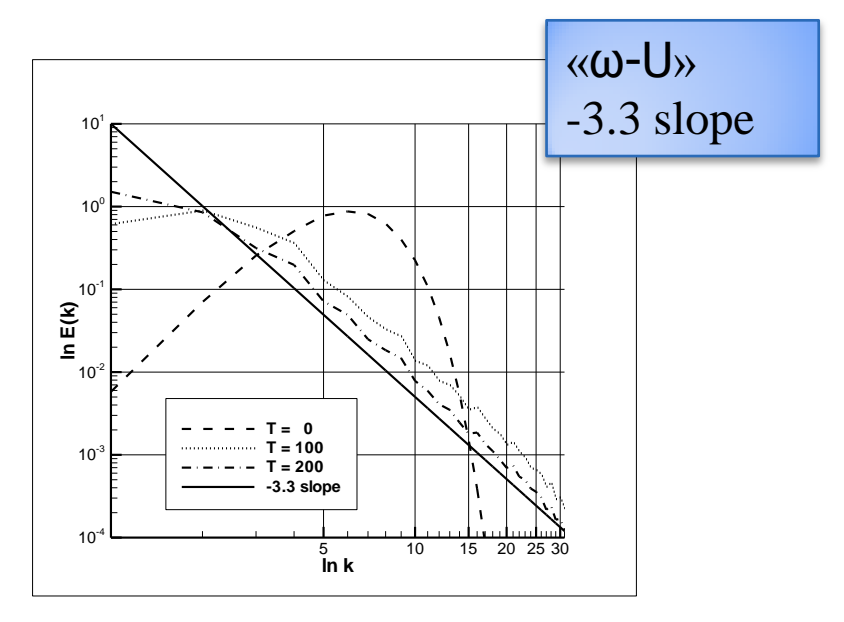


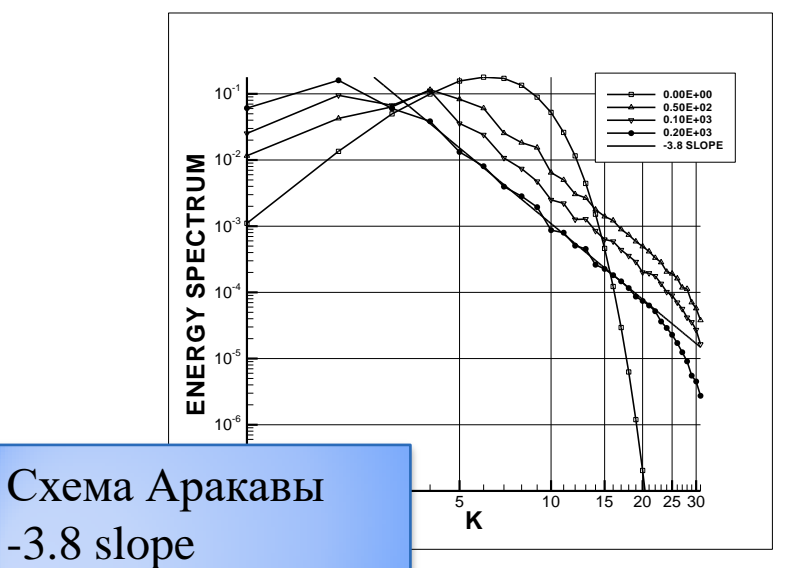


СПЕКТРЫ ЭНЕРГИИ ДЛЯ СХЕМ «КАБАРЕ» И АРАКАВЫ НА СЕТКЕ 64X64



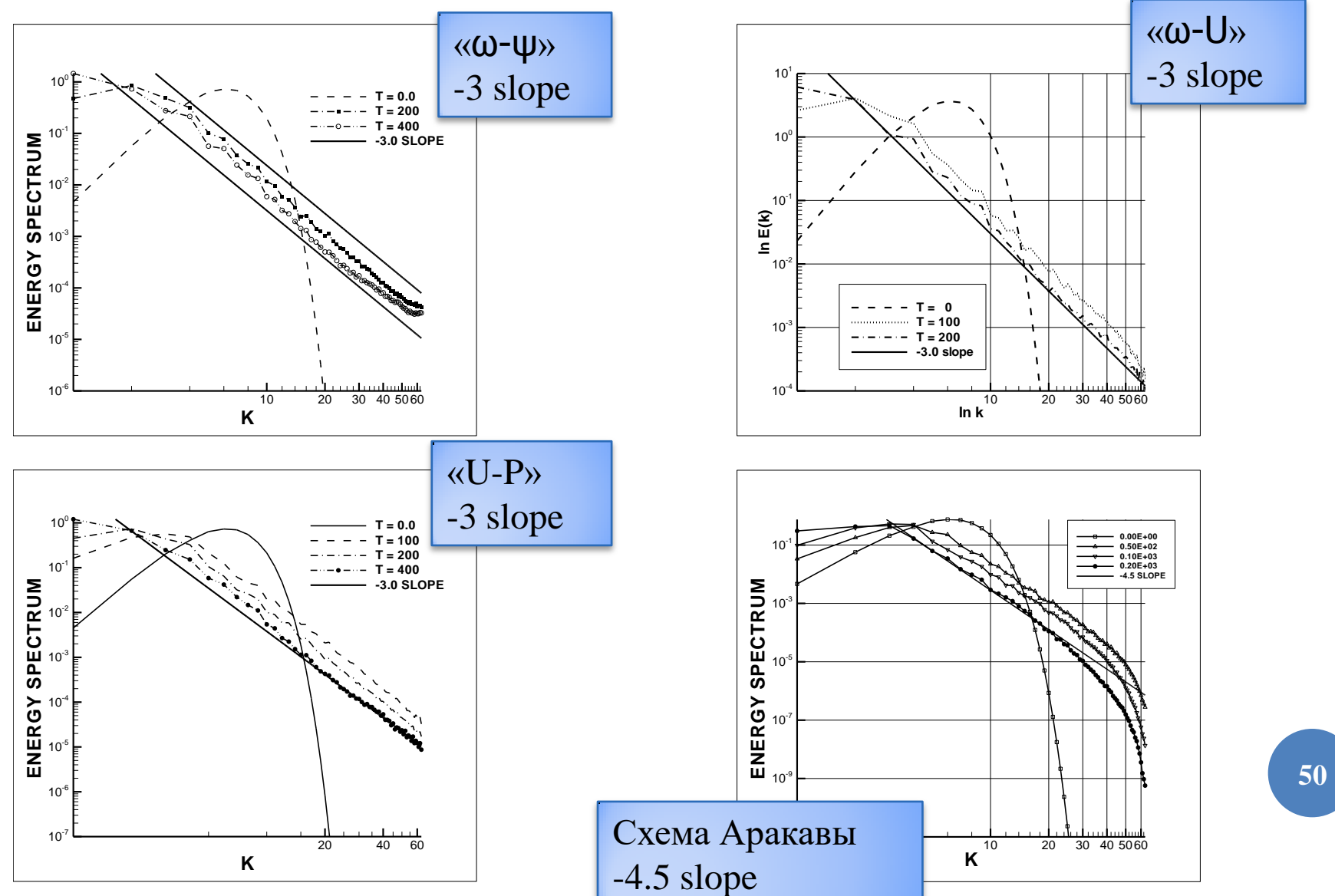








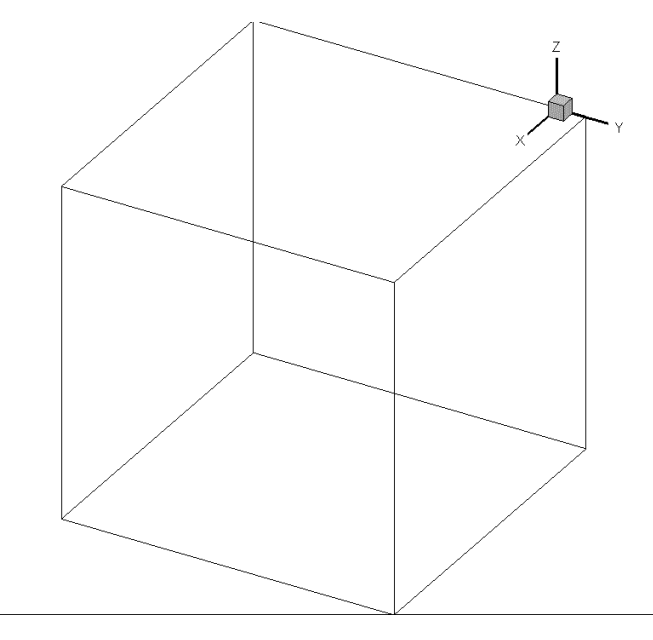
СПЕКТРЫ ЭНЕРГИИ ДЛЯ СХЕМ «КАБАРЕ» И АРАКАВЫ НА СЕТКЕ 128X128

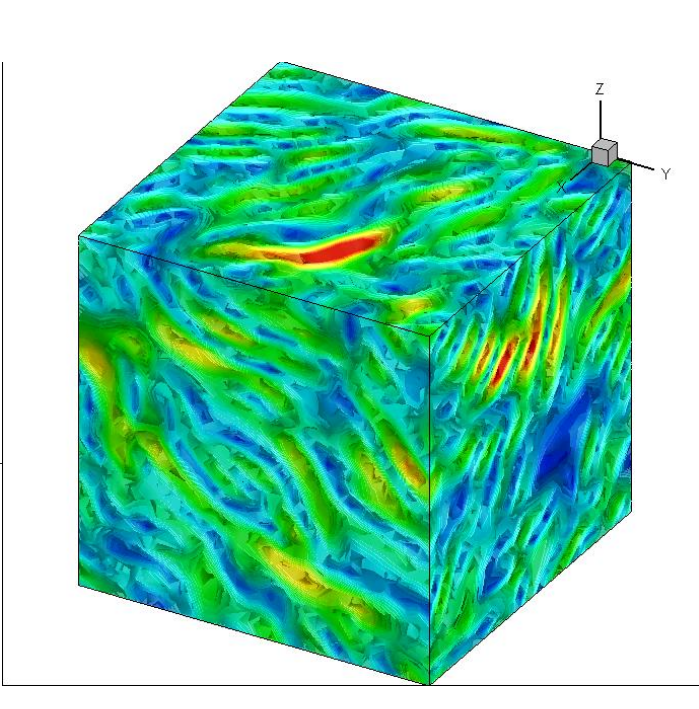




МОДЕЛИРОВАНИЕ ЗАТУХАНИЯ ОДНОРОДНОЙ ИЗОТРОПНОЙ ТУРБУЛЕНТНОСТИ

Сетка 64x64x64

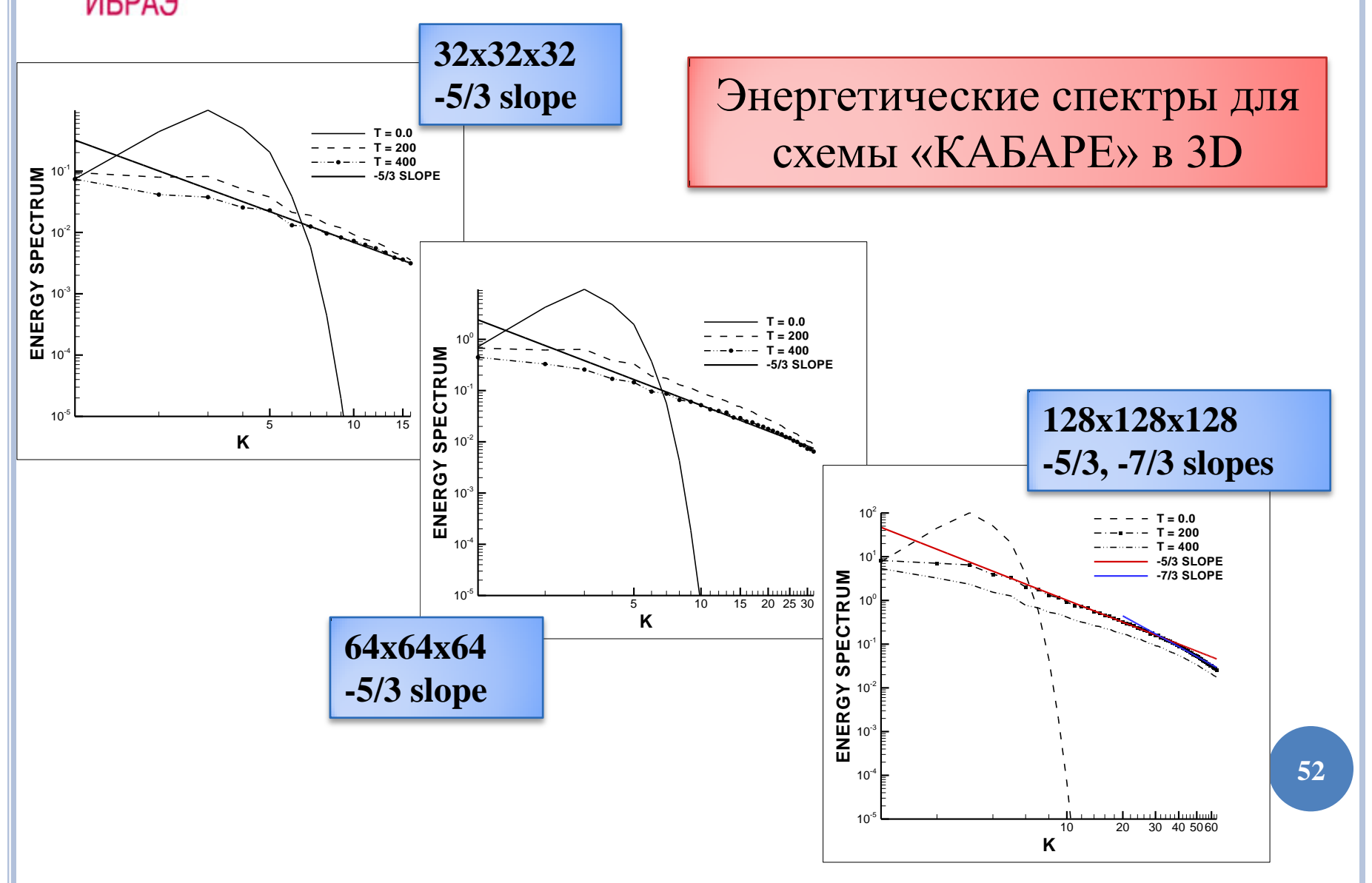




Изоповерхности поля модуля завихренности



МОДЕЛИРОВАНИЕ ЗАТУХАНИЯ ОДНОРОДНОЙ ИЗОТРОПНОЙ ТУРБУЛЕНТНОСТИ





СОДЕРЖАНИЕ



Турбулентность морских течений



Статистическое описание турбулентности



Спектры турбулентных течений



Идеальный вихреразрешающий алгоритм (Perfect LES)



Схема КАБАРЕ



Расчеты с полным разрешением спектра



Расчеты с неполным разрешением спектра



Многокомпонентные течения и мелкая вода



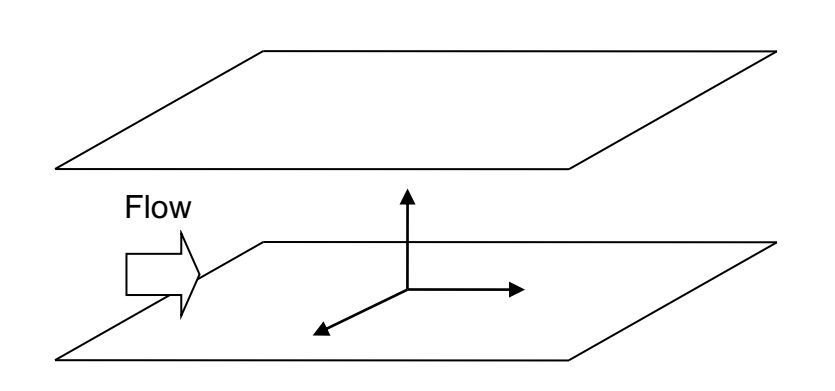
РОССИЙСКАЯ АКАДЕМИЯ НАУК

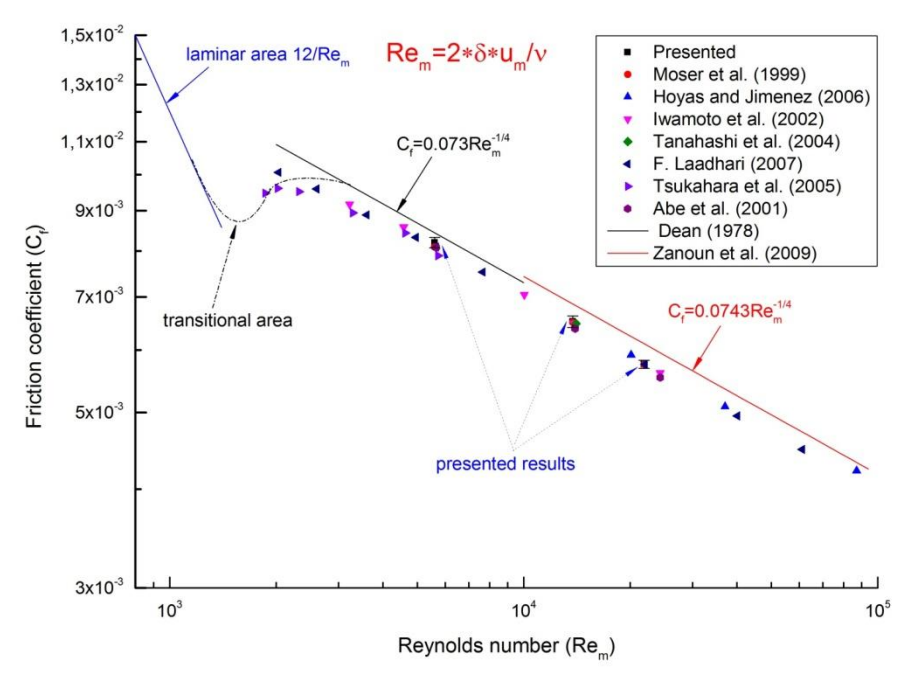
Институт проблем безопасного развития атомной энергетики

ПРЯМОЕ ЧИСЛЕННОЕ МОДЕЛИРОВАНИЕ ПРИСТЕННОЙ ТУРБУЛЕНТНОСТИ

ИБРАЭ

- 1. Моделируется течение между двумя плоскими бесконечными пластинами для получения осредненных характеристик пристенного турбулентного течения
- 2. Направление течения вдоль оси X, вдоль этого направления каждый шаг по времени проводится корректировка расхода. По направлениям X, Z заданы периодические условия на скорость и давление
- з. На верхней и нижней горизонтальной плоскости задаются условия прилипания
- Расчет проводится при трех числах Рейнольдса $Re_m = 5600$, 13760, 21900, чтобы сравниться с DNS расчетами Moser/Kim/Moin (1987 1999)
- 5. Сетка ортогональная 512 x 256 x 256 ячеек, используется сгущение сетки вблизи стенок для учета особенностей течения в пограничном слое. Размеры области $4\pi\delta$ x 2δ x $2\pi\delta$ (δ полувысота канала) для $Re_m = 5600$, и $2\pi\delta$ x 2δ x $\pi\delta$ для $Re_m = 13760$, 21900



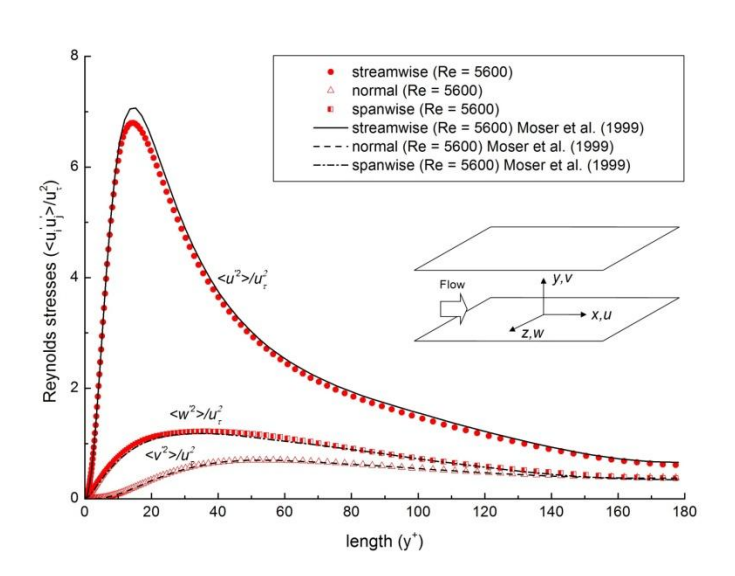


Зависимость коэффициента сопротивления от числа Рейнольдса

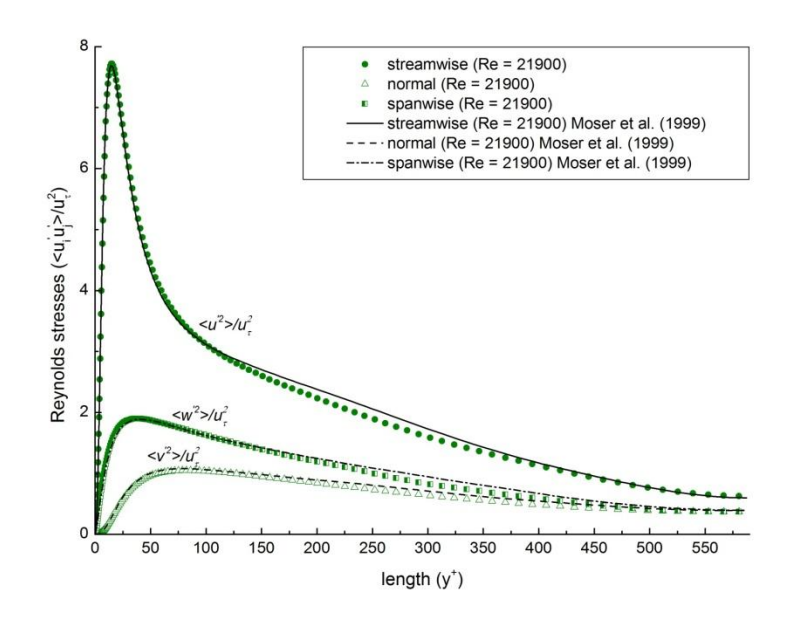


ПРЯМОЕ ЧИСЛЕННОЕ МОДЕЛИРОВАНИЕ ПРИСТЕННОЙ ТУРБУЛЕНТНОСТИ

Компоненты тензора турбулентных напряжений Rem = 5600



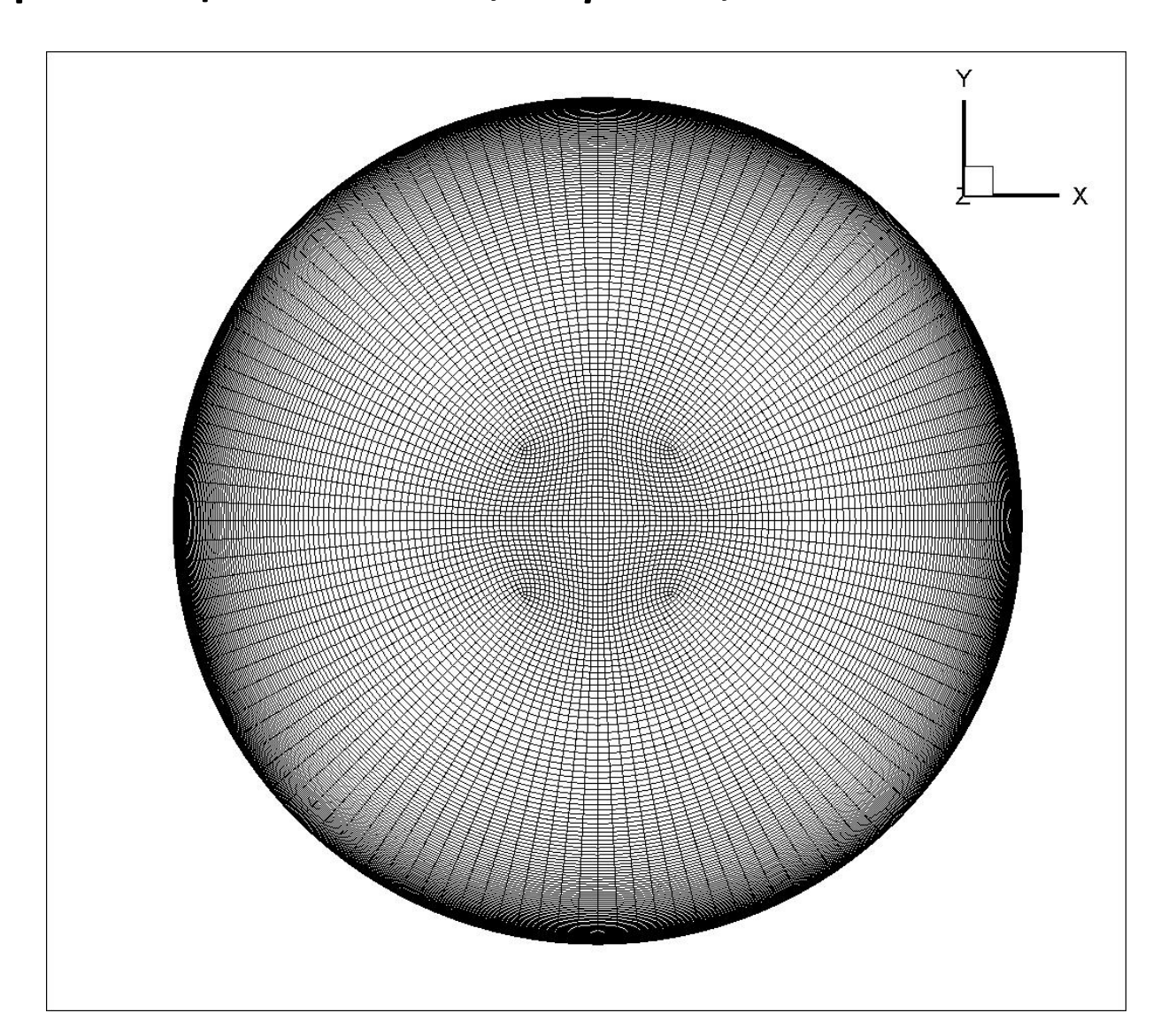
Компоненты тензора турбулентных напряжений Rem = 21900



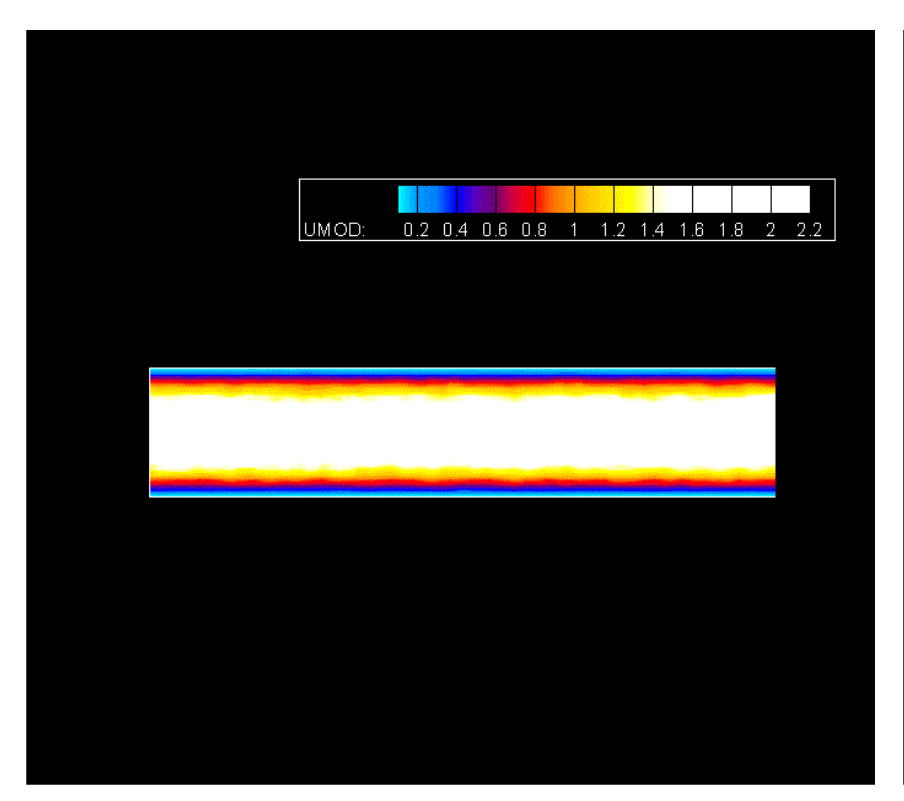
Результаты расчетов сравнивались с Moser et al. 1999 и показали хорошее совпадение в пристенной области. Отличие наблюдается в только области турбулентного ядра. Полученные коэффициенты сопротивления более близки к экспериментальным данным.

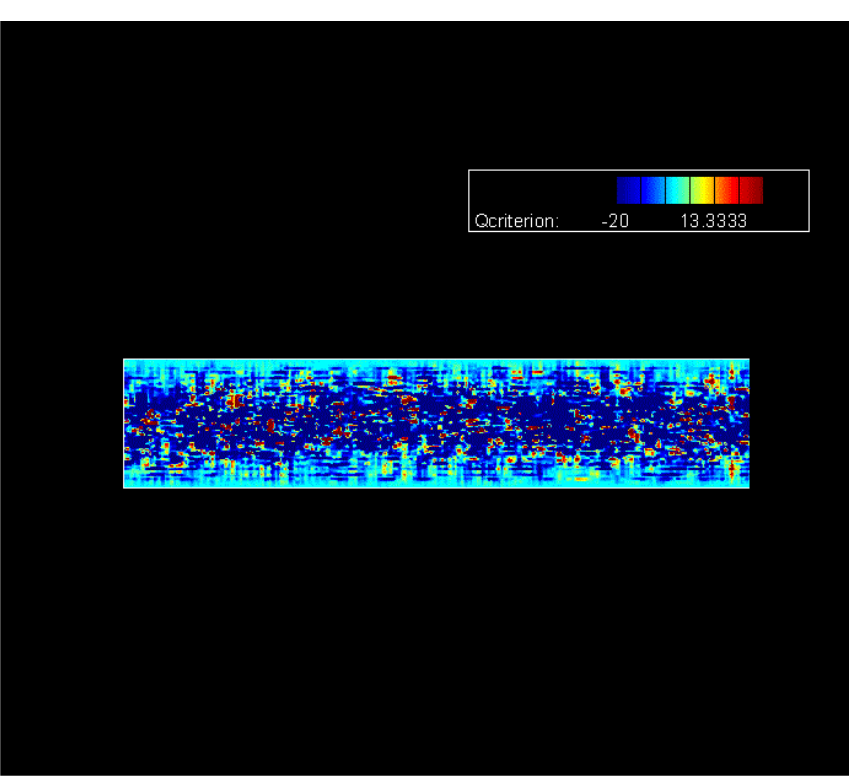
Течение в трубе при числе Рейнольдса 5300

Сетка (3.75 млн. ячеек; в центре $\Delta r^+=3$, $\Delta \phi^+=3$; на границе $\Delta r^+=0.3$, $\Delta \phi^+=8$; по оси Z - $\Delta z^+=7$)



Течение в сечении трубы

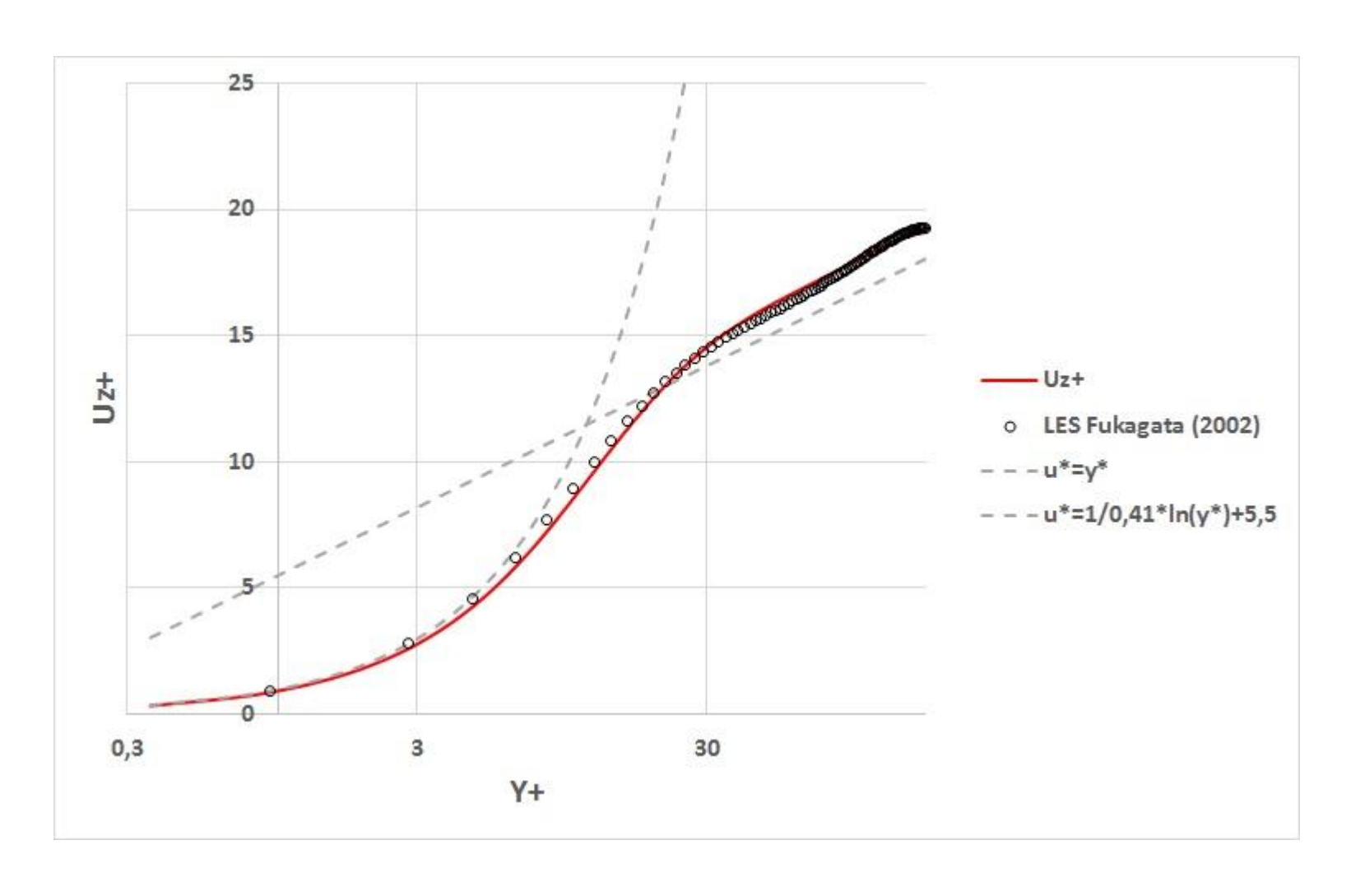




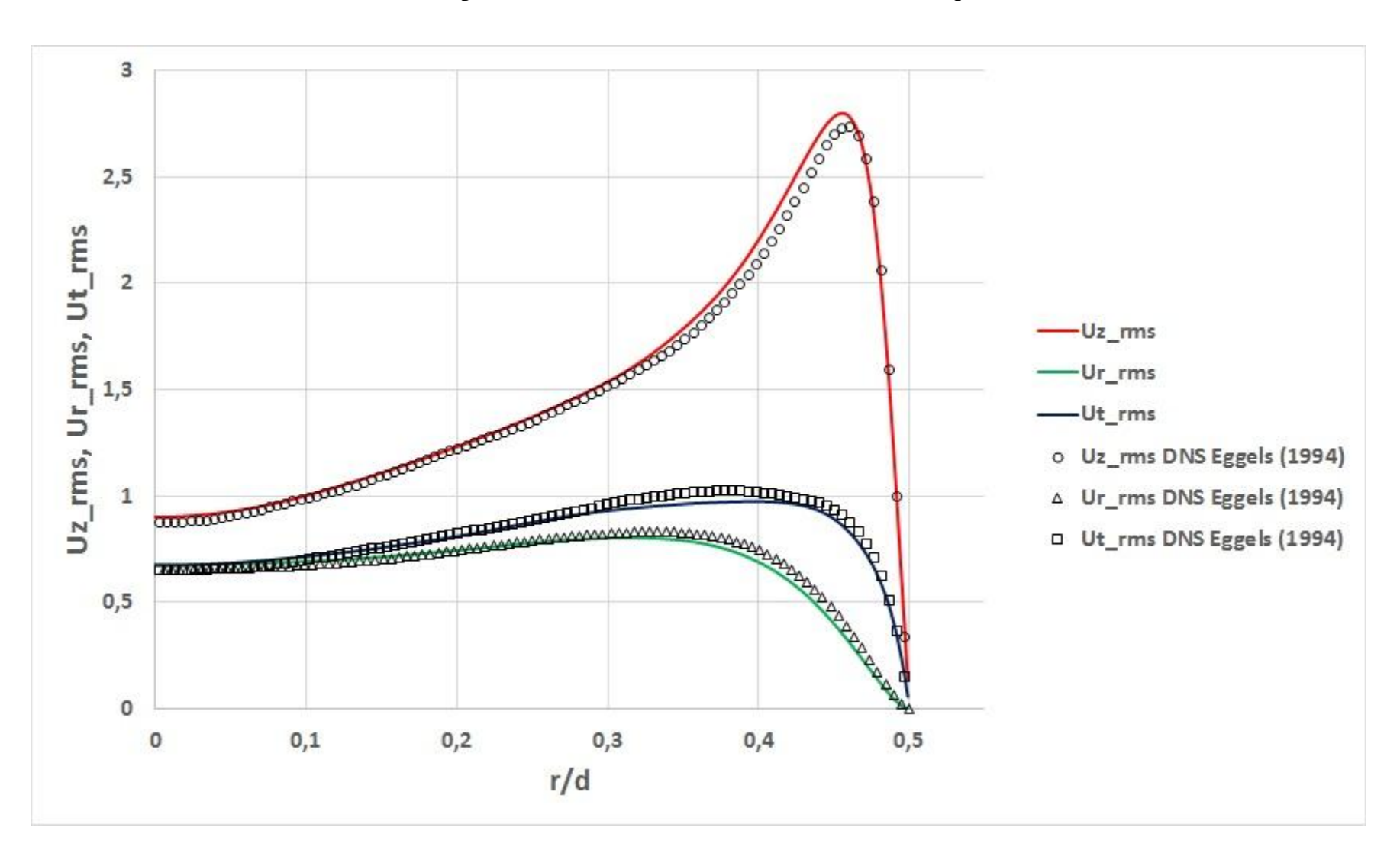
Модуль скорости

Qcriterion

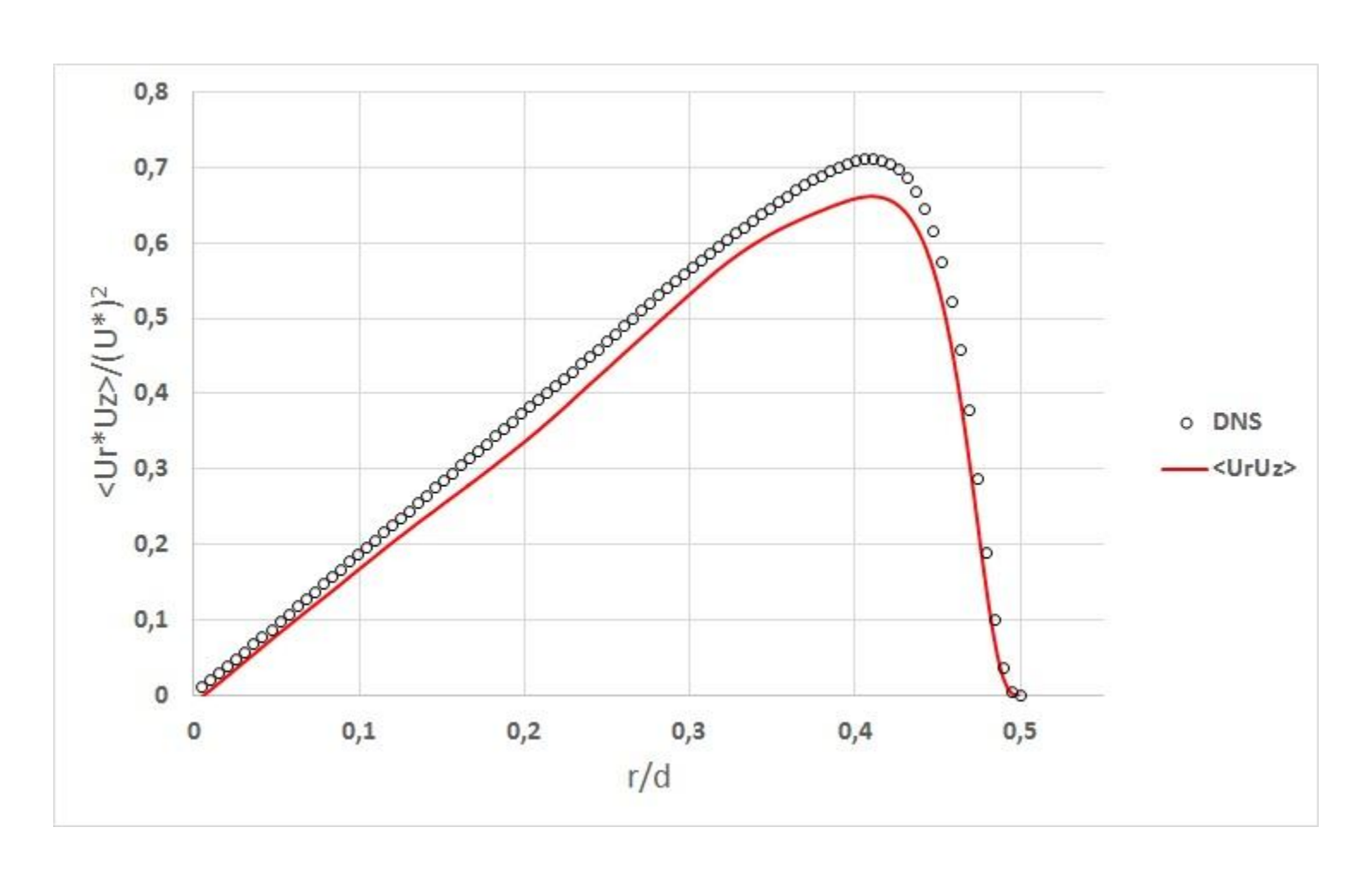
Профиль скорости



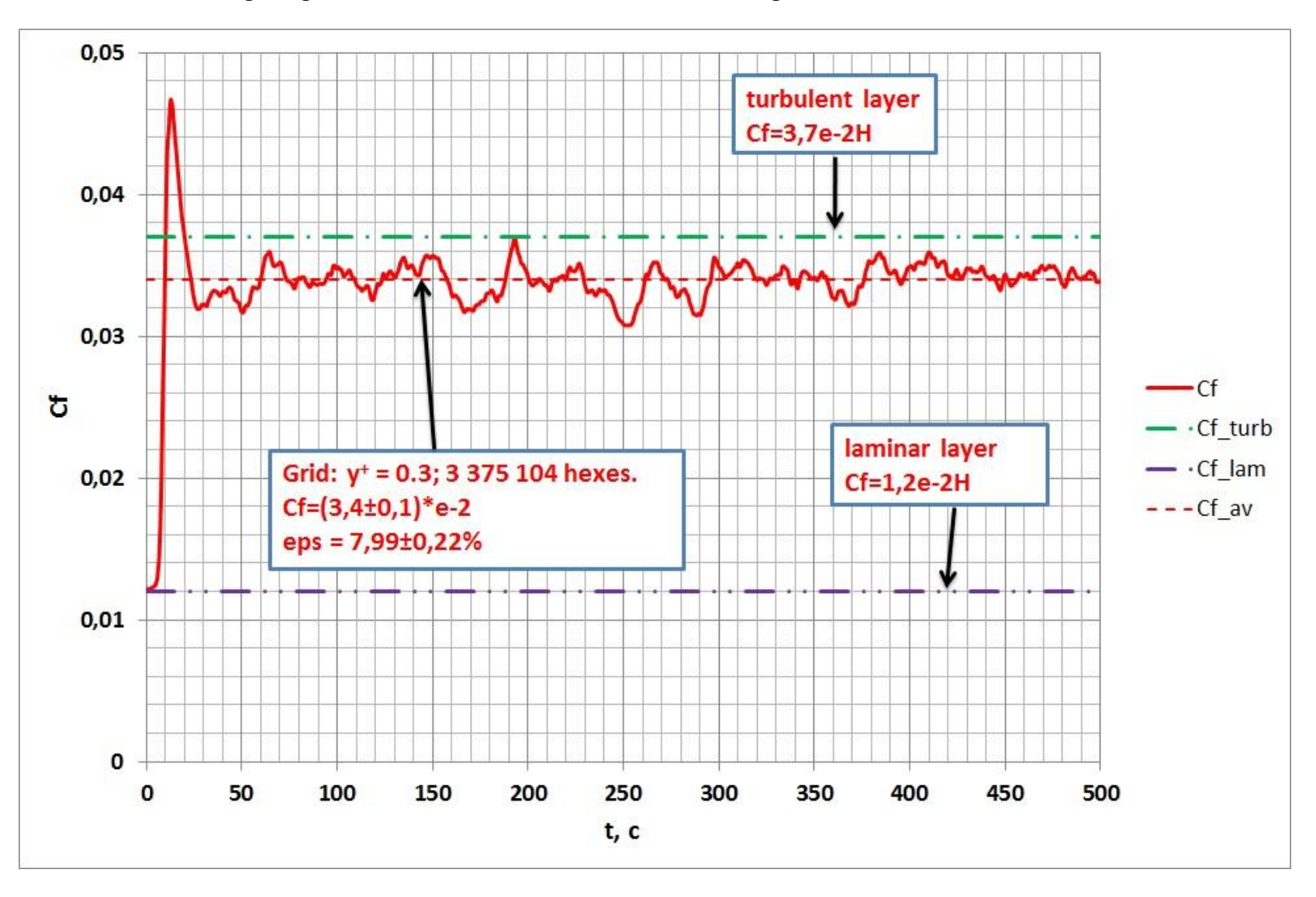
RMS пульсаций скоростей



Турбулентные напряжения $\tau = \langle Ur \cdot Uz \rangle$



Коэффициент сопротивления





СОДЕРЖАНИЕ



Турбулентность морских течений



Статистическое описание турбулентности



Спектры турбулентных течений



Идеальный вихреразрешающий алгоритм (Perfect LES)



Схема КАБАРЕ



Расчеты с полным разрешением спектра



Расчеты с неполным разрешением спектра



Многокомпонентные течения и мелкая вода



Свободная конвекция. Современные методики моделирования

Parameter-free symmetry-preserving regularization modeling of a turbulent differentially heated cavity

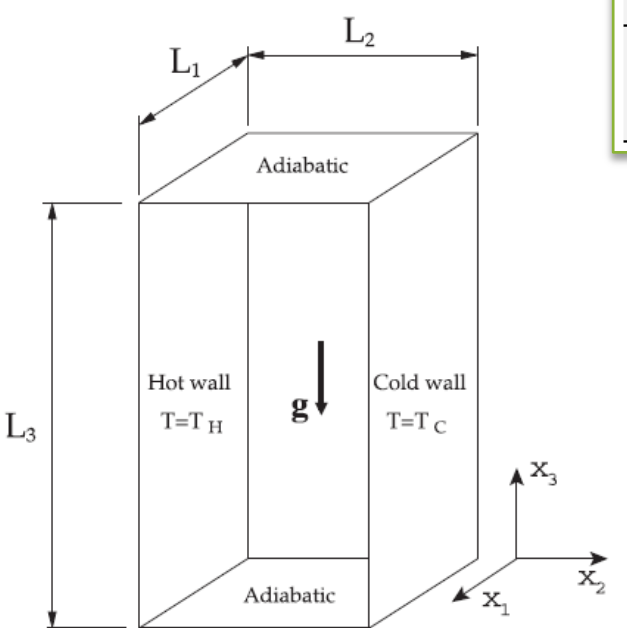
F.X. Trias a,b,*, R.W.C.P. Verstappenb, A. Gorobets A, M. Soria A, A. Oliva

^a Centre Tecnològic de Transferència de Calor, Technical University of Catalonia, ETSEIAT c/Colom 11, 08222 Terrassa, Spain

b Institute of Mathematics and Computing Science, University of Groningen, P.O. Box 407, 9700 AK Groningen, The Netherlands

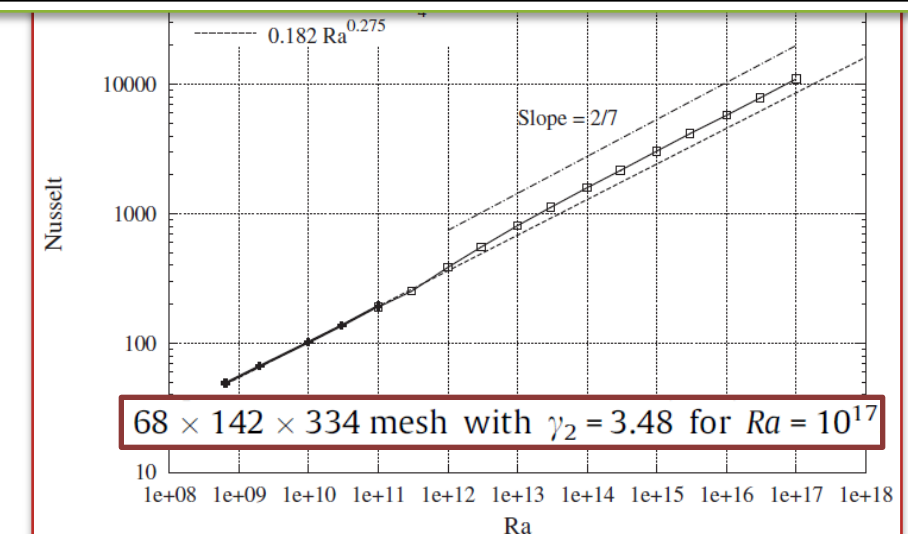
$$\partial_t u + \mathscr{C}(u, u) = PrRa^{-1/2}\Delta u - \nabla p + f,$$

 $\partial_t T + \mathscr{C}(u, T) = Ra^{-1/2}\Delta T,$



$Ra = 10^{10}$:

Mesh	DNS $128\times190\times462$	$\begin{array}{c} RM1 \\ 16 \times 34 \ \times 80 \end{array}$		$\begin{array}{c} \text{RM2} \\ 8\times17\times40 \end{array}$	
		No model	\mathscr{C}_4	No model	\mathscr{C}_4
Nu	101.94	121.93	100.81	128.14	102.17
Nu_{max}	454.86	437.78	451.12	342.02	459.59
Nu _{min}	8.50	10.92	10.18	27.77	7.03

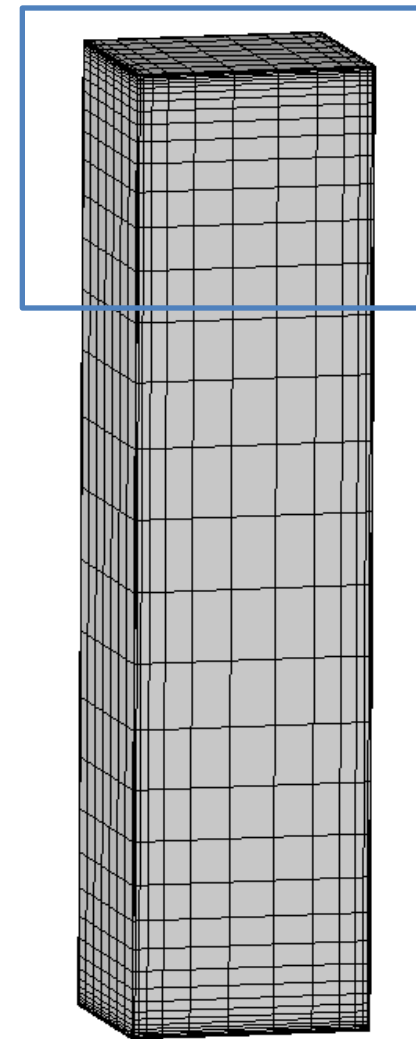




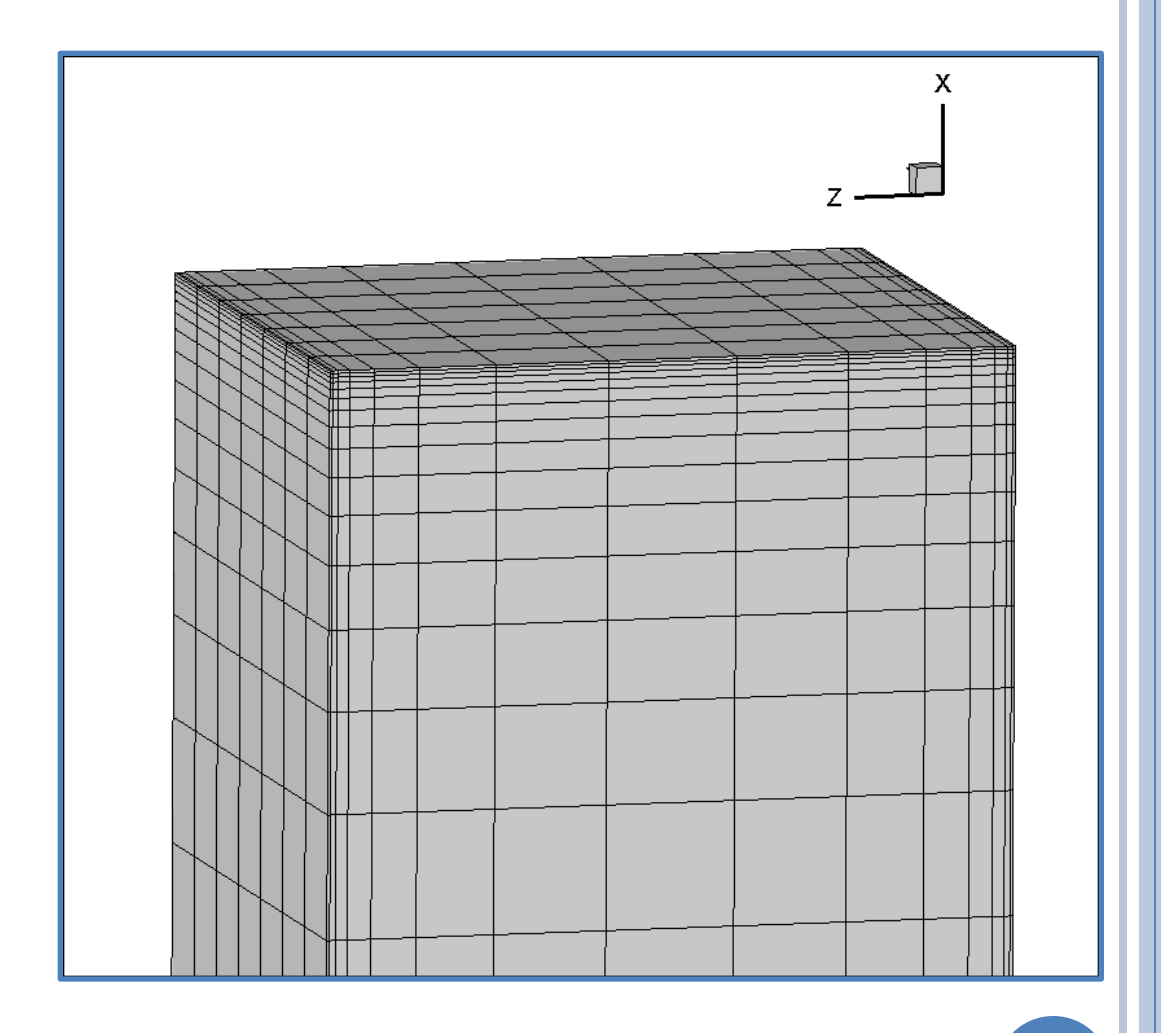
Вертикальный слой. Сетка

ИБРАЭ

$$H/L=4$$





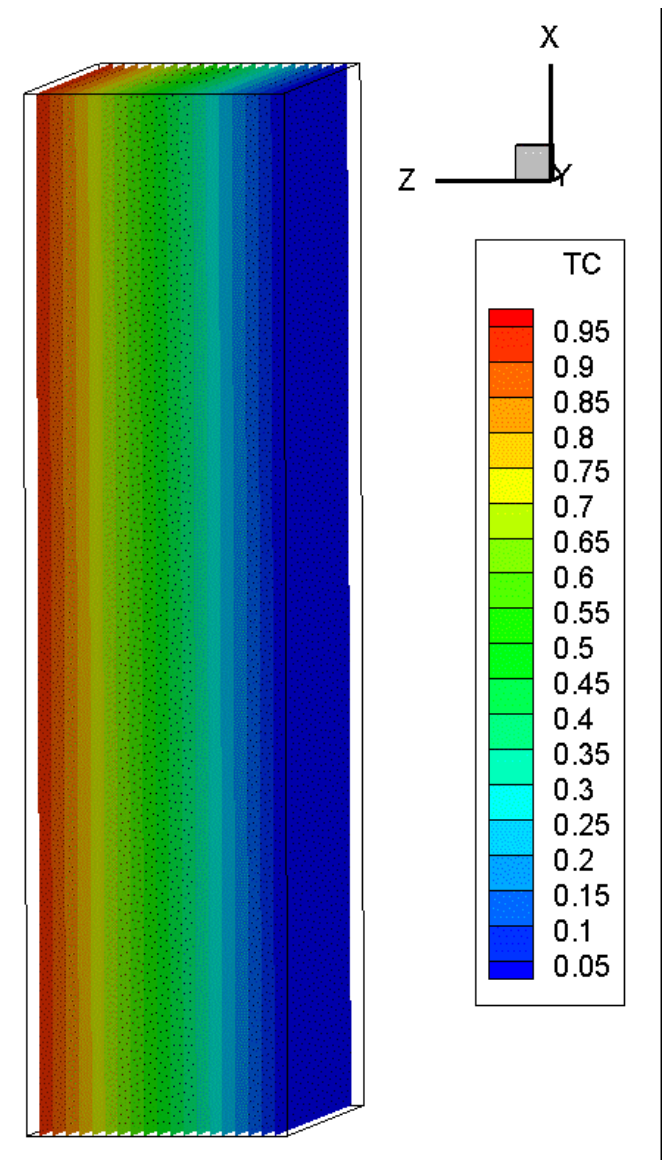


Сетка:

40 x 8 x 16 = 5120 ячеек

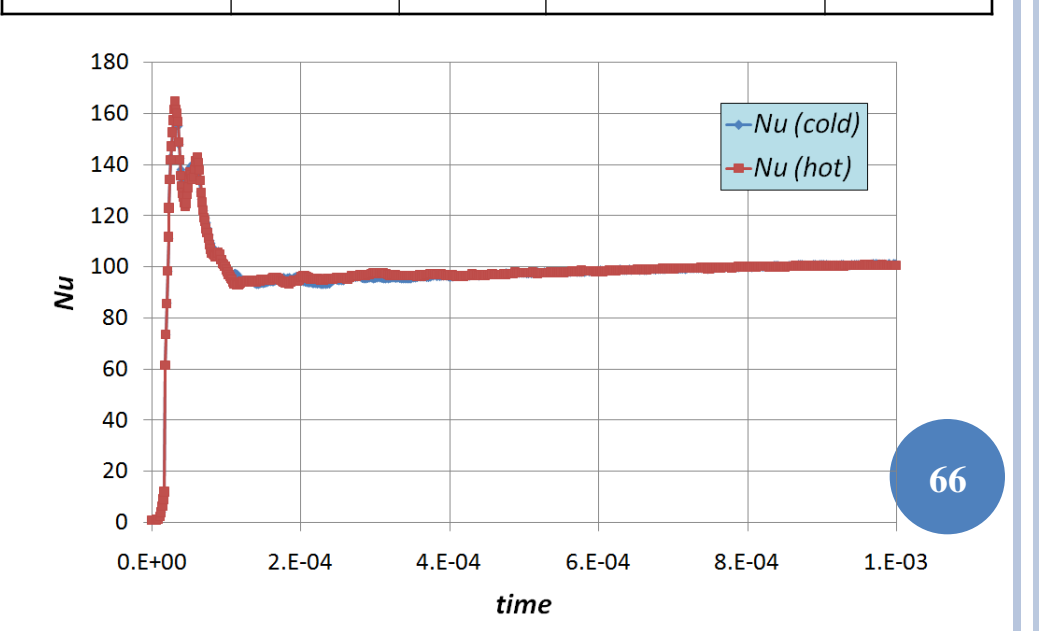


Вертикальный слой (H/L = 4). Пример расчета при $Ra = 10^{10}$



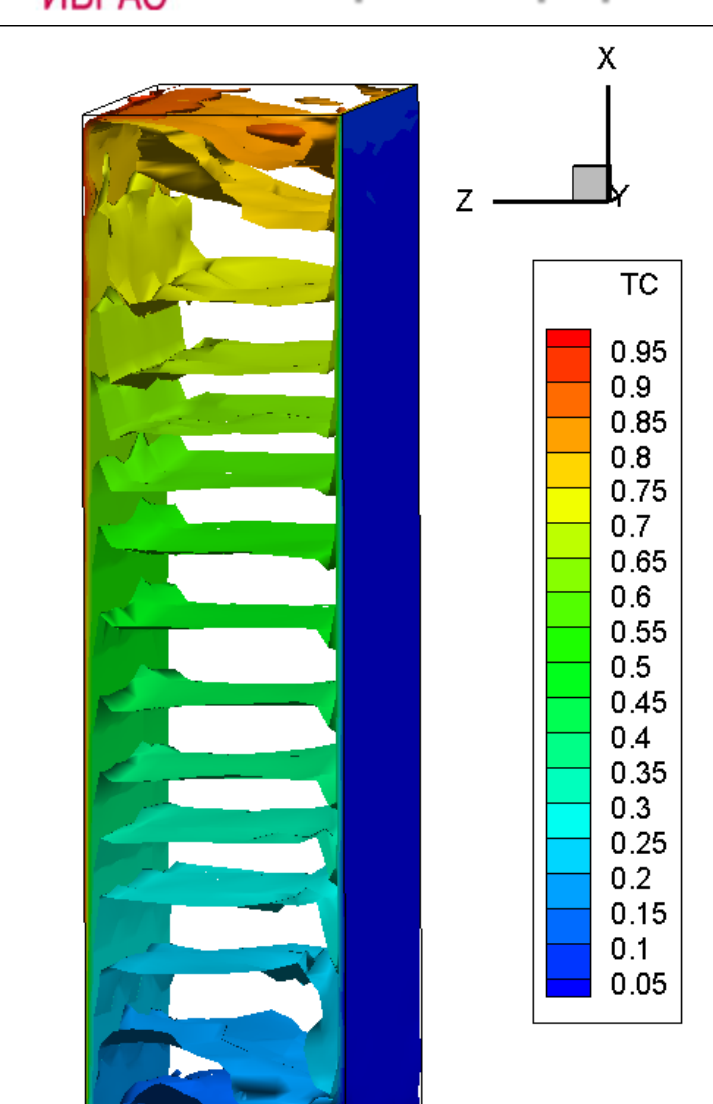
Средние числа **Nu**:

F.X. Trias et al.				CABARET	
DNS	RM1	RM2	0.182*Ra^0.275	CADARET	
128 x 190 x	16 x 34 x	_		8 x 16 x	
462	80	40		40	





Вертикальный слой (H/L = 4). Пример расчета при $Ra = 10^{10}$



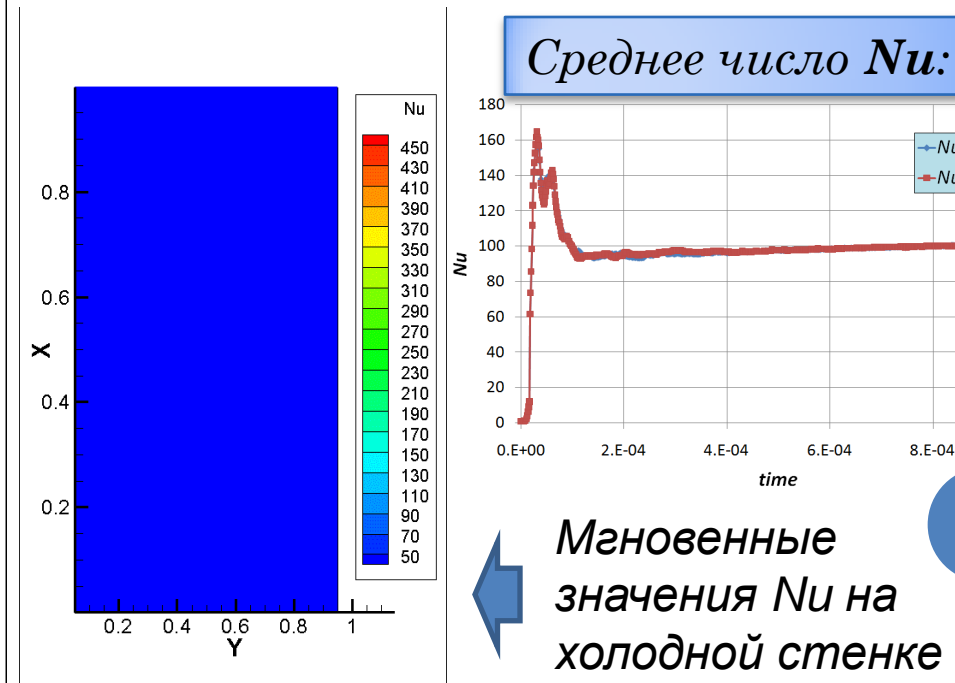
F.X. Trias et al.				CABARET	
DNS	RM1	RM2	0.182*Ra^0.275	CABARET	
128 x 190 x 462	16 x 34 x 80	8 x 17 x 40		8 x 16 x	
402	80	40		40	

→Nu (cold)

Nu (hot)

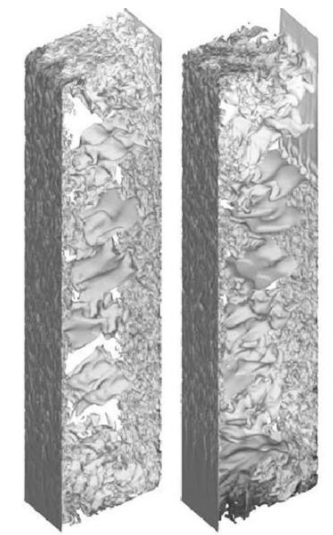
8.E-04

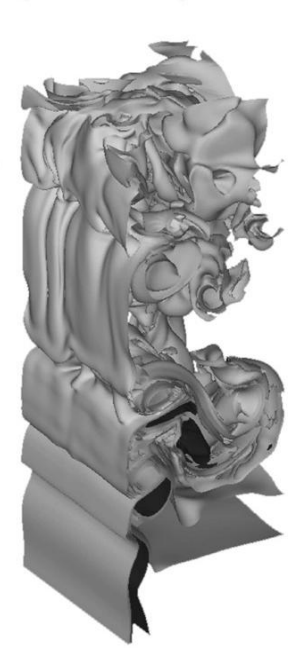
67

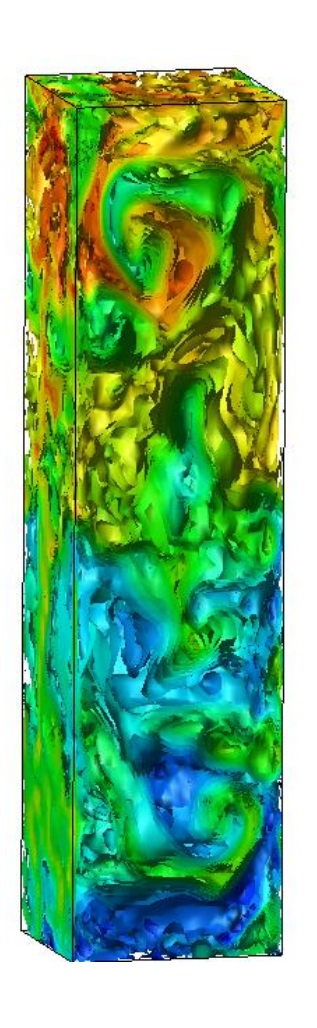




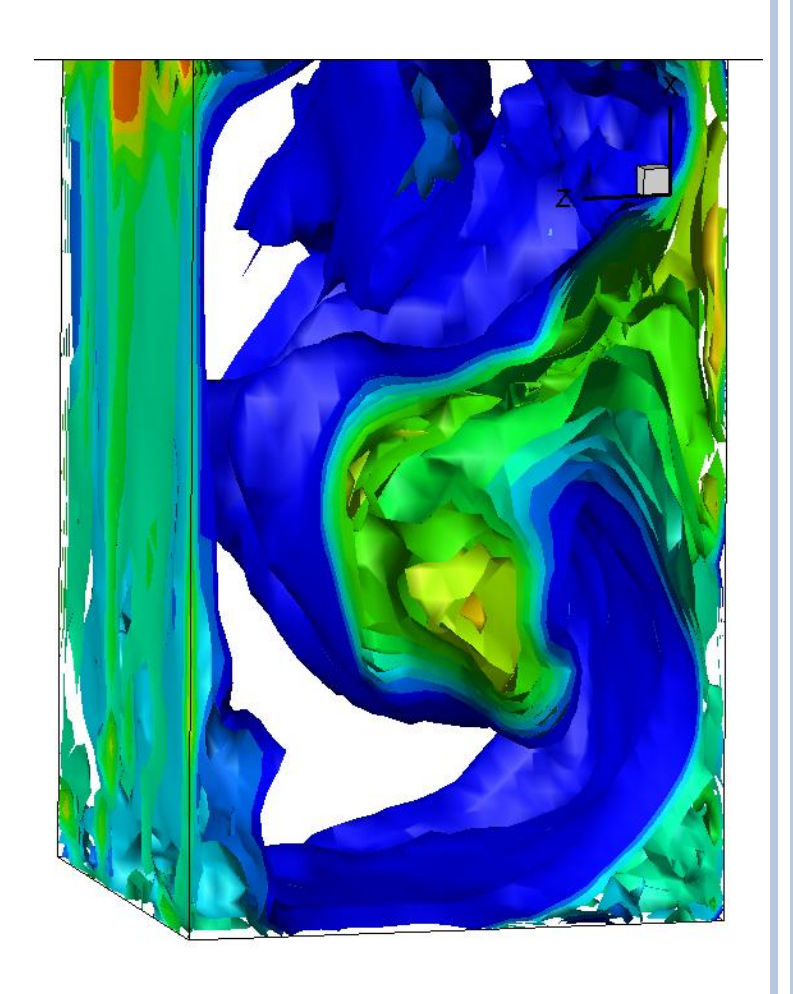
Вертикальный слой 1 (H/L = 4). Изоповерхности темп-ры при Ra = 10¹⁰





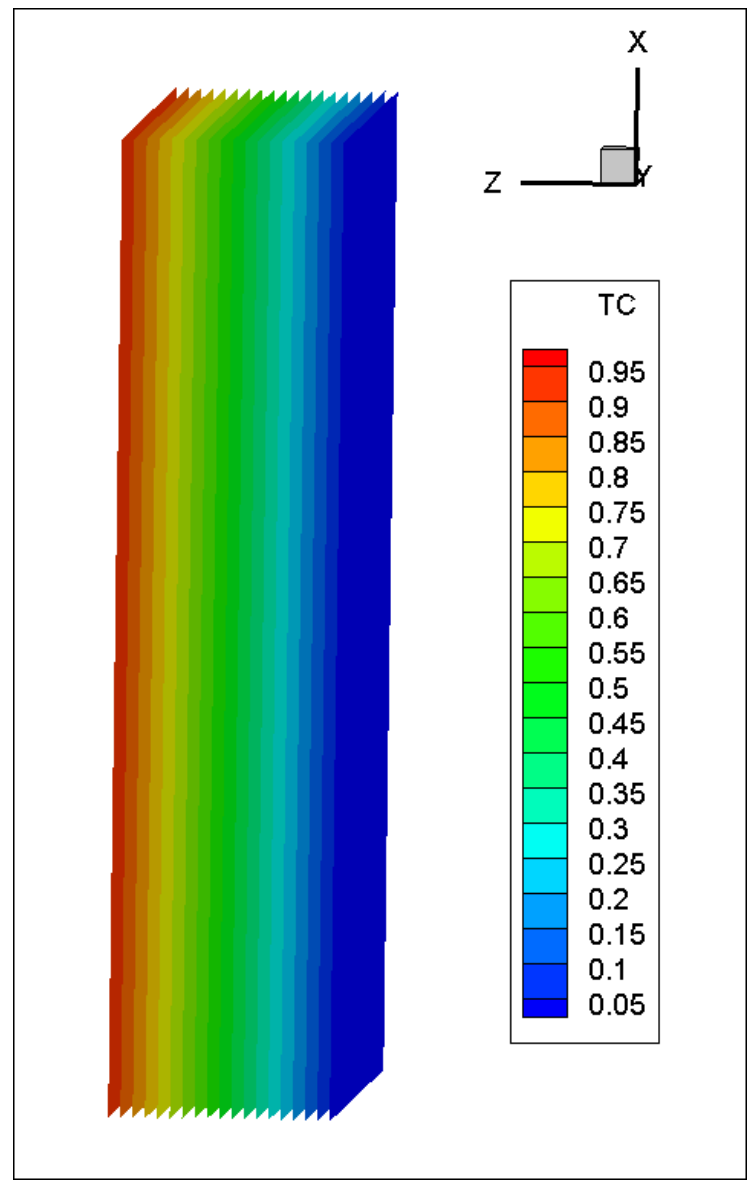






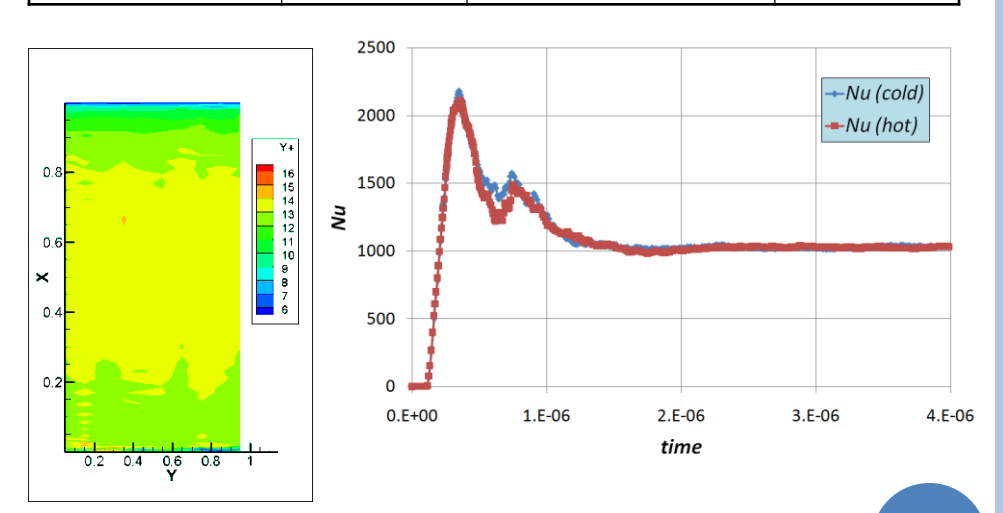


Вертикальный слой (H/L = 4). Пример расчета при $Ra = 10^{14}$



Средние числа **Nu**:

F.X. Trias et al.		0.182*Ra^0.275	CARARET	
DNS	RM1	U.182 · KU^U.275	CABARET	
-	~1500	1288	1030	



Распределение y^+ по холодной стенке



СОДЕРЖАНИЕ



Турбулентность морских течений



Статистическое описание турбулентности



Спектры турбулентных течений



Идеальный вихреразрешающий алгоритм (Perfect LES)



Схема КАБАРЕ



Расчеты с полным разрешением спектра



Расчеты с неполным разрешением спектра

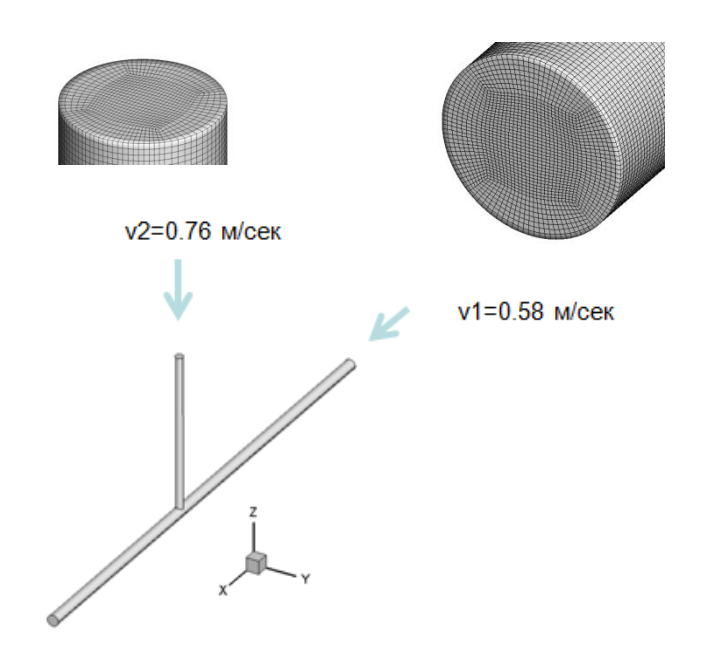


Многокомпонентные течения и мелкая вода

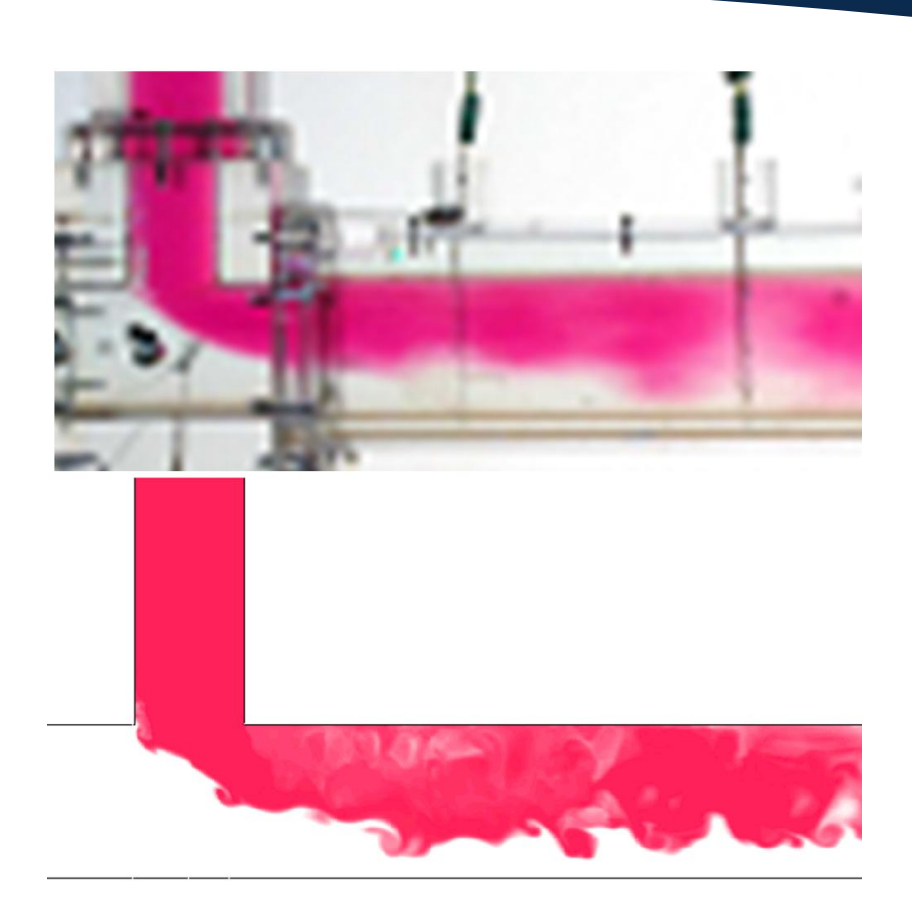
МОДЕЛИРОВАНИЕ ТЕЧЕНИЯ В ТРОЙНИКЕ

Международный слепой тест Re=85 000; 29 участников

Расчеты по схеме КАБАРЕ без использования моделей турбулентности



Число ячеек: 3198595

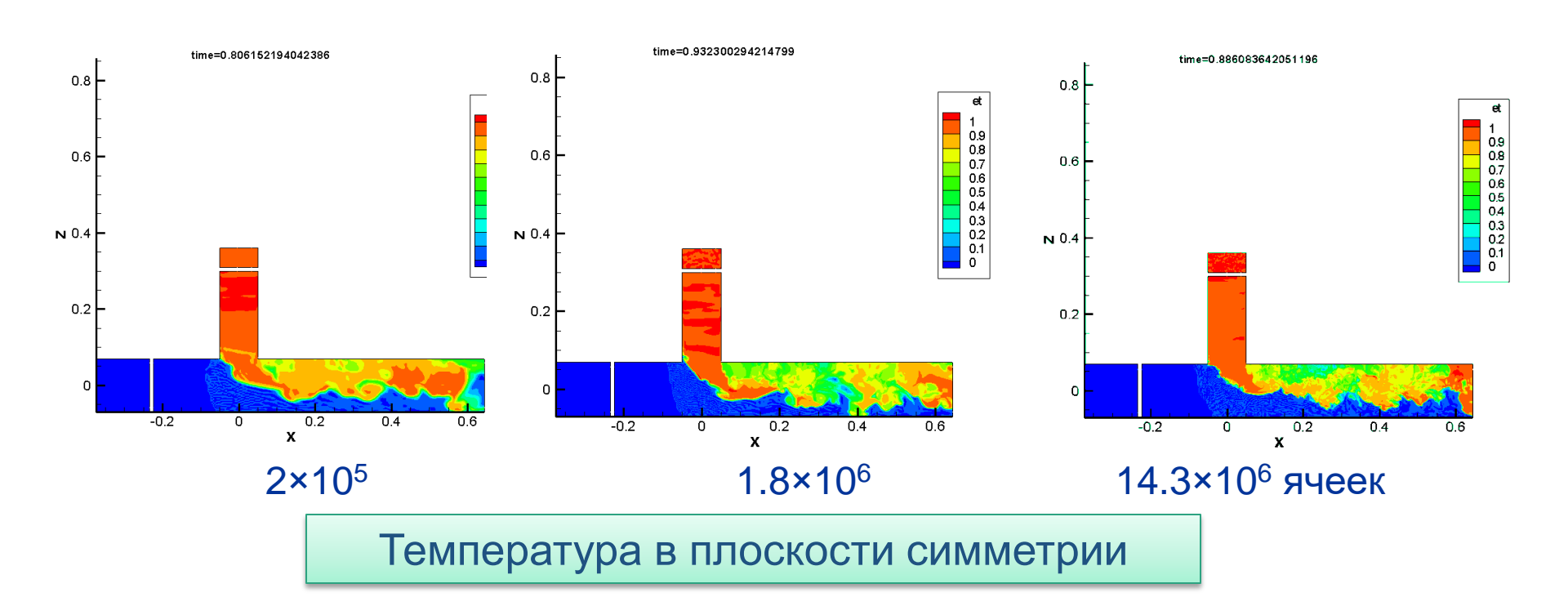


Подача горячей воды из верхнего патрубка (фото эксперимента и картина расчета в плоскости симметрии)

СРАВНЕНИЕ РЕЗУЛЬТАТОВ НА РАЗЛИЧНЫХ СЕТКАХ (УВЕЛИЧЕНИЕ ЧИСЛА ЯЧЕЕК БОЛЕЕ ЧЕМ В 64 РАЗА)

Международный слепой код «T-Junction»

Установлена сходимость результатов при измельчении сетки. Начиная с двух миллионов ячеек статистические характеристики пульсаций перестают изменяться.

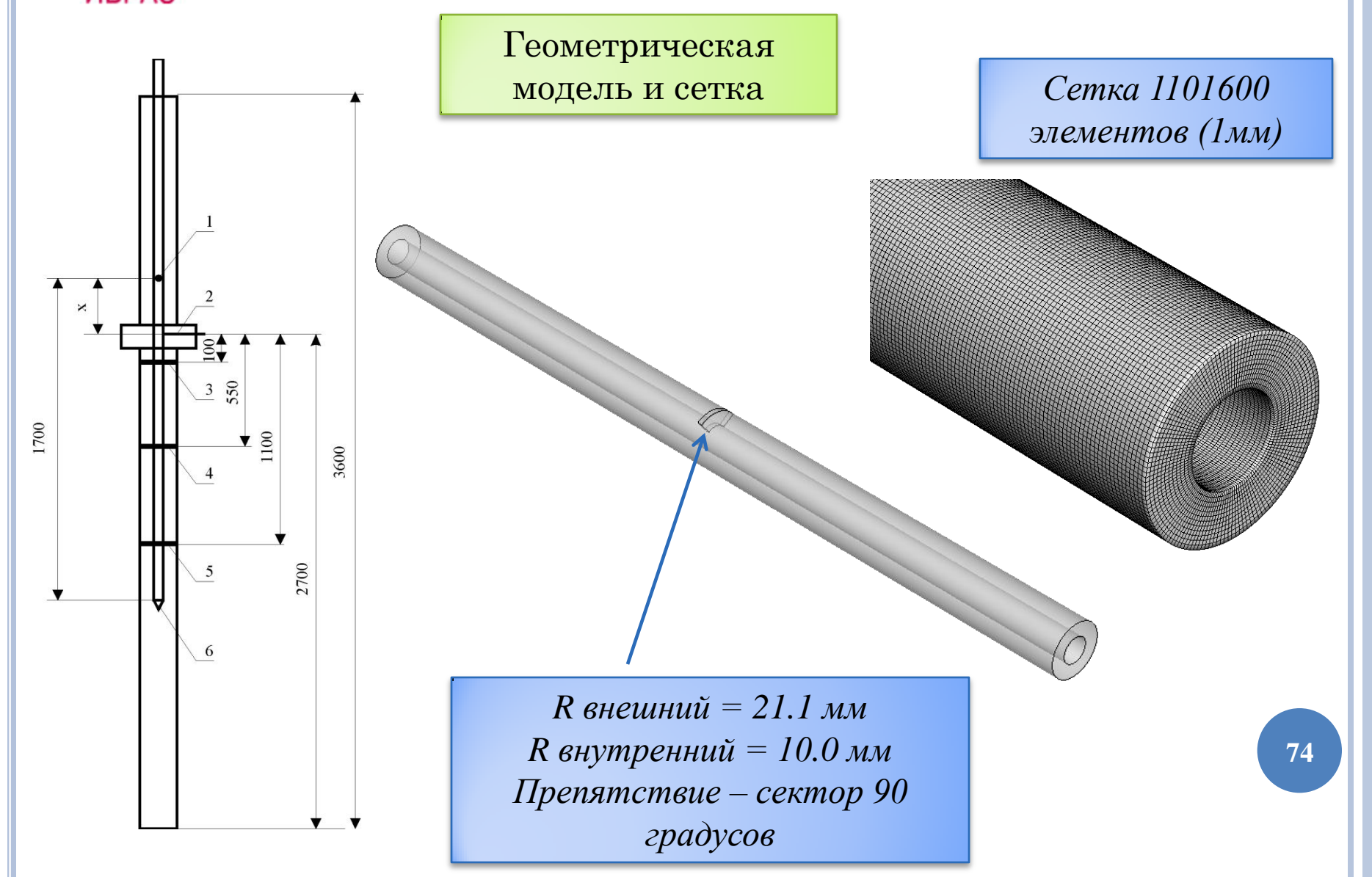


АНИМАЦИЯ ТЕМПЕРАТУРЫ

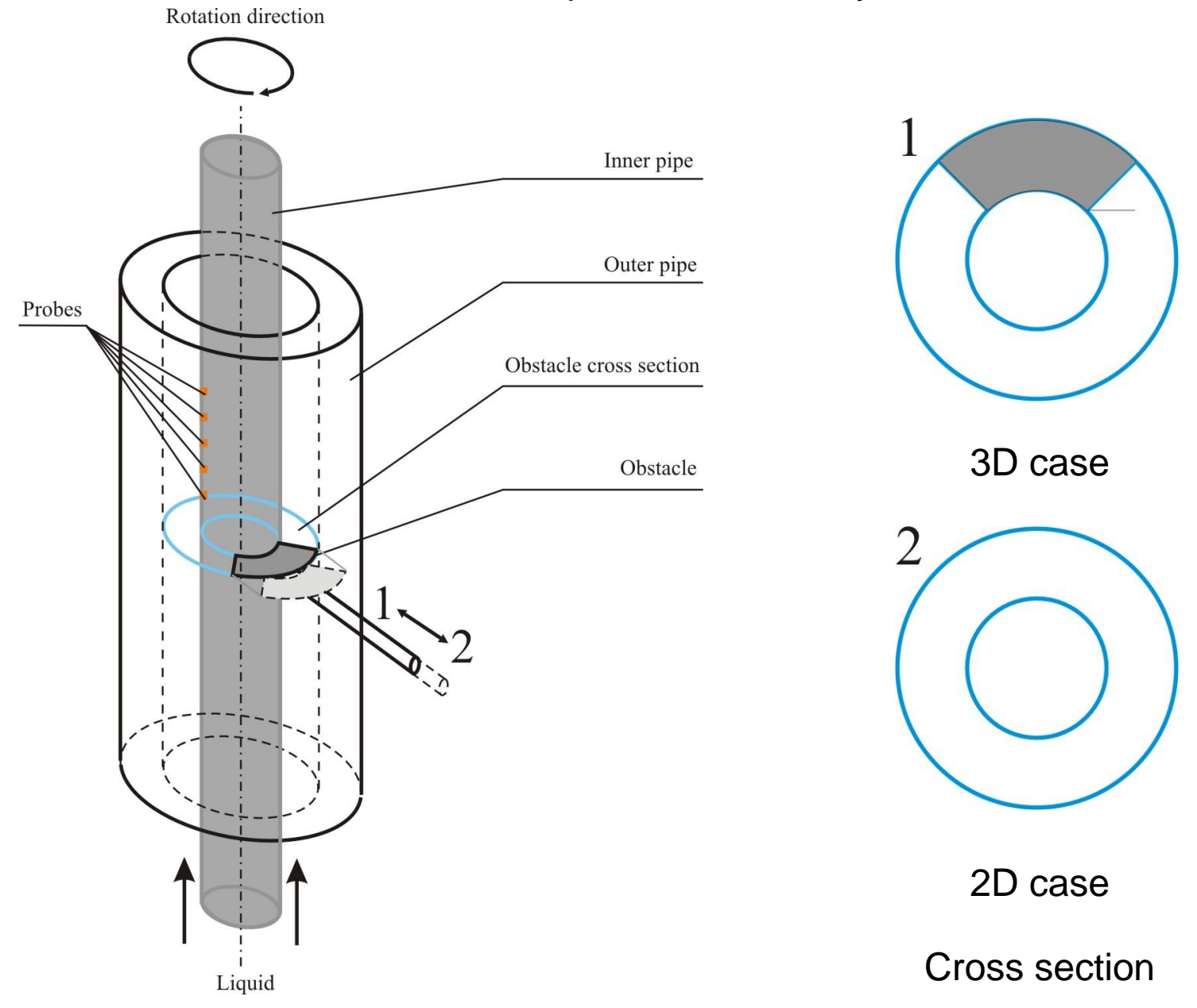




Течение между двумя трубками



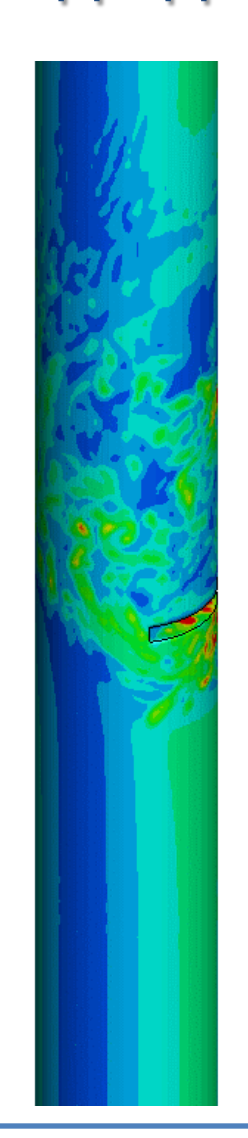
SIBERIA Experimental Facility

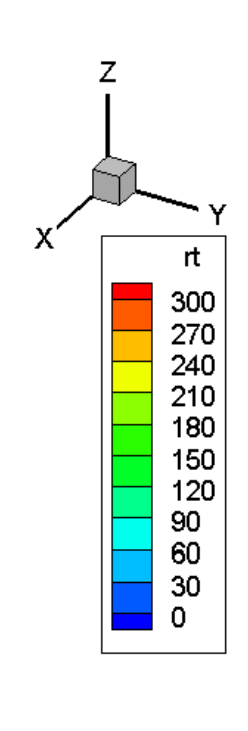




Течение между двумя трубками

time=0.202873201586986





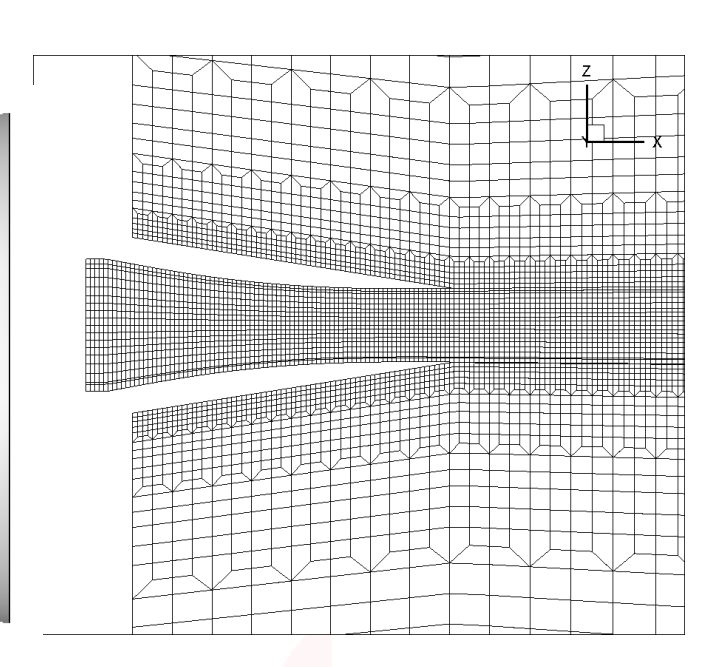


Холодная струя (ротор скорости)

Zone Type : FE - Brick

Pts: 401,264

Elem: 386,784



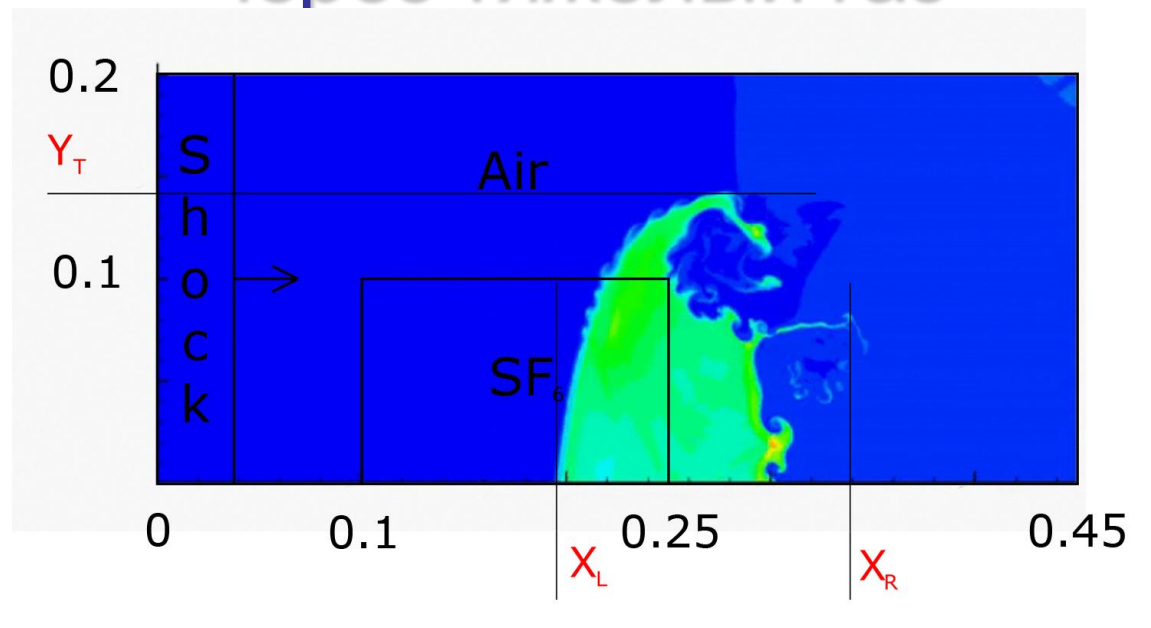
Ротор скорости на сетке 0.4МС

ИБРАЭ

МНОГО-КОМПОНЕНТНЫЙ ИДЕАЛЬНЫЙ ГАЗ

Институт проблем безопасного развития атомной энергетики

Прохождение ударной волны M=1.21 через тяжелый газ



Отслеживаемые параметры:

XR, XL, YT - крайняя правая, левая и верхняя точки, в которых молярная доля SF6 составляет 99%.

	gamma	rho
Air	1.4	1.153
SF-6	1.648	1.076

Расчетная область - 0.45 х 0.2

Область с SF6 - 0.15 x 0.1

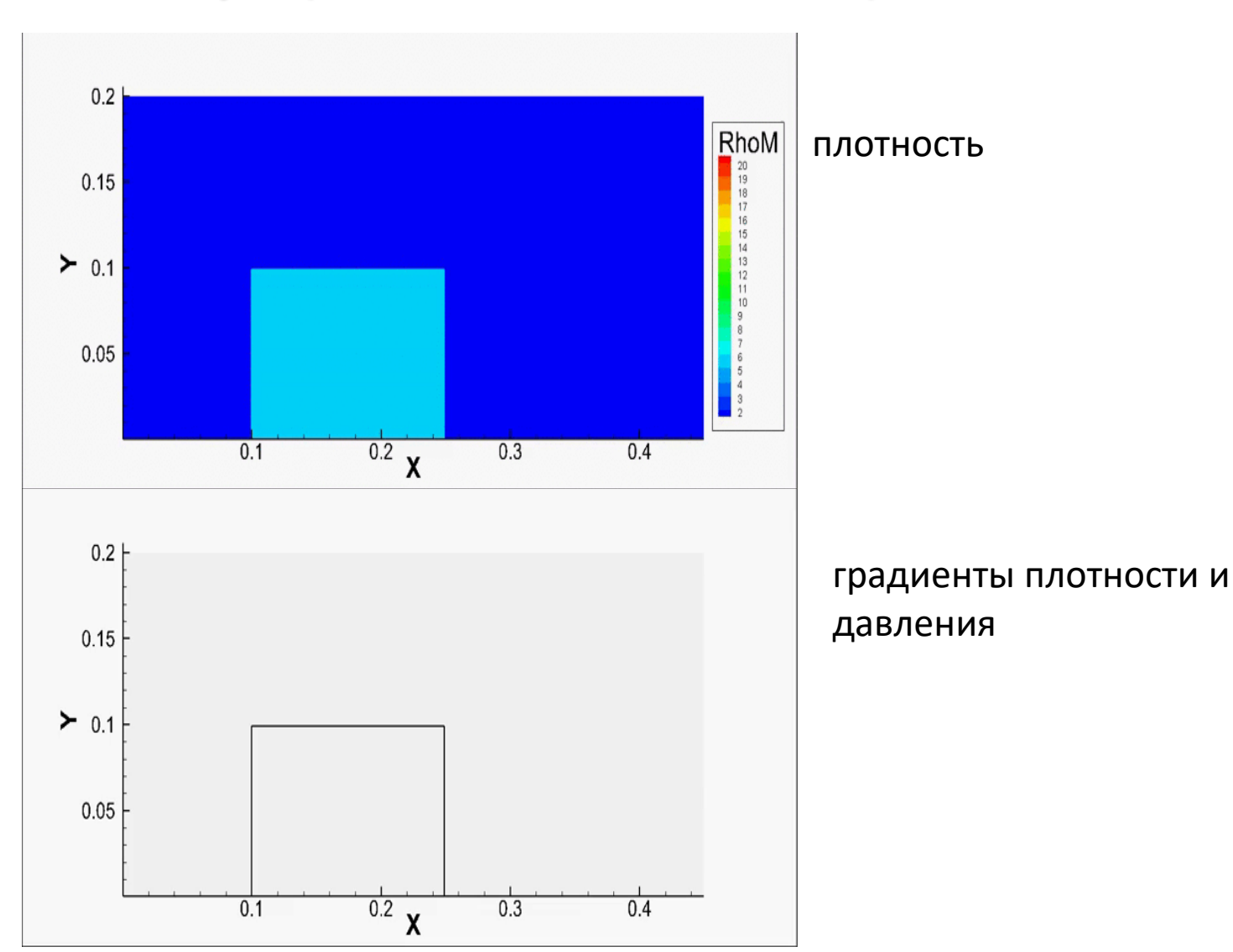
Сетка - 720 x 320

Число Куранта - 0.45

Постановка эксперимента взята из "Bates K. R., Nikiforakis N., Holder D. Richtmyer—Meshkov instability induced by the interaction of a shock wave with a rectangular block of SF6 // Physics of Fluids. 2007."

ИБРАЭ

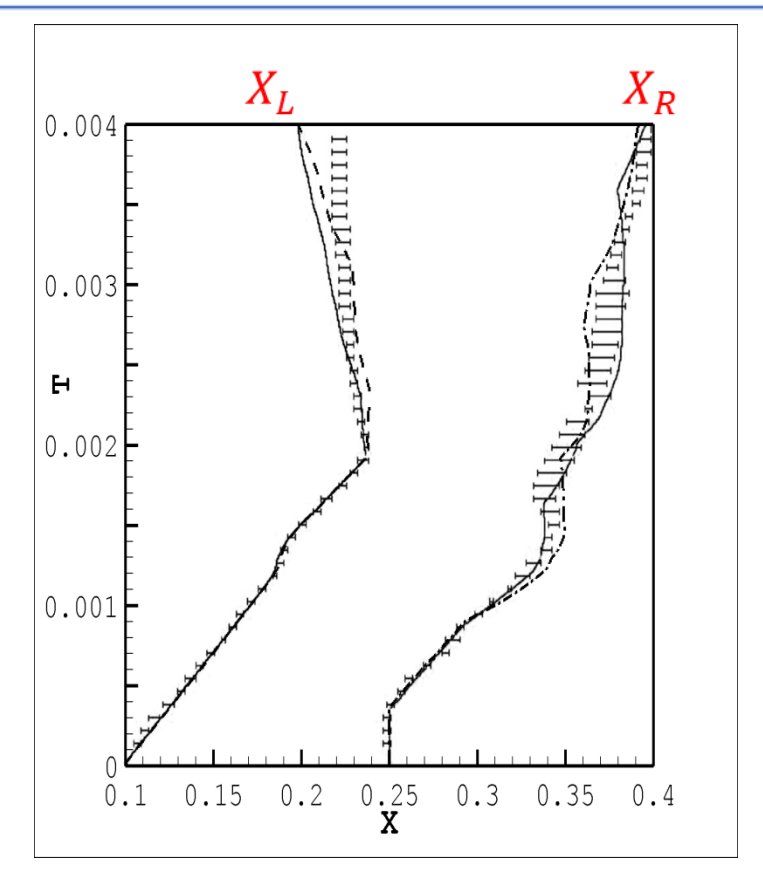
Прохождение ударной волны М=1.21 через тяжелый газ



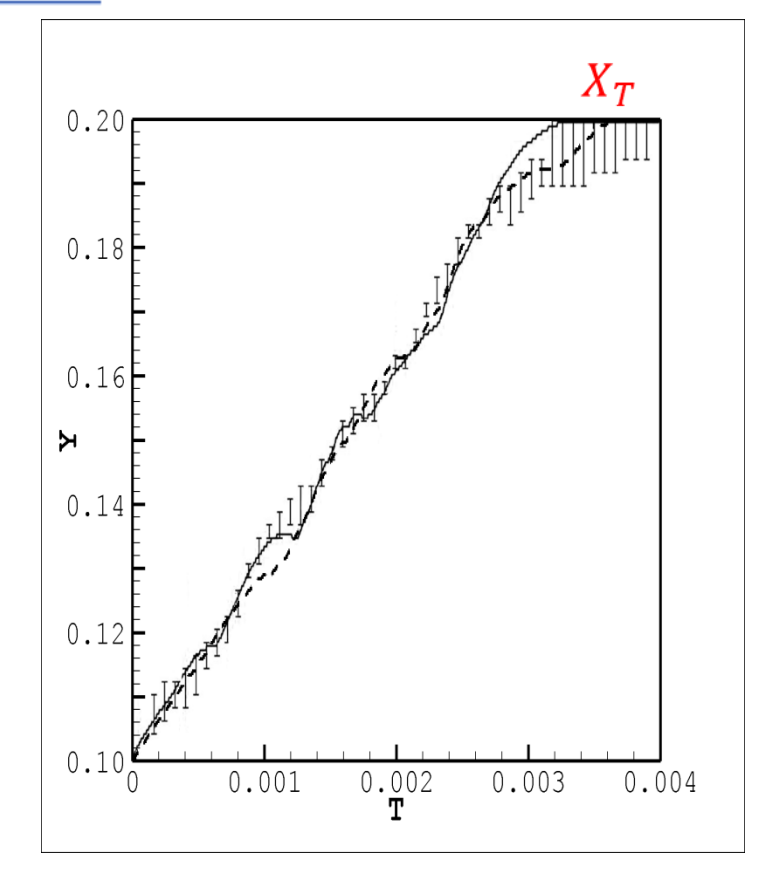
ИБРАЭ

РОССИЙСКАЯ АКАДЕМИЯ НАУК

Институт проблем безопасного развития атомной энергетики



Положение крайней левой и крайней правой точек с SF6. Штриховая линия - KAБAPE, сплошная - WENO, отрезки - экспериментальные данные с погрешностью.



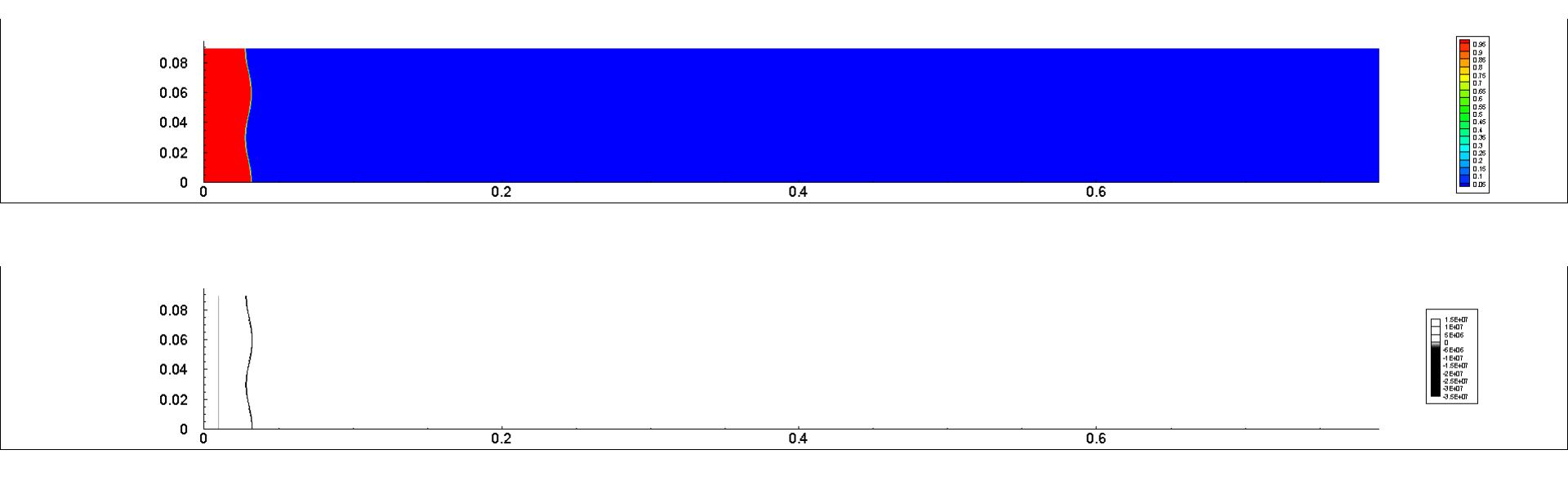
Положение крайней верхней точки с SF6. Штриховая линия - КАБАРЕ, сплошная - WENO, отрезки - экспериментальные данные с погрешностью.

Неустойчивость Рихтмайера - Мешкова

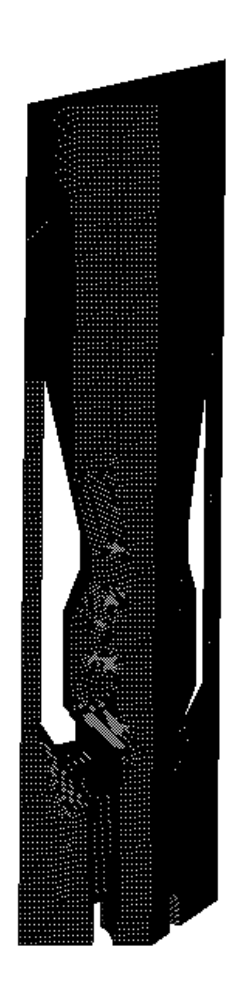
- •Расчетная область прямоугольник [0,0.79]x[0,0.089].
- •Cетки 852x96, 1704x192, 3408x384 узлов
- •Граничные условия: стенка с проскальзыванием на нижней, верхней и правой гранях, Вход на левой грани.
- •В начальный момент времени вдоль линии x=0.01 находится фронт УВ, движущейся вправо по покоящемуся фону из смеси воздуха и ацетона, далее справа от кривой x=0.02cos(3*pi*y/0.0593) покоящийся фторид серы 6.

Величина	Уд. волна	Воздух	SF6	Ед.изм.
ρ	2.084	1.351	5.494	кг/м3
γ	1.4	1.4	1.093	1
и	127.9198	0	0	m/c
p	166700	95600	95600	Па

Эволюция массовой доли и теневого изображения (сетка 1704х192)

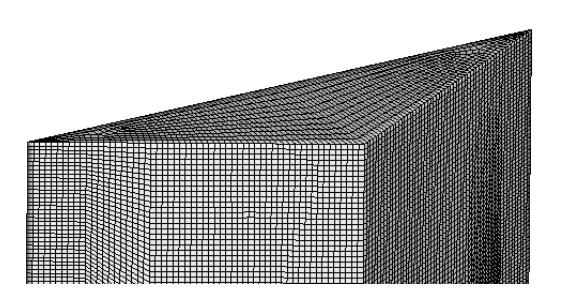


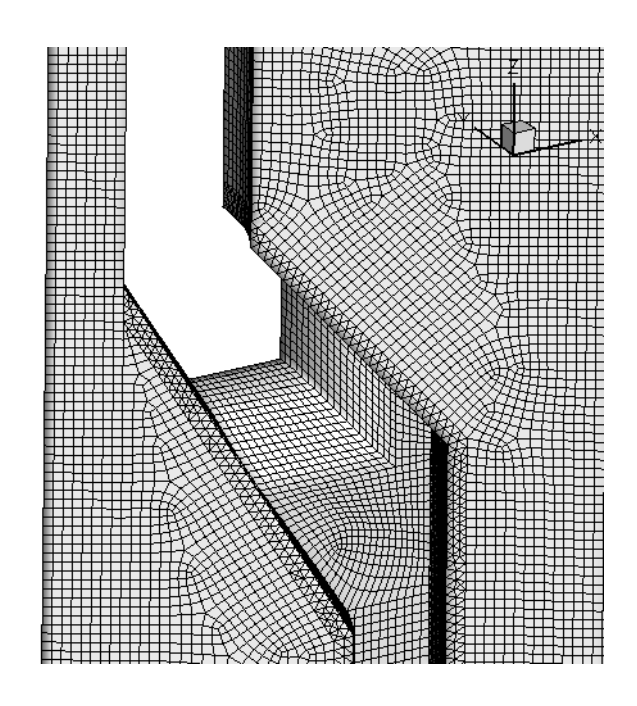
Temperature fluctuation in sodium reactor (war172)



Zone Type: FE - Brick

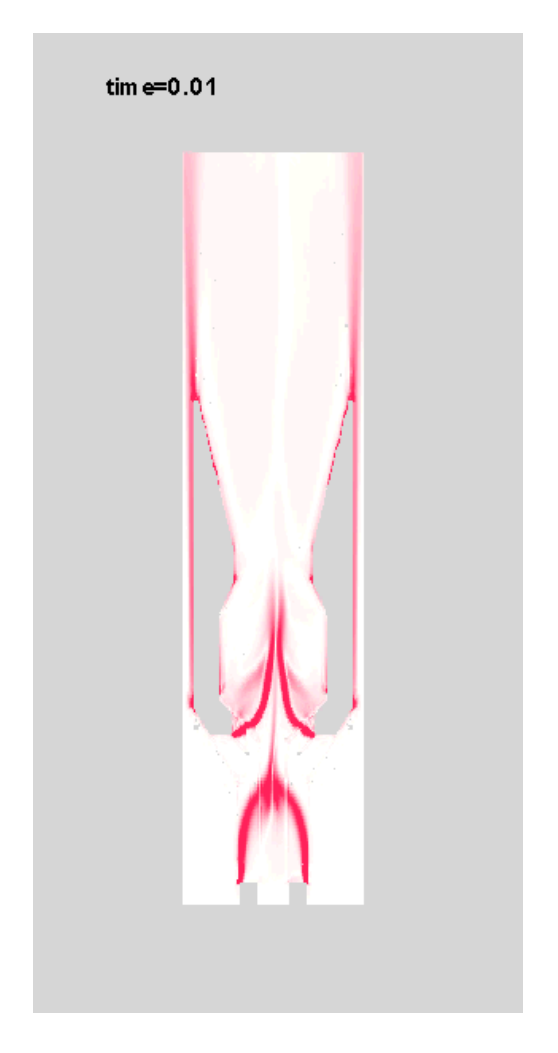
Pts: 439,058 Elem: 447,766

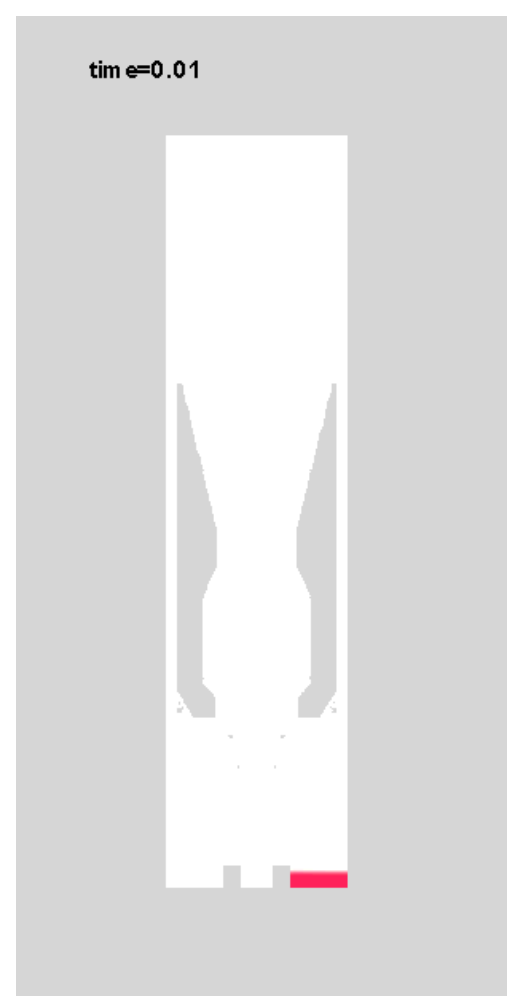


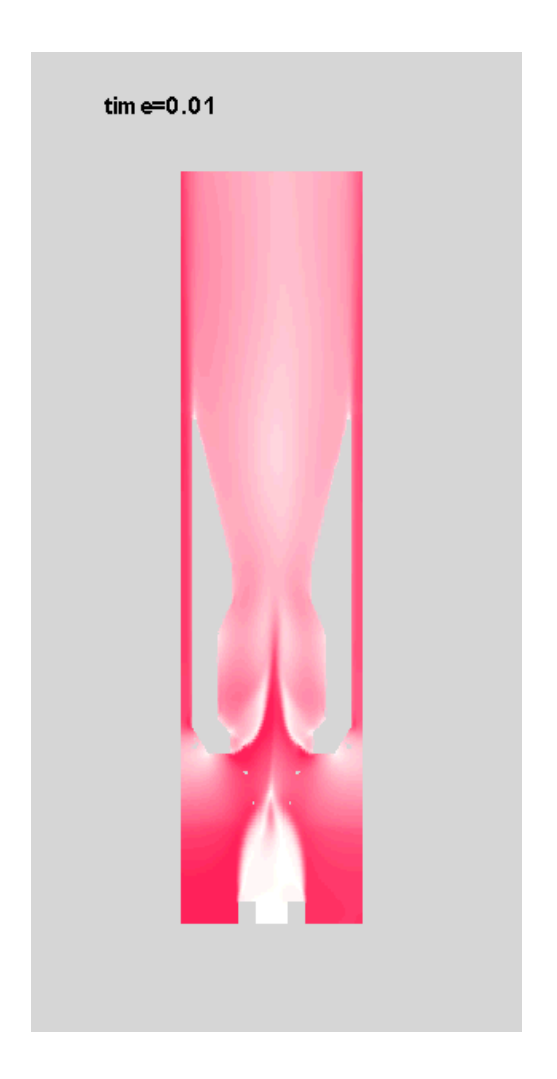


In right channel Velocity 0.9 м/c, temperature 1 In left channel Velocity 1 м/c, temperature 0

Animation







Rotor Temperature Velocity



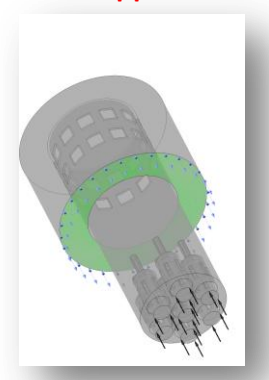
РОССИЙСКАЯ АКАДЕМИЯ НАУК

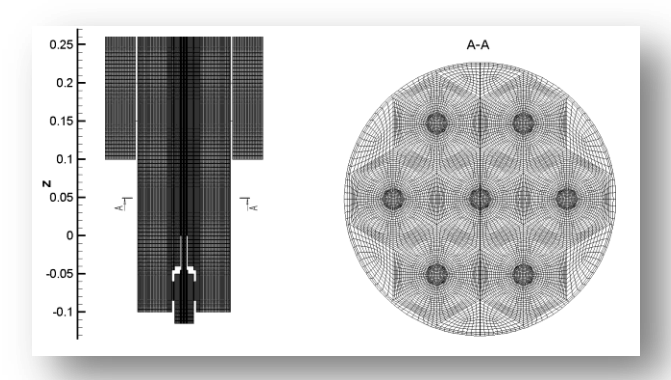
Институт проблем безопасного развития атомной энергетики

Модельная задача для слепого теста 2014 года

ИБРАЭ

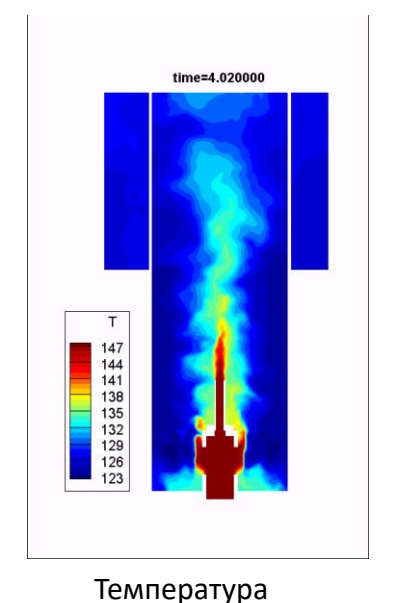
«ЗАДАЧА О СМЕШЕНИИ РАЗНОТЕМПЕРАТУРНЫХ СТРУЙ ЖИДКОГО НАТРИЯ В ТЕПЛОВЫДЕЛЯЮЩЕЙ СБОРКЕ»

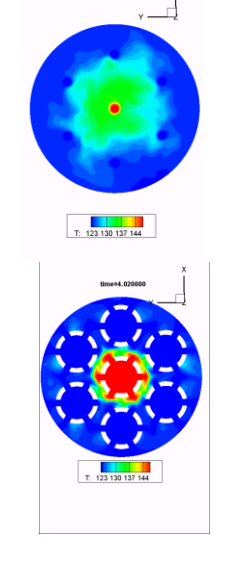


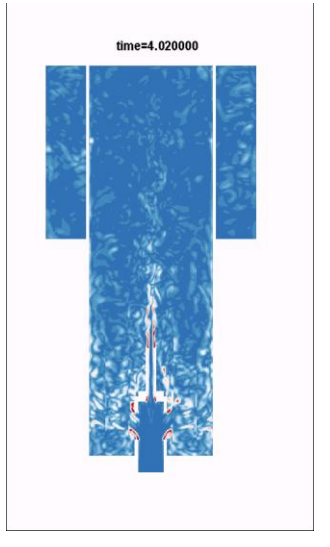


Натрий поступает в коллектор снизу через головки ТВС и выходит через верхние отверстия в сборную камеру

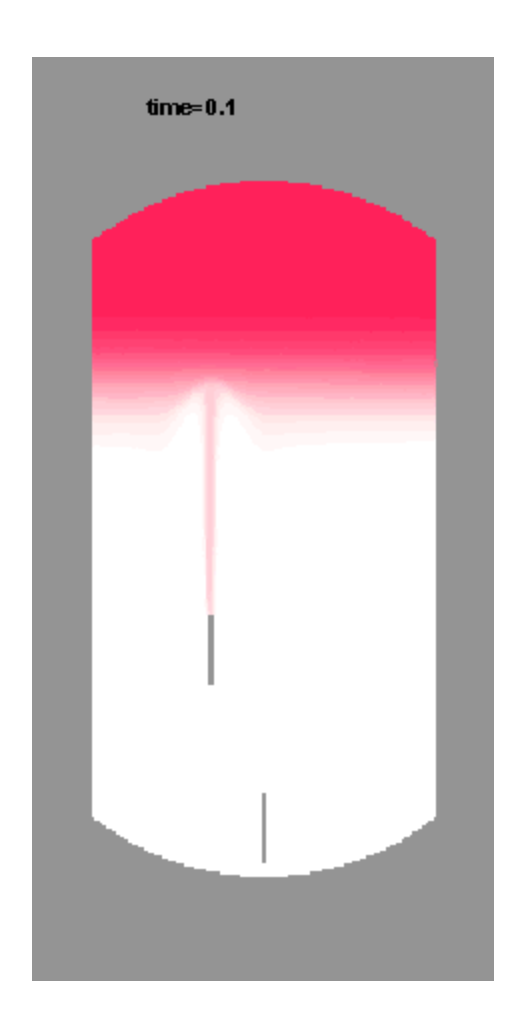
Вид сетки в вертикальном и горизонтальном сечениях.





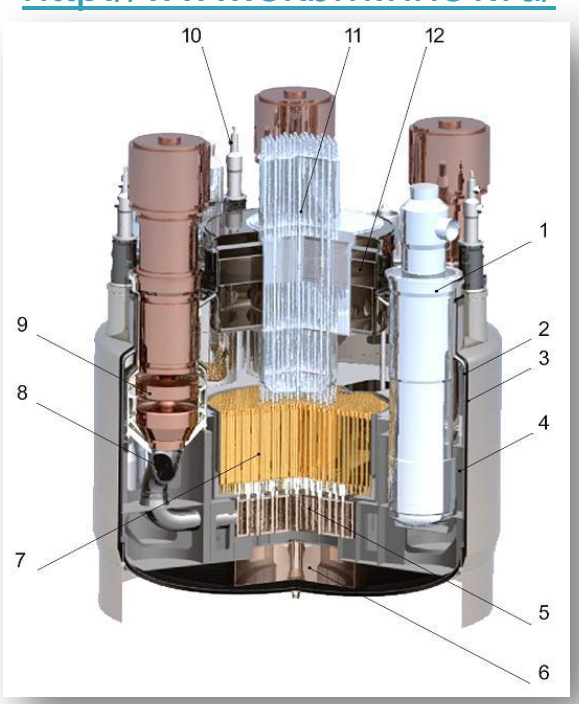


Ротор скорости



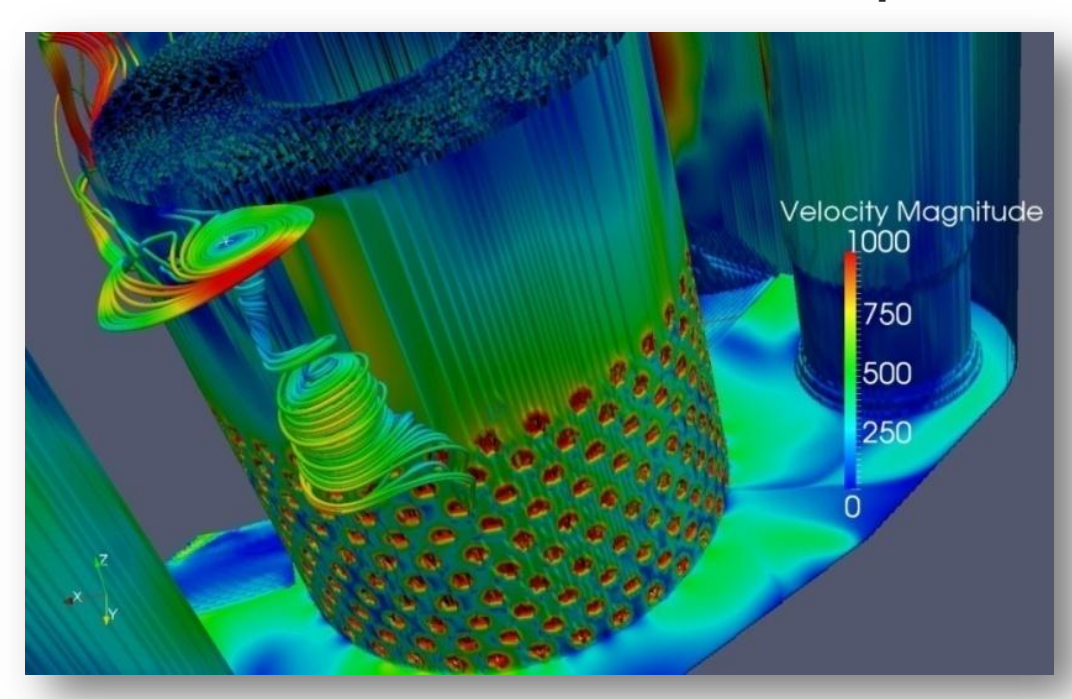
Развитие технологии параллельных вычислений и расчетных кодов нового поколения

http://www.okbm.nnov.ru/



Уже сейчас в ИБРАЭ проводится моделирование крупномасштабных реакторных установок, например, БН-1200 – анализ захвата газа в верхней камере смешения

Поле скоростей



Численное моделирование проводится для разного дизайна фрагментов поворотной колонны и промежуточного теплообменника



РОССИЙСКАЯ АКАДЕМИЯ НАУК

Институт проблем безопасного развития атомной энергетики

RUSSIAN ACADEMY OF SCIENCES
Nuclear Safety Institute



Трехмерный код КАБАРЕ для расчета нестационарных задач тепломассопереноса без использования моделей турбулентности и настроечных параметров



Институт проблем безопасного развития атомной энергетики

ибраэ Назначение кода

«Медленные» задачи

$|u| \ll c$ p $\approx const$

- Течение жидкометаллического теплоносителя
- Течения газов под контайнментом

Несжимаемая жидкость

Слабо сжимаемое приближение

$$p = c^2(\rho - \rho^*)$$

«Быстрые» задачи

$$|u| \sim c$$

p \neq const

• Течение струй смеси газов

Сжимаемый газ

$$p = (\gamma - 1)\rho\varepsilon$$

• Многокомпонентные течения

Особенности кода CABARET-ST

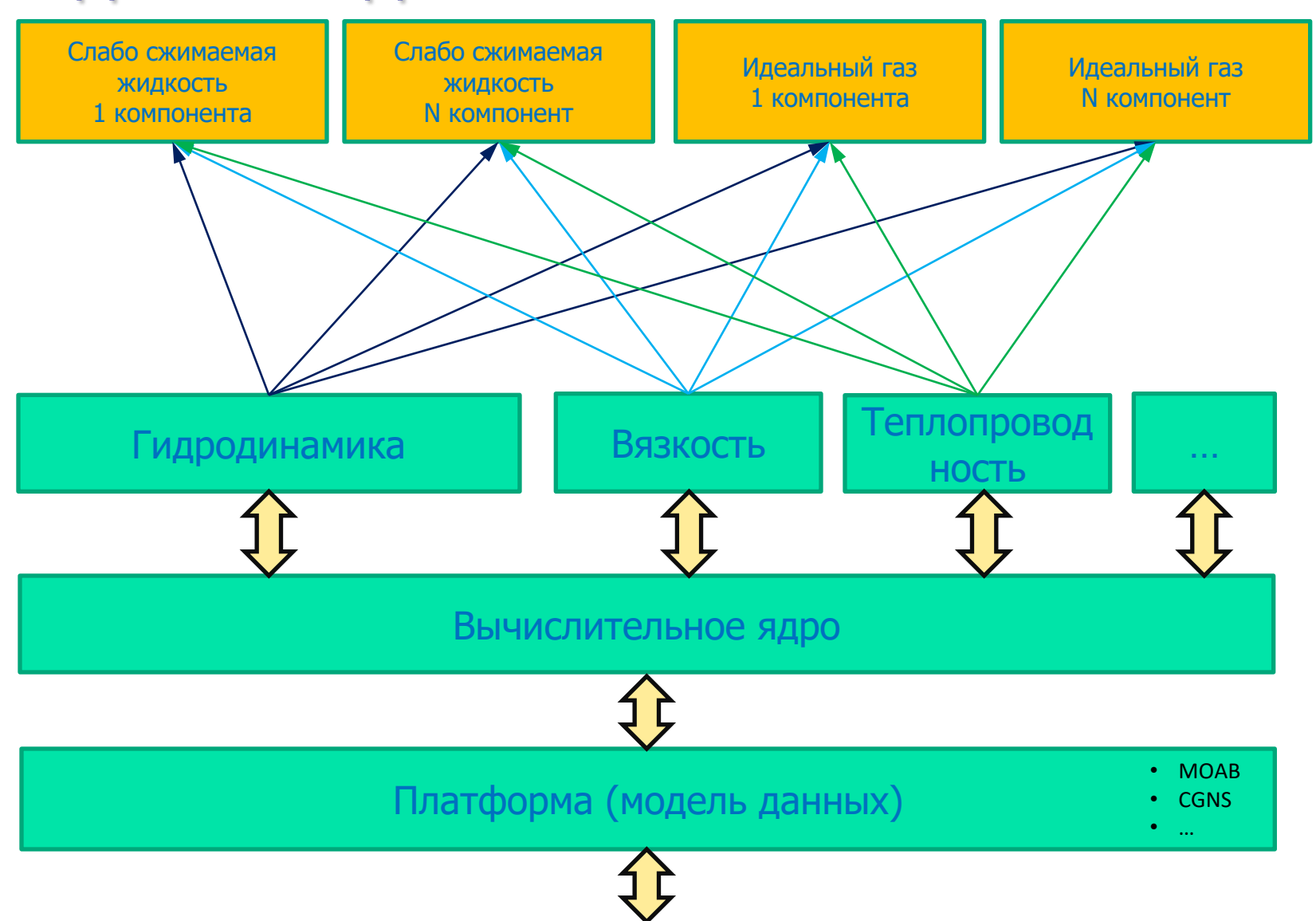
- 1. Код CABARET-ST представляет собой реализацию методики КАБАРЕ для проведения массивных параллельных вычислений на кластерных ЭВМ задач гидродинамики на неструктурированных гексагональных сетках
- 2. Реализован на языке С++
- 3. Программная платформа использует библиотеку сеточных баз данных ITAPS MOAB (A Mesh-Oriented datABase). Библиотека MOAB поддерживает все необходимые базовые операции для распределенных сеточных данных, позволяет работать как со структурированными, так и неструктурированными сетками, поддерживает все виды ячеек, включая произвольные многоугольники и многогранники.
- 4. Формат хранения данных HDF5 (Иерархический формат данных). Позволяет работать с данными большого размера. Обеспечивает высокую скорость доступа к данным.
- 5. Реализована возможность асинхронной передачи сообщений (без блокировки) с использование процедуры MPI_Isend
- 6. Реализована возможность проведения расчетов с асинхронными шагами по времени. Разбиение на партиции в этом случае проводится с учетом вычислительной сложности ячеек сетки

P V

РОССИЙСКАЯ АКАДЕМИЯ НАУК

Институт проблем безопасного развития атомной энергетики

ибраэ Единый код

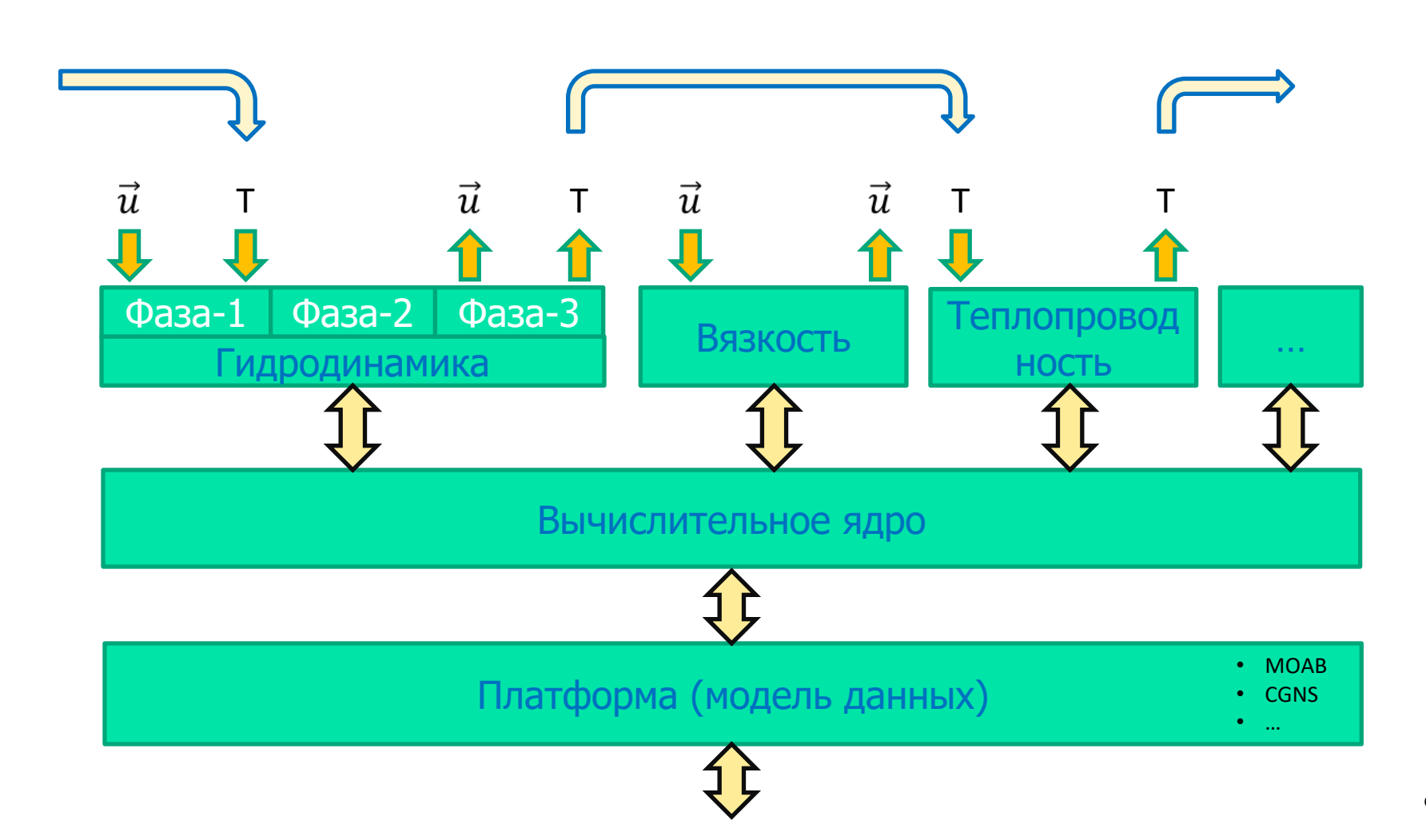




Институт проблем безопасного развития атомной энергетики

ибраэ Асинхронное распараллеливание

1. Задержка «готовность – потребность»

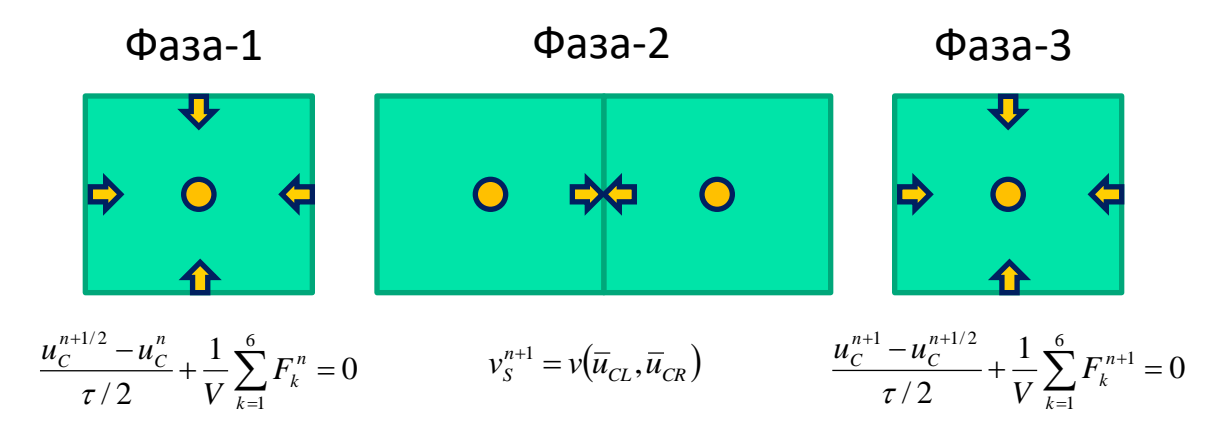




Институт проблем безопасного развития атомной энергетики

ибраэ Асинхронное распараллеливание

2. Порядок вычислений



Параллельные вычисления:

- Все консервативные переменные вычисляются локально
- Вклад в потоковую переменную от консервативных вычисляется локально
- Вклады в потоковые переменные пересылаются между партициями
- Потоковые переменные вычисляются на каждой партиции единым образом

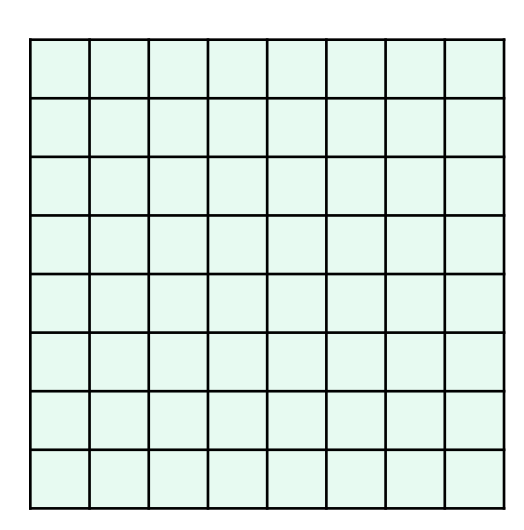


ибраэ Асинхронное распараллеливание

2. Порядок вычислений

Параллельные вычисления:

- Все консервативные переменные вычисляются локально
- Инварианты на гранях вычисляются локально
- Инварианты пересылаются между партициями
- Потоковые переменные по инвариантам вычисляются на каждой грани локально



- 1. Вычисления инвариантов с одной стороны на интерфейсных гранях
- 2. Отправка инвариантов в соседние партиции
- 3. Вычисления инвариантов на внутренних гранях
- 4. Вычисление потоковых переменных на внутренних гранях
- 5. Получение инвариантов от соседних партиций
- 6. Вычисление потоковых переменных на интерфейсных гранях



ТРЕХМЕРНОЕ ОБТЕКАНИЕ ЦИЛИНДРА ПРИ RE = 40000





А.В. Соловьев



А. Канаев



В. Кондаков



А. Зайцев



В. Глотов



С.А. Финогенов





А. Рязанов



И. Короткин



Д. Асфандияров



С. Карабасов



М.А. Зайцев



А. Данилин